



RADIOCOMUNICATI

"RADIOAMATORISM"

5/2000 PUBLICAȚIE EDITATĂ DE FEDERAȚIA ROMÂNĂ DE RADIOAMATORISM

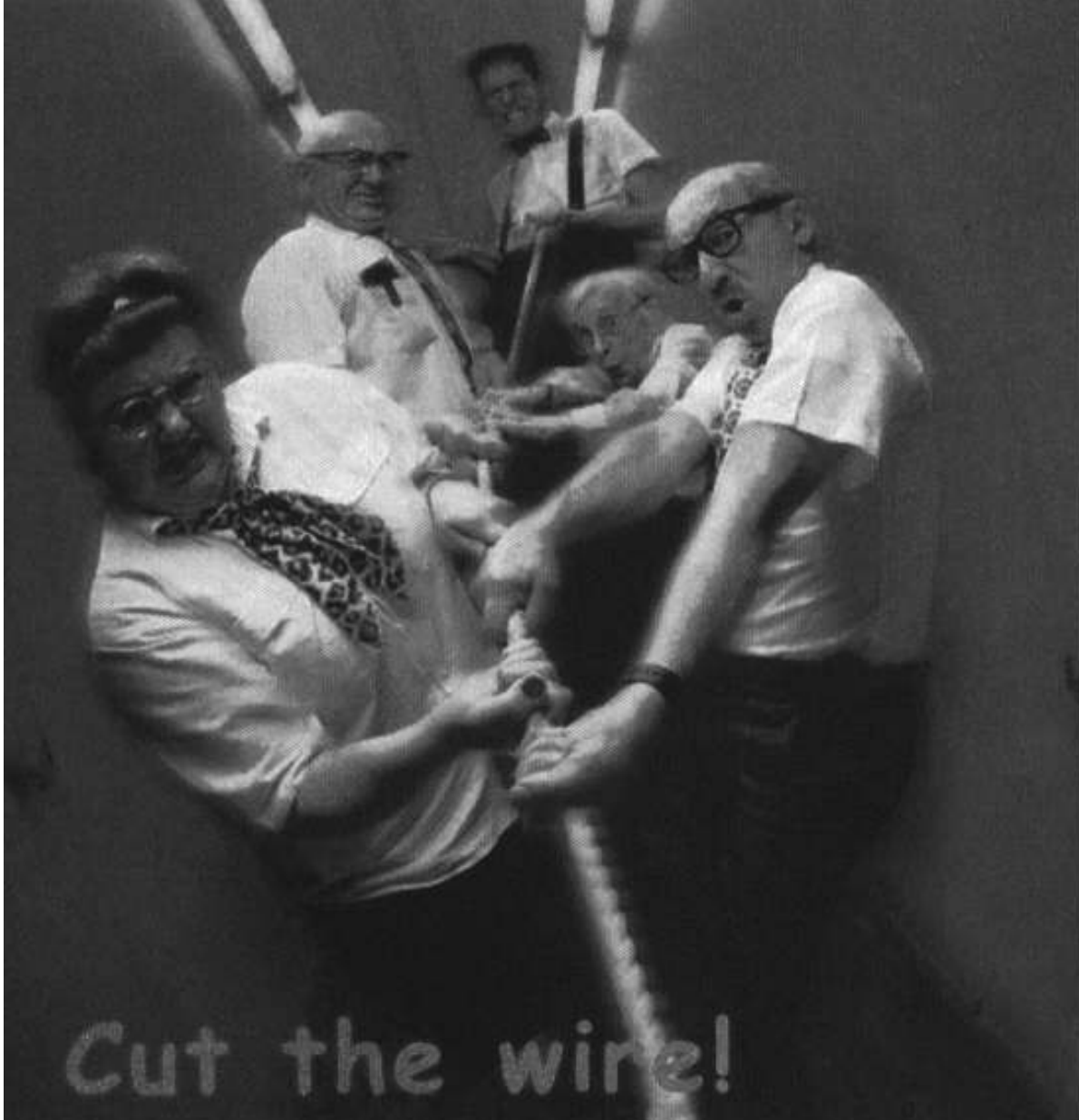


SCAN YOLRIH





Lucent Technologies
Bell Labs Innovations



Cut the wire!

Think wireless.

Conectare radio de mare viteza
pentru retele locale

11 Mb/s. 8 Km.

Marele Premiu
pentru tehnologie



CERF
2000

- ✓ Conectare radio la Internet
- ✓ Conexiuni punct la punct si punct la multipunct
- ✓ Retele de campus, tehnopol, incinte industriale, conectarea sediilor de banchi, firme
- ✓ Medi dificil de cablat, cladiri istorice, muzeu
- ✓ Acces la retea pentru utilizatori de computere mobile



AGNOR HIGH TECH
COMMUNICATIONS & COMPUTERS COMPANY

Tel. : 340 54 57
Fax : 340 54 56
office@agnor.ro
www.agnor.ro

COOPERAREA CU PROTECTIA CIVILA

Despre participarea radioamatorilor la situațiile de urgență și cooperarea cu Inspectoratele de Protecție civilă s-a discutat adesea în revista noastră. Publicăm acum un exemplu concret de plan de cooperare încheiat între un radioclub județean - care are în Statut de "Club de Drept Privat" și un Inspectorat de Protecție Civilă. Acest plan poate servi ca exemplu și pentru alte radioclu-

PLAN DE COOPERARE

între Inspectoratul de Protecție Civilă Județean Dâmbovița și Radioclubul DAMBOVITA

Pentru coordonarea acțiunilor de protecție civilă în situațiile de criză sau de urgență, în caz de dezastre.

Bază: Legea 106/1996 art. 13, 38 (dezastre), Ordonanța de urgență nr. 1/21.01.1999, Legea 124/25.05.1995, art. 21, H.G. 222/1997.

I. Scopul cooperării

Cooperarea se execută în scopul coordonării acțiunilor de protecție civilă în situații de criză sau de urgență, în caz de dezastre și la război, pentru asigurarea înștiințării reciproce despre aceste evenimente.

II. Forțe și mijloace care cooperează

1. Din Inspectoratul de Protecție Civilă Județean Dâmbovița:

-șeful autostației radio ... și ajutorul acestuia.

2. Din partea Radioclubului Județean DB:

-șeful radioclubului din județul Dâmbovița.

Anexăm lista cu radioamatorii care pot participa în rețea de URGENȚĂ.

III. Misiunile cooperării

A. Pentru Inspectoratul de Protecție Civilă Județean Dâmbovița:

1. Transmiterea semnalelor (indicativelor) referitoare la introducerea în ZONELE DEZASTRE la Radioclubului Jud. DB.

2. Informarea șefului radioclubului despre acțiunile agresorului aerian și terestrui, situațiile de protecție civilă și rezultatele controlului N.B.C..

3. Informarea șefului radioclubului despre pericolul apariției (producerii) unor dezastre și intervenția cu forțe și mijloace pentru limitarea și înălțarea urmărilor acestora.

B. Pentru Radioclubului Județean DB: Telefon: 611596,
Frecvențe de lucru: US - 3725 kHz; UUS - 145225 kHz

IV. Conducerea forțelor și mijloacelor care cooperează.

Conducerea tuturor activităților pentru prevenirea, limitarea și înălțarea efectelor loviturilor din aer și a dezastrelor la obiectivele ce revin Comisiei Județene de Apărare Împotriva Dezastrelor, prin secretariatul tehnic permanent.

Conducerea nemijlocită a acțiunilor forțelor și mijloacelor care cooperează se execută de către fiecare conducător (șef) pentru mijloacele proprii.

Organizarea activităților pentru limitarea și înălțarea efectelor dezastrelor se face de comun acord de către fiecare conducător (șef) pentru mijloacele proprii.

Organizarea activităților pentru limitarea și înălțarea efectelor dezastrelor se face de comun acord de către reprezentanții desemnați ai M.Ap.N., M.I. și ai altor forțe destinate pentru intervenție pe baza planurilor de acțiune întocmite la fața locului sub conducerea Secretariatului tehnic permanent al C.J.A.I.D..

V. Întocmirea și transmiterea mesajelor

Datele care nu constituie secrete de stat se comunică în clar, prin telefon sau radio, iar cele care constituie secrete, se comunică prin curier.

VI. Organizarea legaturilor

Circuitele telefonice închiriate permanent din sistemul de telecomunicații teritoriale: rețele radiotelefoni existente; telefoanele celulare existente

a) Inspectoratul de Protecție Civilă Județean Dâmbovița răspunde la telefoanele: 611641,... La etajul VIII din cadrul Prefecturii Județului Dâmbovița este constituit punctul de înștiințare și alarmare unde se află și secretariatul tehnic al C.J.A.I.D..

b) În timp de situații de criză sau de urgență în caz de dezastre și război. Punctul de comandă de protecție civilă județean este dispus în ... Punctul de comandă de rezervă este situat în ...

VII. Asigurarea cooperării

a) Pentru Inspectoratul de Protecție Civilă Județean Dâmbovița cooperarea se realizează în baza următoarelor documente:

- Legea protecției civile nr. 106/1996;

- Legea nr. 124/25.05.1995 privind apărarea împotriva dezastrelor;

- Ordonanța Guvernului României nr. 1/21.01.1999 privind regimul stării de asediu și regimul stării de urgență numai în caz de dezastre.

- H.G. nr. 222/19.05.1997 privind organizarea și conducerea acțiunilor de evacuare în cadrul protecției civile.

b) Pentru Radioclubului Județean DB.

-Regulamentul de radiocomunicații pentru serviciul de amator din România, nr. 108/03.06.1992.

Ambele părți își iau angajamentul să se înștiințeze în mod operativ și oportun despre toate modificările intervenite care necesită modificarea acestui plan de cooperare.

Şeful autostației radio din cadrul Inspectoratul de Protecție Civilă Județean Dâmbovița și Radioclubul vor actualiza eventualele modificări apărute.

VIII. Dispozitii finale

Lunar se va face un exercițiu de înștiințare pe frecvența de urgență între inspectoratul de protecție civilă județean și rețea formată din radioamatorii din județul Dâmbovița.

Data atrenamentului se va face de comun acord.

Lucrul se face în sonie SSB pe frecvența de lucru 3725 KHz, capul de rețea fiind YO9KBU.

CUPRINS

Un transceiver multibanda modular	3
Pagina începătorului	8
Serviciul de trimiteri QSL al ARRL	10
Transceiver QRP - 50 MHz	12
Dispozitiv de acord	19
INFO SATELIT	21
Antena pentru 2m	23
RECEPTOR MF pentru banda de 2m	24
ANTENE BUCLĂ	26
PROIECTAREA CIRCUITELOR OSCILANTE ACORDABILE	28
Amplificator de putere	28
CLIPPERTON	29
QSL INFO	31

Coperta I-a Imagini din expediția Clipperton 2000

RADIOCOMUNICATI SI RADIOAMATORISM 5/2000

Publicație editată de FRR; P.O.Box 22-50 R-71.100

București tlf/fax: 01/315.55.75

e-mail:yo3kaa@pcnet.pcnet.ro

Redactori: ing. Vasile Ciobanita YO3APG

dr. ing. Andrei Ciontu YO3FGL

ing. Ion Folea YO5TE

ing. Stefan Laurentiu YO3GWR

std. Octavian Codreanu YO4GRH

DTP: ing. George Merfu YO7LLA

Tiparit BIANCA SRL; Pret: 6000 lei ISSN=1222.9385

“CUPA ROMANIEI” R.G.A.

Federația Română de Radioamatorism în colaborare cu Radiocluburile județene organizează anual concursul național de R.G.A. “CUPA ROMANIEI”.

Concursul se organizează separat pe frevențele de 3,5 și 144MHz, masculin și feminin.

Data: Se stabilește anual prin calendarul sportiv al Federației Române de Radioamatorism.

Participanți: De la fiecare radioclub județean, club sportiv, asociație sportivă sau din Cluburile elevilor pot participa la fiecare categorie sportivă în număr neînlimitat.

Categorii de participanți:

- seniori-senioare - categorie de elită la care pot participa sportivi indiferent de vîrstă,

- juniori-junioare - sportivi care în anul concursului au împlinit sau împlinesc maxim 19 ani,

- juniori mici-junioare mici - sportivi care în anul concursului au împlinit sau împlinesc maxim 15 ani,

- veterani - sportivi care în anul concursului au împlinit sau împlinesc minim 40 de ani. La categoria veterani nu se face clasament separat pentru masculin și feminin.

Clasamente:

- Se intocmesc clasamente individuale pentru fiecare categorie de participanți și probe de concurs.

- Se intocmesc clasamente pe echipe separat pentru 3,5 și 144MHz, masculin și feminin

Componentă echipelor:

Echipa masculină

1 senior

1 junior

1 junior mic

1 veteran

Echipa feminină

1 senioară

1 junioară

1 junioară mică

În cazul în care de la o echipă sunt înscrise în concurs mai mulți sportivi de aceeași categorie se va înscrie pentru echipă rezultatul cel mai bun obținut sportivilor participanți la categoria respectivă.

Rezultatul unei echipe se face prin adunarea stațiilor descoperite și a timpilor realizați de către unul din sportivilii de fiecare categorie. Dacă la o echipă, sportivul sau sportivii dintr-o categorie au depășit timpul limită, pentru categoria respectivă se adună 0 (zero) stații și timpul limită.

Dacă o echipă nu are sportivi la una dintre categorii, pentru fiecare categorie lipsă se adună 0 (zero) stații și timpul limită. Nu se consideră echipă dacă nu sunt înscrise și participă în concurs cel puțin cîte un sportiv din minimum două categorii.

Sportivilii vor descoperi în timpul limită emițătoarele ascunse în terenul de concurs după cum urmează:

- seniorii - pot descoperi toate cele cinci emițătoare,
- senioarele - pot descoperi toate cele cinci emițătoare,
- veterani - pot descoperi toate cele cinci emițătoare,
- juniorii nu descoperă emițătorul trei,
- junioarele nu descoperă emițătorul patru,
- juniorii mici nu descoperă emițătorul unu,
- junioarele mici nu descoperă emițătorul doi.

Nu vor fi admisi în concurs sportivilii care nu detin carnetul de legitimare cu viza medicală pentru anul în curs, care nu au receptoare în stare de funcționare și care nu au numărul de concurs regulamentar pe piept și pe spate, iar juniorii și junioarele mici vor avea fluiere legată cu șnur la gât sau la mină.

Clasificări. Premii.

În urma desfășurării fiecărui concurs se vor înmîna

diplome pentru următoarele categorii:

3,5MHz - seniori, senioare, juniori, junioare, juniori mici, junioare mici și veterani,

144MHz - aceleși categorii.

Pentru echipe: 3,5MHz - masculin și separat feminin.

144MHz - masculin și separat feminin.

Pentru locurile I la echipe se vor acorda cupe și diplome.

Pentru locurile II și III la echipe se vor acorda cupe sau placete și diplome. Pentru locurile 4...6 la echipe se vor acorda diplome.

Cupele și placetele se acordă numai dacă la categoria respectivă participă minimum 6 echipe.

Sportivilii mai pot fi premiați cu bani sau obiecte în funcție de posibilitățile financiare ale organizatorilor.

Cheltuieli:

Cheltuielile privind organizarea competiției revin F.R. Radioamatorism. Cheltuielile privind participarea sportivilor, liderilor de grup și invitaților revin în exclusivitate cluburilor și asociațiilor sportive pe care aceștia le reprezintă.

Pentru fiecare sportiv participant la ambele probe, cluburile și asociațiile sportive vor putea plăti organizatorului, contra chitanță, o sumă în leu egală cu valoarea a 1 USD la acea dată. Pentru participarea la o singură probă se va plăti jumătate din valoarea respectivă. Suma încasată drept taxă de participare va fi folosită în exclusivitate ca fond de premiere pentru sportivi individual sau echipe.

Pentru toate celelalte detalii de organizare și desfășurare ale concursurilor se vor respecta prevederile din regulamentul Campionatelor de R.G.A.

Prezentul regulament a fost aprobat în ședința Biroului Federal din 15 septembrie 1999.

CONCURSURI

Worked All Germany - 1999		DARC 10m
Stații YO		CW
SOpMixt		YO6BHN - loc 3 - 930 pt
YO9AHX	680 pt	WAEDC SSB 1999
SOp CW		YO5CYG 200960/275/510/256
YO9AGI	52.500	YO2BZ 14440/152/0/95
SOp QRP		YO4AAC(QRP) 3344/38/50/38
YO4AAC	17.760	YO4US 1134/27/0/42
Multi Op		YO9FJW672/24/0/28
YO2KJI	25.926	Loguri de control:
SWL		YO8MI
YO9-025/DB	33.480	

WAE DC RTTY - 1999

scor/QSO/QT/C/M		
Y03JF 78752/268/160/184		YO3APJ 29.784/126/10/219

IOTA Contest 1999

Au participat numeroși radioamatori din întreaga lume, 103 dintre aceștia lucrând din diferite insule. Categoria 24 ore

SSB	YO9GY	179.520 pct	loc 30
Mixt	YO7LCB	449.376	loc 25
Categoria 12 ore			
SSB	Y05CRQ	71.550	loc 48
	YO9AHX	4.416	loc 132
Mixt	YO4AAC	21.780	loc 64
CW	YO6BHN	260.660	loc 10
	YO2ARV	119.340	loc 36
	YO4ZF	41.664	loc 77

Un transceiver multibandă modular

Acest articol se bazează pe o versiune revăzută a articolelor lui Mike Grierson, G3TSO, apărută inițial în Radio Communication din octombrie-noiembrie 1988. În forma actuală descrierea transceiverului a apărut în RSGB Radio Communication Handbook 1995.

Introducere

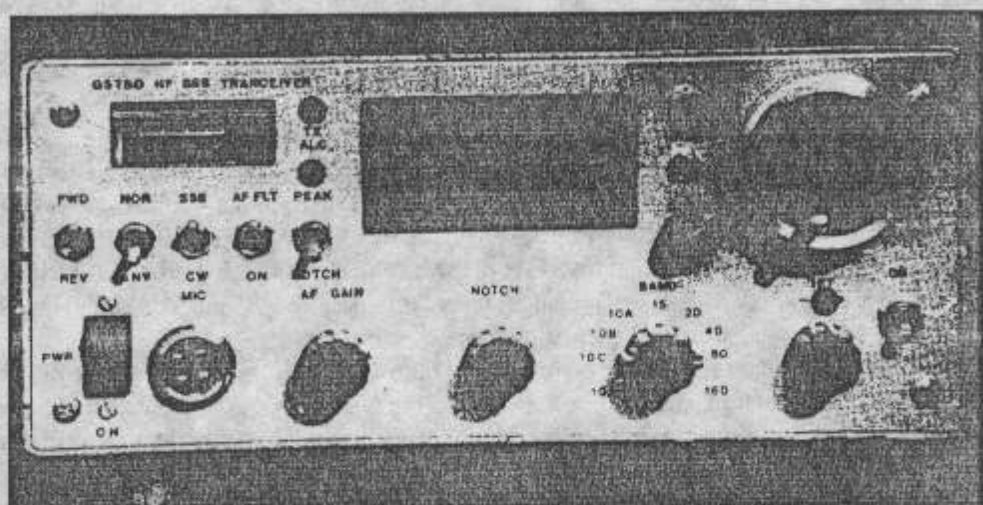
Construcția unui transceiver SSB multibandă poate spări uneori pînă și pe cei mai pasionați constructori. Totuși, construind și reglind separat cîteva module, aparentă complexitatea a unui astemenea proiect poate fi mult redusă. Prinț-o proiectare atentă pot fi construite, testate și acordate module individuale, care se integrează apoi în ceea ce pare la început un proiect complicat.

Una dintre cele mai grele probleme care apare chiar de la început este reprezentată comutarea benzilor. Tradițional ea se facea cu un comutator rotativ, mare, care adesea ajungea din față pînă în spatele aparatului, având numeroase secțiuni care comutau diferite circuite. Astfel de comutatoare erau greu de procurat, dificil de cablat și impuneau limitări serioase asupra amplasării modulelor și construcției transceiverului.

Această problemă poate fi acum evitată prin utilizarea comutării cu diode și relee. Circuite individuale pot fi comutate de la distanță, în curent continuu, semnal provenit de la o singură secțiune a unui comutator rotativ. Amplasarea modulelor se poate face astfel independent de poziția comutatorului. Acum modulele pot fi de sine stătătoare, simplificîndu-se astfel procesul de verificare și acordare. Echipamentul poate fi conceput pentru a satisface nevoile individuale ale constructorului și poate fi realizat fie într-o carcăsă mare care să permită dezvoltări ulterioare, fie într-o construcție compactă, ușor de transportat. Utilizarea modulelor

de sine stătătoare permite o flexibilitate considerabilă în ceea ce privește dezvoltările ulterioare. În plus, depanarea unei astfel de construcții este mai ușor de efectuat.

Foto 1



GENERAL SPECIFICATION

Single-superhet transceiver.

Bandwidth: 2.4kHz @ -6dB, 4.3kHz @ -60dB.

Power output: variable from 100mW to 20W PEP (SSB), 20W ICW1 100% duty cycle.

Receiver sensitivity: 0.25µV for 10dB S+n/n (28MHz).

AGC: typically 3dB change of output for 80dB change of input.

RF amp gain: 15dB.

IF: 9MHz.

IF rejection: greater than 60dB.

AF output: 1W.

Tabelul 1

MEASURED PERFORMANCE

Local oscillator unit

Band (m)	LO freq (MHz)	2nd harmonic (dB)	Spurious responses
160	11	-45	Greater than -55dB
80	5	-30	Greater than -55dB
40	16	-32	1 @ -35dB (2 x xtal - VFO), others greater than -60dB
20	5	-30	Greater than -55dB
15	12	-35	Greater than -50dB
10A	19	-33	1 @ -42dB, others greater than -50dB
10B	19.5	-33	1 @ -47dB, others greater than -50dB
10C, 10D	20	-33	Greater than -50dB

Receiver performance

S-meter calibration using Cirkit 200µA S-meter adjusted for FSD at max AGC voltage:

FSD typically 100mV PD.

50µV PD gives S8 indication on 160, 80, 15 and 10m bands and S7½ indication on 40 and 20m.

Odată cu creșterea complexității și costului aparaturii comerciale destinate radioamatorilor, echipamentele realizate prin esfert propriu revin la modă. Componentele sunt disponibile de la un număr relativ mare de distribuitori prin poșă; altele pot fi procurate de la tîrguri radioamatoricești. (N. Trad. La noi această afirmație este mai mult sau mai puțin valabilă, mai ales în ceea ce privește circuitele integrate de la Plessey). Utilizarea componentelor moderne, a tehnicii de bandă largă și a circuitelor integrate duce la o construcție considerabil mai ușoară decât a

Receiver sensitivity: 0.28µV for 10dB S+n/n (14MHz); 0.25µV for 10dB S+n/n (28MHz).

Receiver spurious responses

The following internally generated spurious responses can be heard on the receiver:

80m: A weak response occurs at 3.6MHz when the VFO is operating at 5.4MHz. This also produces a similar out-of-band response on 20m at 14.4MHz.

15m: Band-edge birdie just out of band at 20.997MHz owing to 3rd harmonic of 7MHz xtal. 4th harmonic of VFO produces a response at 21.333MHz.

10m: Band-edge birdie just out of band at 27.997MHz owing to 2nd harmonic of 14MHz. Similar birdie from 14.460MHz xtal occurs at 28.92MHz. However, 10C range overlaps this frequency.

Second-channel interference

80m: Minimum detectable signal on 14MHz: 1mV PD.

20m: Minimum detectable signal on 3.5MHz: 300µV PD.

Each band was subjected to a 3mV signal across the HF spectrum and no spurious responses were found except for:

15m: 1 response at 23MHz which disappeared at 300µV PD.

10m: 3 responses at 26.5, 27.7 and 30MHz which disappeared at 300µV PD.

TRANSMITTER OUTPUT

Band (m)	2nd harmonic (dB)	3rd harmonic (dB)	Spurii (dB)
160	-33	-42	Greater than -50
80	-38	-42	Greater than -60
40	-42	-60	Greater than -50
20	-50	-32	Greater than -50
15	-42	-22	Greater than -50

Measured at 18W output into 50Ω.

echipamentelor de acum douăzeci de ani, cînd era un lucru obișnuit ca radioamatorul să-și construiască singur echipamentul...

Utilizarea frecvenței intermediare de 9MHz conduce la utilizarea unui singur oscilator VFO, funcționînd între 5...5.5MHz și care permite acoperirea benzilor de 3.5MHz și 14MHz cu minimum de comutări. Frecvența oscilatorului local (LO) pentru toate benzile se obține heterodinind frecvența VFO-ului cu cea produsă de un oscilator cu cristale (XO) comutat în funcție de bandă. Semnalul astfel obținut este filtrat

și apoi amplificat la un nivel de +7dBm, nivel necesită de utilizarea în modulul excitator a unui mixer în inel cu diode.

Amplificatorul (PA) este un modul gata asamblat, cumpărat de la Cirkit Holdings și generează o putere de 10W (putere continuă la ieșire) în toată banda de frecvențe de 1.5...30MHz. Utilizează două tranzistoare 2SC1945. Ele sunt declarate de 15W (fiecare) și pot asigura 20W output (în SSB sau CW) cu mai puțin de 2mW pentru atac (N. trad. PA-ul include și un preamplificator). Puterea de ieșire este suficientă pentru utilizarea în traficul cu putere redusă sau poate fi utilizată pentru atacul unui etaj liniar realizat cu tuburi sau tranzistoare.

Comutarea benzilor s-a realizat utilizînd diode de comutări cu capacitate redusă (orice diodă de comutare a benzii din tunurile TV este bună). Semnalul trece prin acele diode care sunt polarizate direct de la sursa de +13V dar nu poate trece prin diodele blocate. Aceasta este o metodă utilizată în aproape toate echipamentele comerciale moderne și permite comutarea simplă a benzilor.

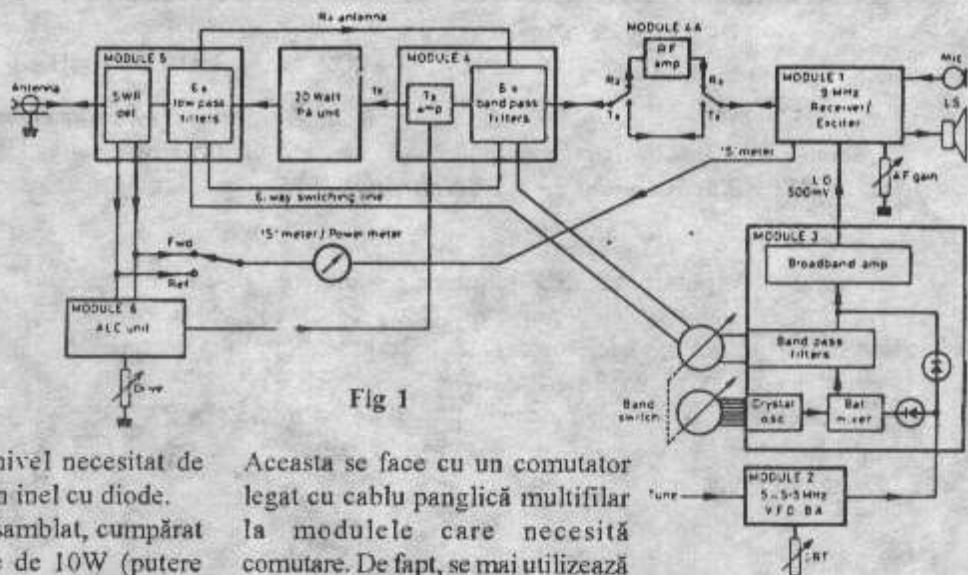


Fig. 1

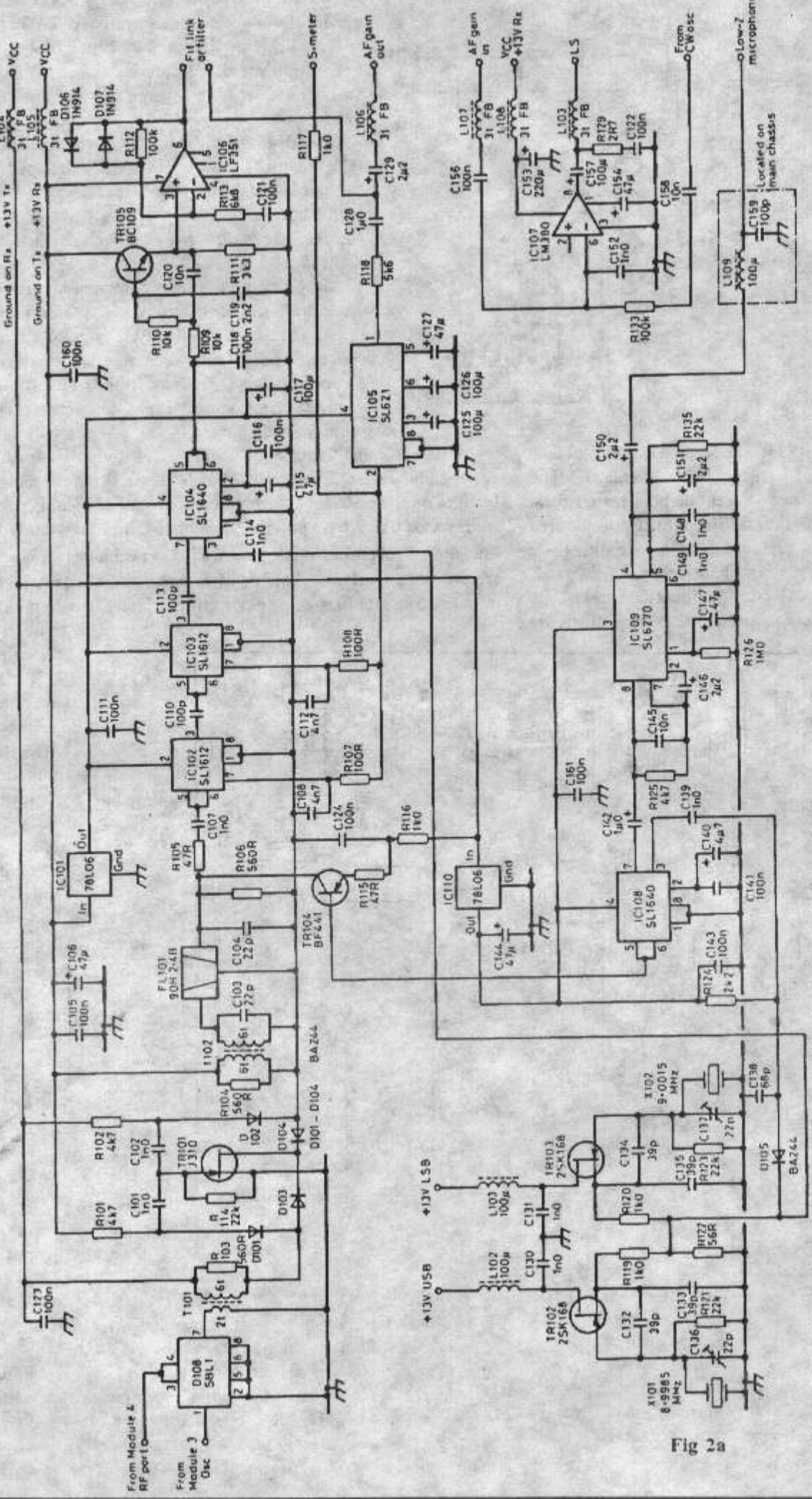
Accesta se face cu un comutator legat cu cablu panglică multifilar la modulele care necesită comutare. De fapt, se mai utilizează o secțiune a acestui comutator, pentru schimbarea cristalelor din XO. Filtrele trece-jos utilizate în partea de emisie sunt comutate prin relee miniatură, deoarece aici se vehiculează curenti mult mai mari decât în circuitele de intrare.

Aparatul conține și un detector de raport de unde staționare (SWR). Acesta furnizează semnale proporționale cu unda directă și reflectată, utilizate pentru a regla convenabil puterea de ieșire și pentru a proteja etajul final în cazul unui SWR de valoare mare. Un singur instrument este folosit pentru afișarea (prin comutare) a treiei semnalului la recepție (în grade S) și a undei directe și a celei reflectate.

În Foto 1 se arată transceiverul realizat de către G3TSO în

Tabelul 2

5	D101, 102, 103, 104, 105	BA244	1	TR101	J310
2	D106, 107	1N914	2	TR102, 103	2SK168
1	D108	SBL1	1	TR104	BF441
3	R101, 102, 125	4k7	1	TR105	BC109
3	R103, 104, 106	560R	2	IC101, 110	78L06
2	R105, 115	47R	2	IC102, 103	SL1612/612
2	R107, 108	100R	2	IC104, 108	SL1640/640
2	R109, 110	10k	1	IC105	SL1621/621
1	R111	3k3	1	IC106	LF351
2	R112, 133	100k	1	IC107	LM380
1	R113	6k8	1	IC109	SL6270
4	R114, 121, 123, 135	22k	1	X101	8.9985MHz
4	R117, 116, 119, 120	1k	1	X102	9.0015MHz
1	R118	5.6k	1	T101	2t+6t FX2249 transf
1	R122	56R	1	T102	6t+6t FX2249 transf
1	R124	2k2	1	FL101	8-pole 9MHz filter 90H 2.4
1	R126	1M	3	L102, 103, 104	100µH axial
1	R129	2R7	6	L103, 104, 105, 106, 107, 108	3t FB FX1115
10	C101, 102, 107, 114, 130, 131, 139, 148, 149, 152	1n ceramic			
3	C103, 104, 137	22p ceramic			
6	C106, 115, 127, 144, 147, 154	47µ 16V tant			
2	C108, 112	4n7 ceramic			
3	C110, 113, 159	100p ceramic			
4	C117, 125, 126, 157	100µ tant			
1	C119	2n2 ceramic			
3	C120, 145, 158	10n ceramic			
13	C123, 105, 111, 116, 118, 121, 122, 141, 143, 156, 160, 161, 124	100n ceramic			
2	C128, 142	1µ tant			
4	C129, 146, 150, 151	2.2µ ceramic			
4	C132, 133, 134, 135	39p ceramic			
1	C136	22p ceramic			
1	C138	68p ceramic			
1	C140	4.7µ tant			
1	C153	220µ alu			



versiunea pentru şase benzi de unde scurte. Scala numerică nu face obiectul acestui articol.
N. Trad. Cred că scala numerică utilizată este și ea cumpărată de la Cirkit). Performanțele transceiverului sunt date în Tabelul 1.

Notă importantă: Cablajele indicate pentru acest transceiver sunt proprietatea (© 1992) lui Mike Grierson, G3TSO. Radioamatorii pot face copii ale acestor plăci, pentru uzul personal, în primătoarele condiții:

Cablajele imprimate nu vor fi produse în cantități industriale sau vândute. Este interzisă orice fel de reclamă a astfel de cablaje. Ele nu pot face parte, individual sau sub formă de kit-uri, din nici-un proiect comercial. Acordul de copyright este singurul alabil.

Schema bloc este cea din Fig.1 toate modulele sunt realizate pe circuit imprimat și cu dimensiuni alese astfel incit să se potrivească cu placa de a excita.

Modulul 1: Excitatorul

Inima transceiverului GTSO o reprezintă modulul excitațor pe 9 MHz. Schema este bazată pe un proiect al lui J. Bryant, G4CLF de la Lessey Semiconductors. Utilizează seria de circuite integrate pentru comunicații profesionale SL1600 de la Lessey. Fig. 2a arată schema electrică a modulului excitațor. Pe recepție semnalul este introdus la intrarea unui mixer în inel cu diode (D108) de tip SBL1 (Mini-Circuits). Aici semnalul este heterodinat (cu semnal) (cu amplitudinea de 00mV) provenit de la oscilatorul local (LO). De remarcat că în această schemă văile de radiofrecvență (RF) și de frecvență intermediară (IF) ale mixerului sunt inversate pentru a permite funcționarea la frecvențe sub 1MHz. Semnalul de IF rezultat din mixare este amplificat de către TR101 - un amplificator

Fig. 2a

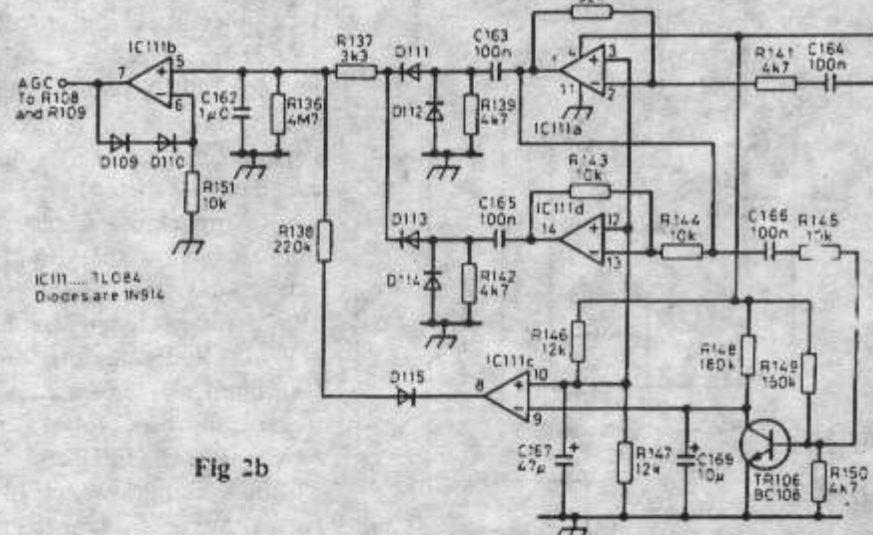


Fig. 2b

bidirecțional (recepție/emisie). Semnalul rezultat este aplicat unui filtru SSB cu cristal, cu opt poli, pe frecvență de 9 MHz. Tranzistorul TR101 lucrează cu un curent de polarizare ridicat pentru a avea caracteristici favorabile pentru combaterea intermodulației. Tranzistorul lucrează cald, mai mult, unele exemplare, mai puțin reușite, se pot ambala termic.

După filtrarea semnalului de IF este amplificat de două circuite SL1612 (sau SL612) cascadeate, obținindu-se o amplificare de

Dacă acest filtru se utilizează, largimea de bandă a controlului automat al amplificării (AGC) se reduce. Filtre de tip oprește - bandă (notch) nu trebuie utilizate aici, deoarece acțiunea AGC-ului va degrada serios atenuarea filtrului oprește - bandă.

Amplificatorul audio de putere este realizat cu IC107, un LM380 care necesită puține componente externe și furnizează cca. 2W la o alimentare de +13V. Se pot folosi și alte circuite. (N. Trad. Trebuie remarcată decuplarea în RF realizată cu L106, L107, L108, L103).

AGC este obținut prin prelucrarea semnalului de JF, aplicând acest semnal circuitelor IC106, IC105 (SL1621 sau SL621), circuite special concepțute pentru acest scop. Aceste componente au un timp de menținere destul de lung (cca. o secundă) și răspund rapid la modificările semnalului de intrare.

AGC-ul rămîne foarte stabil în timpul funcționării, dar odată ce semnalul dispare, zgromotul de bandă crește, deoarece cișigul lanțului de IF crește după terminarea perioadei de menținere.

Bara de 6V trebuie puternic decuplată, chiar lingă circuitul integrat, cu cel puțin $100\mu F$, pentru a putea răspunde mai bine la virfurile de curent necesitate de către integrat. Bara de AGC nu trebuie decuplată în exces; se pot utiliza condensatoare pînă la

15 nF.

Circuitul SL1621 este scos din fabricație dar (mult mai scumpul) SL621 poate fi montat direct în locul său. Circuitele AGC au fost mult discutate iar cele bazate pe SL1621 au fost criticate; arcat totuși au fost și drept AGC de sine ei pentru a împreună cu de AGC

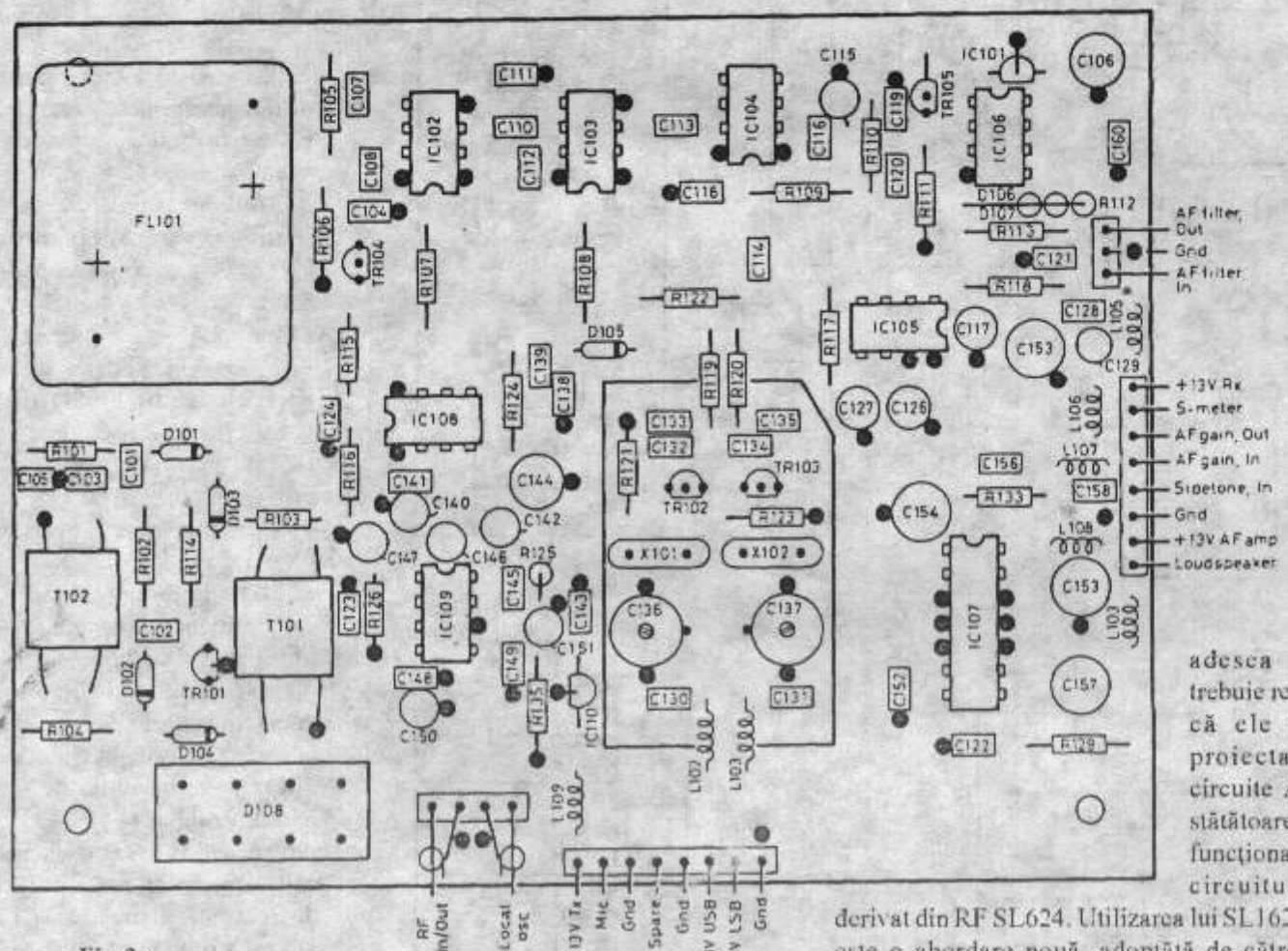


Fig. 3a

cca. 68dB. IC104 (SL1640 sau SL1641) este detectoarea de produs care heterodinează IF cu frecvența oscilatorului de purtătoare la recepție (TR102, TR103). Prin comutarea alimentării lor se selectează banda laterală dorită.

derivat din RF SL624. Utilizarea lui SL1621 fără SL624 este o abordare nouă, adoptată de către G3ZVC în proiectele sale mai vechi. Circuitul astfel realizat oferă rezultate excelente. O schemă alternativă, proiectată de către G3TXO este arătată în Fig. 2b. Aceasta utilizează amplificatoare operaționale cuadrupe de tip TL084. Această schemă pare a avea performanțe mai bune, cu dezavantajul unui număr mai mare de

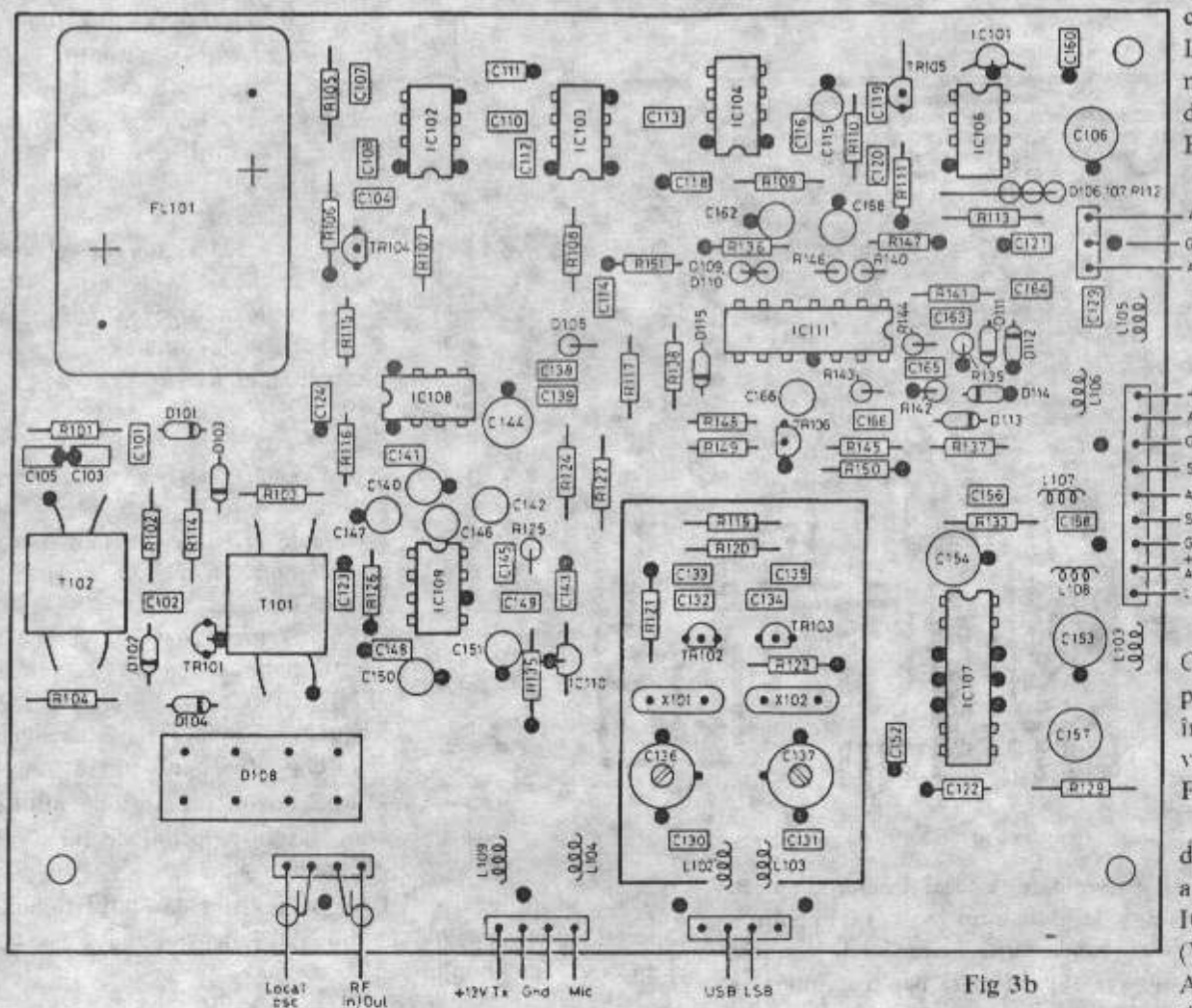


Fig. 3b

componente. Lista de piese pentru modulul excitator este dată în Tabelul 2, iar în Fig. 3a se dă amplasarea componentelor pentru modulul excitator realizat cu SL1621. În Fig. 3b se arată amplasarea componentelor pentru versiunea de AGC cu TL084.

Cablajul imprimat pentru Fig. 3a este dat în Fig. 4a iar pentru versiunea cu TL084 în Fig. 4b.

Pentru emisie semnalul de la microfon este amplificat de către IC109, un VOGAD (Voice-Operated Gain-Adjusting Device) de tip SL6270. Acesta este

Semnalul de audiofrecvență este aplicat tranzistorului TR105, un filtru activ trece-jos de JF. O amplificare suplimentară este asigurată de IC106, un amplificator operational cu JFET la intrare. Diodele D106, D107 asigură o oarecare limitare a zgomotului de tip impuls. Un mic conector inserat la ieșirea lui IC106 permite montarea ulterioară a unui filtru activ de JF pentru telegrafie.

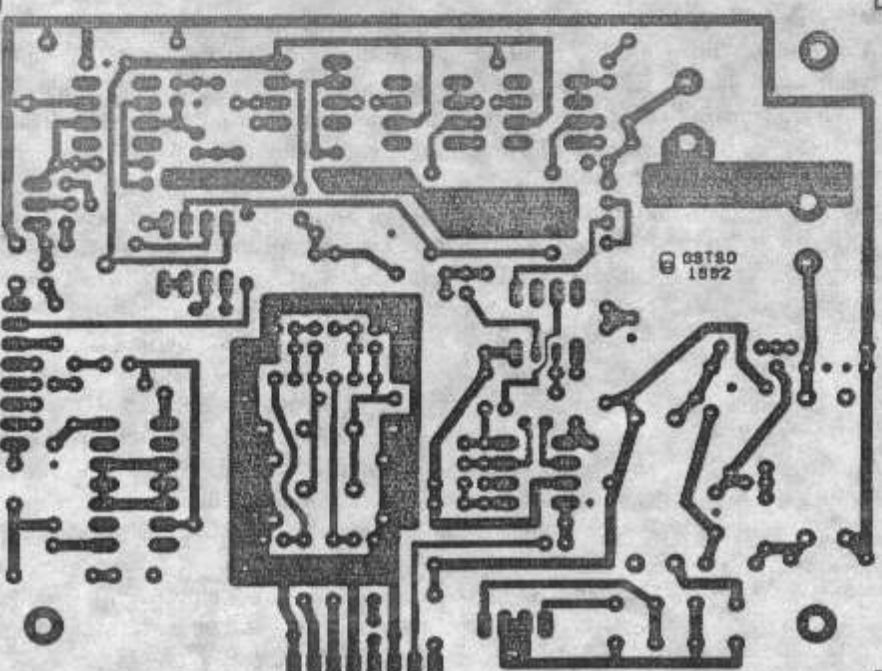
proiectat pentru intrare simetrică de 300Ω . Poate lucra și cu intrare asimetrică pe 150Ω , decuplând o intrare la masă. La intrare pot fi folosite direct microfoane cu impedanță de pînă la $1K\Omega$. SL6270 are un cîstig de cca. 60 dB; acesta este prea mare pentru majoritatea aplicațiilor și trebuie redus plasînd un rezistor între pinii 7 și 8 ai lui IC109. O valoare a rezistorului de $1K\Omega$ reduce amplificarea la 40 dB. Valoarea lui C145 trebuie schimbată dacă se monteză R125; tipic C145 este de $4,7nF$ fără R125 și de $47nF$ cu R125 de $1K\Omega$.

Ieșirea VOGAD este aplicată direct modulatorului echilibrat IC108 SL1640 (sau SL640). La modulatorul echilibrat se aplică și semnalul de la oscilatorul de purtătoare, prin comutatorul cu diodă D105. Aceasta este utilizat pentru a reduce radiația semnalului de la acest oscilator pe durata receptiei.

Nivelul injectat din oscilatorul de purtătoare poate fi reglat din valoarea rezistorului R122 (dacă este necesar) și nu trebuie să depășească 100mV. 50mV este o valoare ideală. Semnalul de 9MHz, dublă bandă laterală este amplificat de către TR104, un tranzistor pnp de RF. Semnalul amplificat este aplicat filtrului SSB pentru eliminarea benzii laterale nedorite.

La emisie TR101 este acum comutat (cu diode) pentru a trece semnalul SSB

Fig. 4a



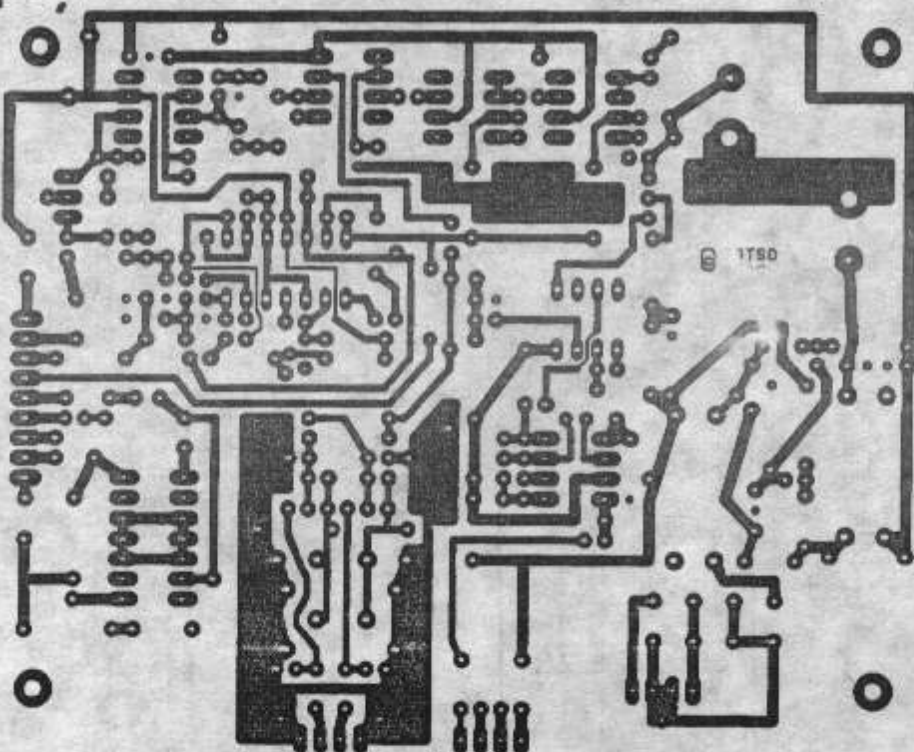


Fig 4b

emis către mixerul D108. Semnalul este aici heterodinat cu semnalul de la VFO sau de la oscillatorul local (LO) pentru a obține semnalul de emisie în banda dorită. Semnalul de la ieșirea mixerului necesită o filtrarea suplimentară pentru eliminarea frecvenței imagine.

Preselektorul receptorului poate realiza această filtrare.

Semnalul de la ieșire are cca. 100mV (valoare efectivă). Amplitudinea poate fi ușor mărită (dacă se consideră necesar) prin schimbarea valorii lui R115, rezistorul care determină ciștigul lui TR104.

Este esențial pentru buna funcționare a comutatorului cu diode asociat lui TR101 ca bara de +13VTx să fie pusă la masă pe recepție și bara de +13VRx pe emisie. Procedind altfel modulul nu va funcționa.

Filtre SSB cu opt poli se pot obține de la KVG (XF9B) sau de la International Quartz Devices (IQD) (cod IQXF-90H2.4B). Acestea sunt recomandate pentru că sunt livrate și cu cele două cristale de purtătoare, împerecheate cu filtrul.

Tranzistoarele TR102, TR103 pot fi aproape orice fel de JFET-uri cu ciștig ridicat în RF. Regulatorul monolitic de tensiune 78L06 poate fi înlocuit cu unul 78L05 cu un rezistor de 390Ω conectat între pinul de masă al integratului și masă.

Dacă se utilizează SL1641 un rezistor de 330Ω trebuie conectat între bara de 6V și terminalul 5, deoarece nu se găsește în interiorul integratului.

(Vă urma)

trad Stefan Laurentiu, YO3GWR

PAGINA INCEPATORULUI

Receptoare pentru VHF/UHF. Considerații generale. Zgomotul

Specificațiile standard pentru receptoarele de VHF/UHF se bazează pe performanțele centru receptoarelor funcționând în benzile de HF și se concentreză în special pe abilitatea receptorului de a detecta semnale slabe în prezența uneia sau mai multor semnale puternice nedorite.

Peste 50MHZ, zgomotul de fond al benzii este mult mai redus, deci cu un receptor bun se pot realiza performanțe mai bune (în ceea ce privește sensibilitatea și raportul S/Z) ca în HF. Un semnal HF de ordinul cîtorva de microvolti este inecat în zgomot, dar în VHF/UHF se pot realiza comunicații între stații cu semnale ajungind pînă la cîțiva nanovolti. În benzile de HF, limita este impusă de interferențe - fie cauzate de activitățile umane, fie naturale. Sub aceste limite reconstituirea semnalelor este imposibilă. La recepția semnalelor VHF/UHF nu intervine un zgomot atmosferic considerabil (cu excepția zgomotului cauzat de descărările electrice sau de picăturile de ploaie încărcate electric). Factorul limitativ, atunci cînd receptorul și antena sunt într-un amplasament convenabil, îl reprezintă zgomotul extraterestru. Se pot proiecta receptoare care să asigure o bună recepție pentru semnale doar cu puțin mai puternice decît acest zgomot.

Definirea zgomotului

Zgomotul este un semnal nedorit, cu o natură mai mult sau mai puțin aleatoare, semnal aflat în banda de trecere a receptorului.

Zgomotul poate fi produs de activitățile umane sau poate fi de origine naturală. Exemple de zgomot provenit din natură sunt: radiațiile solare, descărările electrice atmosferice, picăturile de ploaie electrizate. Unele dintre acestea pot fi evitate, excludind, de exemplu, Soarele sau zona de furtună din "cimpul de vizibilitate" al unei antene directive. Ca exemple de zgomot produs de activitățile umane se pot aminti: radiația generată de scînteile produse la intreruptoare care decouplează o sarcină, termostatele cu bimetal, radiația electromagnetică radiată sau condusă produsă de calculatoare personale, de circuitele care vehiculează impulsuri cu fronturi abrupte sau de diverse aparate de uz casnic sau industrial. În general, definirea zgomotului trebuie să țină seama de largimea de bandă în care se fac măsurările.

Sunt și alte tipuri de zgomot, care nu pot fi înălăturate: zgomotul termic generat într-un rezistor (la orice temperatură în afară de zero absolut - cca. -273°C) sau zgomotul de aice produs în dispozitivele semiconductoare (produs de generația și recombinarea aleatoare a perechilor electron-gol). Zgomotul de aice apare ca urmare a naturii fluctuante, la nivel cuantic, a purtătorilor de sarcină. Zgomotul de aice produs în semiconductoare mai este cunoscut și sub denumirea de zgomot Schottky.

Rezistoarele introduc zgomot termic datorită mișcării alcătoare a purtătorilor de sarcină, mișcări care conduce la apariția unor tensiuni

electrică de natură aleatoare în elementul rezistiv. Deși acest zgomot nu se poate elimina (decât la zero absolut) el poate fi redus prin alegerea corectă a tipului de rezistoare utilizate. Sunt recomandate tipurile cu peliculă metalică. Zgomotul termic mai este cunoscut și sub denumirea de zgomot Johnson sau zgomot alb.

Raportul de zgomot și factorul de zgomot

Raportul de zgomot (*noise factor*) este raportul între semnal - zgomot (R.S/Z) de la intrare și cel de la ieșirea unui circuit. Factorul de zgomot (*noise figure - NF*) este raportul de zgomot reprezentat în decibeli. Factorul de zgomot este măsurat prin măsurarea puterii de zgomot la ieșirea receptorului, presupunând, prin convenție, un raport S/Z unitar la intrare. Factorul de zgomot este considerat ca factor de merit pentru circuitele de VHF/UHF. Un

receptor ideal, lipsit de zgomot

propriu, nu produce nici-un fel de

- (1) zgomot, în nici-un etaj. De aceea ecuația (1) devine egală cu unitatea, iar factorul de zgomot este 0 dB.

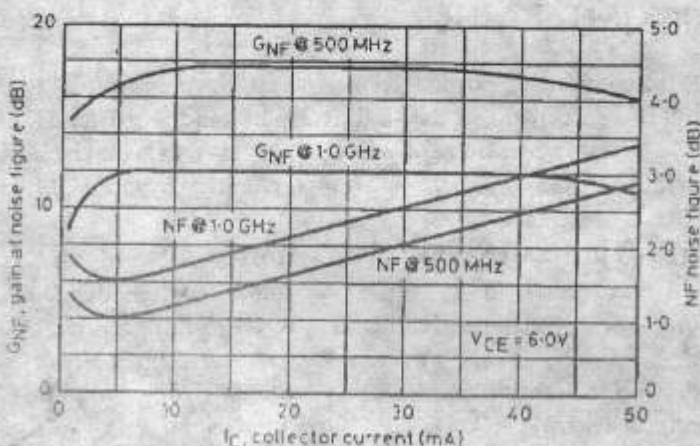
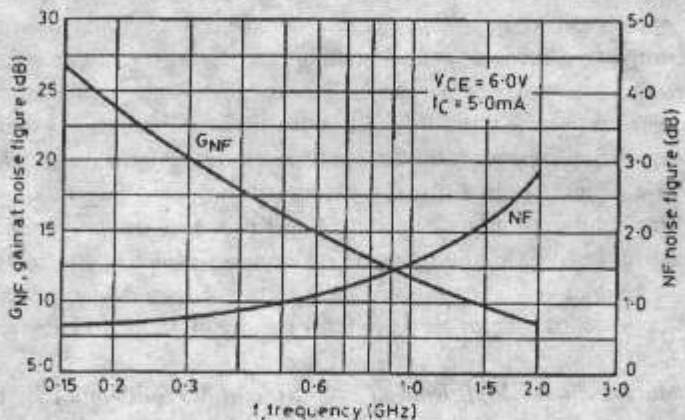
Performanțele receptoarelor industriale, special dedicate traficului de radioamatori, sunt indicate prin

- (2)

$$f = \frac{\text{Semnal (int rare)}}{\text{Zgomot}}$$

$$\text{Semnal (iesire)} \\ \text{Zgomot}$$

$$NF = 10 \cdot \log_{10} f$$



raportare la semnalul de intrare de la borna de antenă. El este exprimat în forma (semnal/zgomot)/zgomot sau raport S/Z. Sensibilitatea la intrare este exprimată ca tensiunea necesară (în microvolți) la intrare pentru un raport S/Z de 10 dB. Sensibilitatea poate fi descrisă și ca semnal minim discernabil sau ca palier de zgomot (*noise floor*) al receptorului.

O observație importantă trebuie făcută aici: zgomotul minim pentru un amplificator de RF nu se obține, de obicei, simultan cu amplificarea maximă pe etajul respectiv. Fig. 1 și Fig. 2 ilustrează acest adevăr. Tranzistorul considerat este capabil să funcționeze pînă la 2 GHz. Așa cum arată Fig. 1 produsul ciștig-factor de zgomot scade, dar factorul de zgomot crește. Factorul de zgomot crește de cca. două ori între 1GHz și 2GHz. Această caracteristică este arătată și în Fig. 2. Aici produsul ciștig-factor de zgomot și factorul de zgomot sunt traseate în funcție de curentul de colector, pentru

frecvențele de 500MHz și 1GHz. Ambele figuri presupun un generator de semnal cu impedanță de ieșire de 50 ohmi.

De remarcat că avem ciștig maxim la o bună adaptare de impedanță la intrare, dar zgomotul minim nu se obține în acest punct. De exemplu, există un preamplificator cu FET cu GaAs care are zgomotul minim atunci cînd raportul de unde staționare (în tensiune - *ISWR*) la intrare este de 10:1.

Necesitatea unei bune sensibilități implică utilizarea de componente active în circuitele de intrare ale receptoarelor (amplificator de RF și mixer). Teoria modernă a realizării unor etaje de bună calitate face astăzi apel la parametrii s (s de la scatter-imprăștiati). Utilizînd parametrii s se pot obține amplificatoare de RF și mixere cu amplificare mare, păstrînd totuși un nivel de zgomot scăzut.

Producătorii de componente de RF includ date privind parametrii s în catalogele lor. Parametrii s necesită o cunoaștere avansată, matematică complexă, utilizarea unor metode grafice speciale - diagrama Smith (sau diagrama circulară) și echipament sofisticat pentru caracterizarea (în lumea reală, nu doar pe hîrtie) a componentelor utilizate - analizoare de rețele cuadrupolare (*network analyser*).

Intermodulația

Intermodulația apare atunci cînd două sau mai multe semnale se combină unul cu celălalt, producînd un semnal perturbator (*spurious signal*), semnal care nu era prezent în antenă ca semnal de sine stătător. Acest semnal perturbator poate interfeza cu un semnal util, slab și poate împiedica receptia acestuia. Apariția acestor semnale se datorează funcționării neliniare a etajului de intrare. Etajul de intrare (amplificatorul de RF - dacă există și mixerul) prelucră multe semnale, de diferite amplitudini, dar numai acele care trec prin filtrele selective ale frecvenței intermediare (IF) vor fi detectate. Circuitele de RF pot avea o bandă de trecere de cîțiva megahertz, dar filtrele din IF au o selectivitate mult mai bună, reducînd banda de trecere la strictul necesar pentru a detecta semnalul util, în funcție de tipul de modulație aplicat purtătoarei. În cazul semnalelor slabe, etajul de intrare are o bună liniaritate, deci nu apare un amestec nedorit între semnale. Semnalele foarte puternice conduc la funcționarea etajului de intrare într-un regim neliniar, apar semnale noi - produsii de intermodulație, unele dintre ele situate în banda de trecere a amplificatorului de IF. Produsii de intermodulație (IP) de ordinul doi (IP2) apar în cazul amestecului a două semnale f1 și f2 și conduc la generarea unor noi semnale, cu frecvențele sumă (f1+f2) și diferență (f1-f2) și armonicele de ordinul doi ale fiecărui semnal (2f1, 2f2). Dacă f1 și f2 sunt apropiate, IP2 sunt ceva mai depărtăti și pot fi filtrati în etajul de IF. Dacă semnalele cu f1 și f2 nu o putere mai mare se generează un alt set de IP - de ordinul trei (IP3). Semnalele care apar au următoarea structură: armonica a treia (f1+f1-f1, f2+f2-f2); produsii sumă (f1+f1+f2, f2+f2+f1) și produsii diferență (f1-f1-f2, f2-f2-f1). Dacă f1 și f2 sunt la depărtare egală de o frecvență centrală, utilă - su, interferența va fi puternică. Atunci cînd f1+f2 este apropiată de su, produsii sumă d cordonul trei vor apărea în armonica a treia și vor fi atenuați de către filtrele selective din receptor. Cînd produsii diferență sunt apropiati de f1 și f2, filtrele, chiar selective, nu-i pot înălța - perturbînd puternic receptia. Atunci cînd IP3 sunt generați în receptor ei cresc în nivel cu 3dB pentru fiecare creștere cu 1dB a nivelului frecvențelor f1 și f2. Din acest motiv apariția IP3 - deasupra palierului de zgomot al receptorului este destul de obișnuită. Dacă nivelul semnalelor cu frecvențele f1 și f2 crește în continuare, apar IP impari de ordin superior (IP5, IP7, etc.). Acești IP deranjează uneori mai mult decît IP3, dacă nivelul semnalelor cu frecvențele f1 și f2 este suficient de mare. În concluzie IP semnificativi ca nivel apar dacă f1 și f2 sunt suficient de puternice. Dacă fie f1, fie f2 dispăr, rămînd un singur semnal, IP dispar și ei. Prin optimizarea liniarității etajului de intrare

pe un domeniu cît mai larg se obține diminuarea generării acestor produși nedoriți și se evită interferența lor cu semnalele utile.

Compresia ciștigului

Aceasta are loc atunci cînd un semnal de intrare puternic produce deplasarea într-o zonă neliniară a caracteristicii intrare-iesire pentru unul sau mai multe etaje din circuitul de intrare al receptorului. Ca un exemplu, dacă un etaj al unui amplificator lucrează în regiunea liniară, atunci o creștere cu 3 dB a semnalului de intrare conduce la o creștere cu 3 dB a semnalului de ieșire. O creștere în continuare a semnalului deintrare poate crea, din cauza valorii semnalului în mărime absolută, o limitare a creșterii nivelului de ieșire la o creștere de numai 1 dB. Mai mult, un semnal de intrare foarte puternic poate duce etajul de intrare într-o regiune extrem de neliniară, făcîndu-l degenerativ (ciștig subunitar). Astfel apare o desensibilizare a receptorului. Zgomotul de fond descrește în nivel odată cu celelalte semnale, inclusiv cele utile. Ca și în cazul intermodulației optimizarea liniarității etajului de intrare pe un domeniu cît mai mare va reduce riscul de compresie a ciștigului.

Amestecul reciproc

Acest fenomen apare cînd oscillatorul local (LO) al receptorului produce zgomot excesiv (benzile laterale de zgomot, de lîngă frecvența centrală, au o amplitudine mare). Amestecul unei purtătoare de RF puternice, aflată în apropierea frecvenței LO, cu zgomotul acestuia, pătrunde în lanțul de IF. Amestecul reciproc conduce la sporirea nivelului de zgomot al receptorului atunci cînd apare un semnal puternic. Din acest punct de vedere, efectul este oarecum invers cu cel de la compresia ciștigului. Selectivitatea receptorului este dată numai de filtrele din etajul de intrare și este nesatisfăcătoare. Cele mai "curate" oscilatoare sunt cele LC (VFO) sau cu cristal (XO). Unele receptoare cu sinteză de frecvență sunt deosebit de zgomotoase. Cele mai vechi suferă de pe urma amestecului reciproc, generînd semnale perturbatoare în interiorul benzii de IF din cauza, de exemplu, a zgomotului de pe linia de

control a frecvenței VCO-ului, generîndu-se astfel benzi laterale de zgomot modulate în frecvență. Totuși, multe receptoare moderne cu LO realizat cu sinteză de frecvență utilizează oscilatoare mai puțin zgomotoase, care minimizează amestecul reciproc.

Gama dinamică

Principalele probleme ale supraîncărcării etajului de intrare sunt compresia ciștigului, intermodulația și amestecul reciproc. Fiecare fenomen are caracteristicile sale și un anumit nivel de la care semnalele puternice produc degradarea receptiei corecte a semnalelor utile slabe. Un singur semnal perturbator puternic poate cauza compresia ciștigului sau amestecul reciproc, în timp ce pentru producția intermodulației sunt necesare cel puțin două semnale. Pentru o sensibilitate și un raport semnal-zgomot date, ciștigul etajului de intrare trebuie redus la minimum. Compresia ciștigului și intermodulația apar atunci cînd una sau mai multe componente ale etajului de intrare sunt atacate cu un semnal care le scoate caracteristica de transfer intrare-iesire din regiunea de comportare liniară. Producții de intermodulație nu vor constitui o problemă dacă ei rămîn la un nivel egal sau mai mic decît cel al zgomotului de fond. Compresia ciștigului și amestecul reciproc nu deranjează prea mult dacă nu conduc la modificarea semnificativă a raportului semnal-zgomot al simbolului. Gama dinamică desemnează regiunea de comportare liniară a caracteristicii intrare-iesire a circuitelor considerate. Limita inferioară a gamei dinamice trebuie asigurată pentru cel mai mic semnal audibil iar limita superioară pentru cel mai puternic semnal perturbator din banda respectivă. Gama dinamică trebuie să cuprindă semnale care nu conduc la degradarea performanțelor etajului de intrare. Acest principiu de proiectare este strins legat de aşa numita gamă dinamică lipsită de perturbații (*spurious-free dynamic range, SFDR*). Limitele se modifică, totuși, în funcție de diferite nivele de putere ale semnalelor perturbatoare.

(Traducere după RSGB Radio Communication Handbook 1995)

Serviciul de trimiteri de QSL al ARRL

Unul dintre cele mai mari avantaje pentru membrii ARRL este posibilitatea de a utiliza Serviciul de trimiteri QSL al ARRL (*ARRL Outgoing QSL Service*) pentru trimiterea convenabilă a QSL-urilor către destinație DX către birourile de QSL din străinătate. Pentru a utiliza acest serviciu este necesară dovada de membru al ARRL și numai o taxă de 6 USD pe livră de QSL vehiculată. Pentru cei care nu sunt foarte activi în DX (cei care trimit mai puțin de zece QSL-uri) taxa este de un dollar. Trimiterea individuală de QSL-uri implică o cheltuială destul de mare, depășind de cîteva ori taxa anuală de membru. QSL-urile de trimis sunt sortate prompt de către membrii ARRL din departamentul de trimiteri externe de QSL. Întîrziearea dintre sosirea la sediul central al ARRL și trimiterea efectivă a QSL-urilor este, de obicei, de o săptămână. Aproximativ două milioane de QSL-uri sunt vehiculate de către Serviciul de trimiteri QSL în fiecare an!

QSL-urile sunt trimise birourilor de QSL din lumea întreagă (cu unele excepții). Aceste birouri sunt administrate de către Asociațiile Naționale de Radioamatori din țările respective. Deși nu sunt trimise QSL-uri individual sau QSL-managerilor, nu mai este necesară trimiterea individuală de QSL-uri, fiecare cu timbrul său. În cazul Expedițiilor și / sau stațiilor DX care utilizează QSL-manageri este de preferat trimiterea QSL-urilor către QSL-manageri. Numeroase publicații dedicate DX-urilor, anuarul *GOLIST* QSL-manager și alte publicații sunt surse importante de informații actualizate pentru adresele QSL-managerilor.

Costul trimiterilor poștale crește mereu, devenind prohibitiv. Nu trebuie neapărat să dați faliment pînă cînd faceți jumătate din legăturile necesare pentru DXCC! Există o cale mai bună și mai ieftină - QSL VIA BURO - prin Serviciul de trimiteri QSL al ARRL.

Cum să utilizați Serviciul de trimiteri QSL al ARRL

1. Presortați QSL-urile Dvs. în ordine alfabetică, după prefixul de țară al indicativului (AP, C6, CE, DL, ES, EZ, F, G, JA, LY, PY, UN, YL, 5N, 9Y, etc.). De remarcat că unele țări au un prefix de țară și utilizează prefixe adiționale (de exemplu CE (prefixul de țară) = XQ, 3G,...). Atunci cînd sortați țări cu prefixe multiple, puneti acele prefixe împreună în ordine alfabetică în pachetul de QSL-uri. Adresele nu sunt neccare.

NU utilizați cleme, benzi adezive, bucățele de hîrtie și alți separatori între prefixele de țară.

2. Includefi dovada de membru al ARRL. Aceasta poate fi sub formă unei fotocopii a etichetei atașate revistei QSL pe care o primiți, accea cu adresa Dvs. Puteti pune și o bucătică de hîrtie pe care a-ți notat informațiile de pe eticheta revistei QST de destinație Dvs.

Este acceptabilă și o copie a cărții de membru ARRL.

3. Membrii (sunt inclusi aici membrii din străinătate, QSL-managerii sau managerii DXpedițiilor) trebuie să includă și dovada plății a 6 USD pentru fiecare livră de QSL trimisă (sunt cam 150 QSL-uri la o livră). Un pachet de pînă la zece QSL-uri, trimis o dată, costă numai 1 USD. Unsprezece pînă la 20 de

uri, trimis o dată, costă numai 1 USD. Unsprezece pînă la 20 de QSL-uri costă 2USD, 21 pînă la 30 costă 3USD. Trebuie plătit prin cec sau ordin de plată și trebuie menționat indicativul propriu pe cec. Bani gheăță puteți trimite, dar pe riscul Dvs. Nu trebuie trimise IRC-uri sau timbre poștale. (Credite DXCC nu pot fi utilizate pentru achitarea taxei Serviciului de trimiteri QSL).

4. Includeți doar QSL-urile, dovada de membru și taxa în pachet. Ambalați pachetul bine și trimiteți-l pe adresa Serviciului de trimiteri QSL al ARRL, 225 Main Street, Newington, CT 06111.

5. Membrii de familie (*family members*) pot să utilizeze și ei acest serviciu, trimițînd QSL-urile proprii odată cu cele ale membrilor titulari (*primary member*). Includeți taxa necesară pentru QSL-urile fiecărui membru menționat pe dovada de membru a membrului titular - "membri de familie".

6. Membrii ARRL cu deficiențe de vedere, care nu primesc revista QST, trebuie doar să includă taxa necesară și o notă prin care specifică faptul că pachetul provine de la un membru ARRL cu deficiențe de vedere.

7. Stațiiile de club afiliate ARRL pot utiliza acest serviciu trimițînd QSL-urile de la club și indicînd numele clubului. Secretarii de club trebuie să verifice documentele de afiliere pentru a vedea dacă aceasta este la zi. În plus, față de acest serviciu, cluburile afiliate pot "colecta" QSL-urile membrilor individuali, realizînd o economie și mai mare. Fiecare membru al clubului care dorește să beneficieze de această facilitate trebuie să fie ei însîși membri ARRL. QSL-urile trebuie să fie sortate "în grup", după prefix și trebuie trimisă dovada de membru ARRL pentru fiecare membru.

Dimensiuni recomandate pentru QSL-uri

Operarea eficientă a sistemului de distribuire în întreaga lume implică ușurința manipulării și sortării QSL-urilor. QSL-urile de dimensiuni deosebite (fie mai mari, fie mai mici decît dimensiunile normale) încetinesc sortarea, făcută de obicei de către voluntari, care nu primesc o recompensă materială pentru activitatea lor. O treccere în revistă a QSL-urilor vehiculate arătă următoarele dimensiuni medii: înălțimea QSL-ului - între 70 și 110 mm, lățimea - între 120 și 160 mm. QSL-uri avînd dimensiuni care se incadrează în aceste limite sunt ușor de sortat, stivuit și ambalat. QSL-uri cu dimensiuni mai mari se pot deteriora - de obicei sunt indoite. De remarcat că pentru Regiunea 2 IARU a recomandat următoarele dimensiuni optime: 90 mm x 140 mm. Țări care nu sunt deservite de către Biroul de Trimiteri QSL al ARRL. Aproximativ 260 țări DXCC din cele incluse în Lista Țărilor DXCC sunt deservite de către Biroul de trimiteri QSL.

AD ELECTRO COM

COMPONENTE ELECTRONICE ȘI ELECTRICE
RADIO - T.V.
AUDIO - VIDEO
ACCESORII GSM
COMPONENTE ȘI CONSUMABILE
CALCULATOARE
APARATE DE MĂSURĂ ȘI CONTROL
LITERATURĂ DE SPECIALITATE

OFERIM SPAȚIU ÎN CONSIGNAȚIE

Str. Calea Griviței nr. 34, București, sector 1
Tel: 01/650.32.70

Acestea includ aproape toate țările active. După cum se menționează înainte QSL-urile sunt trimise Birourilor de QSL omoloage din țările corespondente. În unele cazuri, nu există un astfel de birou și nu se pot face trimiteri de QSL. Totuși, în acest caz, QSL-urile pot fi trimise unui QSL-manager, de exemplu ZB2FX via (G3RFX). Serviciul ARRL de trimiteri QSL nu trimite QSL-uri în următoarele țări:

A5	Bhutan	V6	Micronezia
A6	Emiratele Arabe Unite	VP2M	Montserat
D2	Angola	XU	Kampuchia
J5	Guinea Bissau	XW	Laos
KH0	Insulele Mariane	XZ(IZ)	Myanmar (Burma)
KH1	Insulele Baker și Howland	YA	Afganistan
KH4	Insulele Midway	YT4,YU4,YZ4,4N4,4O4	Bosnia-Hertegovina
KH5	Insulele Palmira și Jarvis	ZD9	Tristan de Cunha
KH7K	Insulele Kure	3C0	Insulele Pagalu
KH8	Samoa	3C	Guinea Ecuatorială
KH9	Insulele Wake	3W,XV	Vietnam
KP1	Insulele Navasa	3X	Guinea
KP5	Insulele Desecheo	5A	Libia
P5	Coreea de Nord	5R	Madagascar
S7	Seychelles	5T	Mauritanie
T2	Tuvalu	5U	Niger
T3	Kiribati	70,7W	Yemen
T5	Somalia	7Q	Malawi
T8	Peru	8Q	Maldivile
TJ	Camerun	9N	Nepal
TL	Republika Centrafricană	9U	Burundi
TN	Congo	9X	Ruanda
TT	Ciad	TY	Benin

Biroul ARRL nu mai păstrează QSL-uri pentru țările care nu au un birou de QSL. Numai QSL-urile care indică un QSL-manager pentru stații din aceste țări vor fi trimise.

Atunci cînd trimiteți QSL-uri către QSL-mangeri din străinătate sortați aceste QSL-uri după indicativul QSL-managerului nu după QSL stațiilor lucrate.

Prin Biroul de trimiteri QSL al ARRL se trimit și QSL-urile pentru stații de recepție (SWL).

Biroul de trimiteri QSL al ARRL nu poate trimite timbre, IRC-uri sau bani gheăță către birourile QSL din străinătate.

Serviciul de trimiteri QSL al ARRL nu trebuie utilizat pentru trimiterea QSL-urilor destinate celor 48 de state ale S.U.A.

PRECIZARE

Pagina nr. 6 din revista noastră nr. 4/2000, în care s-a publicat articolul "GP Antena" a fost realizată în colaborare cu revista "CONEX Club", prin amabilitatea domnului Redactor Șef ing. Ilie Mihăescu - YO3CO.

YO3FQA CAUTA A412 funcțional, e-mail: smarinica@ps3.rdsnet.ro
YO7BBE Marius (tel: 048/812838) VINDE: IC2-GAT Handy VHF 7W/1W-13,8V,Rx 138...174MHz - Tx 140...150MHz; step 1MHz, 100KHz, 25KHz, 10KHz, 5KHz; memorii 20 - DTMF - BIP; adaptor pentru alimentare exterioară; casetă cu acumulator 9,6V. Preț 175 USD (cu TVA HII)

YO2CFS - Grig. OFERA Vobulator X1 - 50 (5 - 1150 MHz)
e-mail: agrig@drtvim.ro

TRANSCEIVER QRP DE 50 MHz

Dupa ce s-a documentat K1ZJH a trecut la treaba. Ceea ce a ieșit, e bun atât ca un început al unei stații de bază cât și pentru lucrul în portabil sau field day.

1. Circuitul de intrare pe receptie. Din varii considerente pentru început s-a renunțat la un circuit amplificator de radiofrecvență. Unele tipuri de sisteme de control a amplificării în etajele de radiofrecvență introduce neliniarități la intrarea receptorului sporind susceptibilitatea la semnale puternice și intermodulatie. Aceasta problema se evită prin utilizarea unui potențiometru (R1) de 500 ohm la intrarea receptorului care are rolul de control manual al amplificării.

Chiar dacă tranzistorii Q1 și Q2 sunt protejați intern, la intrare s-au conectat la masa 2 diode de comutare în sens invers. Semnalul de 50MHz sosit din antena intra într-o rețea de 3 circuite LC (filtru trece banda) construită pe toruri de ferită pentru o rejectie rezonabilă a semnalelor din afara benzii de trecere. Primul din cele 2 mixere convertește semnalul de 50MHz în semnal de 14MHz.

Oscilatorul local cu quart pe 36MHz participant la aceasta mixare e deosebitenți, utilizat și la partea de emisie unde se mixează cu semnalul de 14MHz. În continuare semnalul de 14MHz (pe partea de receptie) e trecut printr-un filtru (L5,C6) simplu care asigură latimea benzii de trecere. Semnalul e apoi mixat cu un VFO de 5MHz în al doilea etaj de mixare. La ieșire rezultă 9MHz. Nivelul optim (pentru o conversie eficientă și o bună liniaritate a mixării) al semnalului de injectie la ambele mixere (grila 2 la Q1 și Q2) e de 1,5Vvv. Ieșirea din mixerul 2 e cuplata prin L6-L7 (adaptor de impedanță) la filtrul cu cristale. Filtrul XF9B asigură selectivitatea receptorului, dar, comanda și neliniaritățile, latimea benzii de trecere și suprimarea purtătoarei în etajele de amplificare în putere pe emisie. Filtrul lucrează bilateral pe receptie și pe emisie. Pentru simplificarea schemei electrice s-au montat diode de comutare. Cei doi trimeri de 45pF (C8 și C9 - figura 2) sunt utilizati pentru acord în banda de trecere a filtrului.

2. Media frecvența (Rx) și detectorul de produs. Pe recepție ieșirea filtrului (prin activarea unei diode de comutare), merge la intrarea transformatorului L8-L9 (figura 3). L9 prezintă un divizor de tensiune capacitive (C11-C12) pentru echilibrare optimă între filtru și amplificatorul de frecvență intermediată cu U1=CA3028A (amplificator diferențial). Ca și la alte etaje acoarte, circuitele de medie frecvență (9MHz) utilizează toruri care măsoară cuplajele nedoreite dintre etaje și instabilitatea. Amplificarea etajului e de circa 25-30dB. Un esantion al semnalului de la ieșirea etajului de frecvență intermediată (dintre C14 și C15), printr-un condensator de 8pF (din figura 4), merge la etajul de control automat al amplificării (CAA), care la rândul său introduce o reacție negativă cu o gamă dinamică de circa 25dB la pin7 al U1. Tot din punctul de conexiune C14-C15 se mai preleveză un esantion de semnal care merge la detectorul de produs realizat cu U2=MC1596 (cel mai bun). Cu o amplificare de circa 12dB acesta compensă căstigul relativ scăzut al partii de intrare în receptor. El are o amplificare de 90dB și poate fi utilizat într-o gamă largă a nivelelor de semnal, în ciuda acțiunii limitate a etajului de CAA.

Q9 (figura 7) prin L17 debitează la pin 8 al U2 un semnal care e necesar și de circa 300mVvv. Se va acorda o deosebită atenție la "transportul" semnalului între punctele anterior menționate (ecranare foarte bună și decuplare corespunzătoare). Se evită astfel numeroase neajunsuri legate de mixaje nedoreite. Armonica a patra care ar interfera cu oscilatorul de 36MHz.

3. Amplificatorul de joasă frecvență. Nu impune probleme deosebite. Cu un nivel de intrare de 10mV e capabil să furnizeze la ieșire 1 W pe o sarcină de 16 ohm. La pin 8 al U3 e un condensator de 1 μF/15V (la masa) ce elimină tendința de reacție în amplificator.

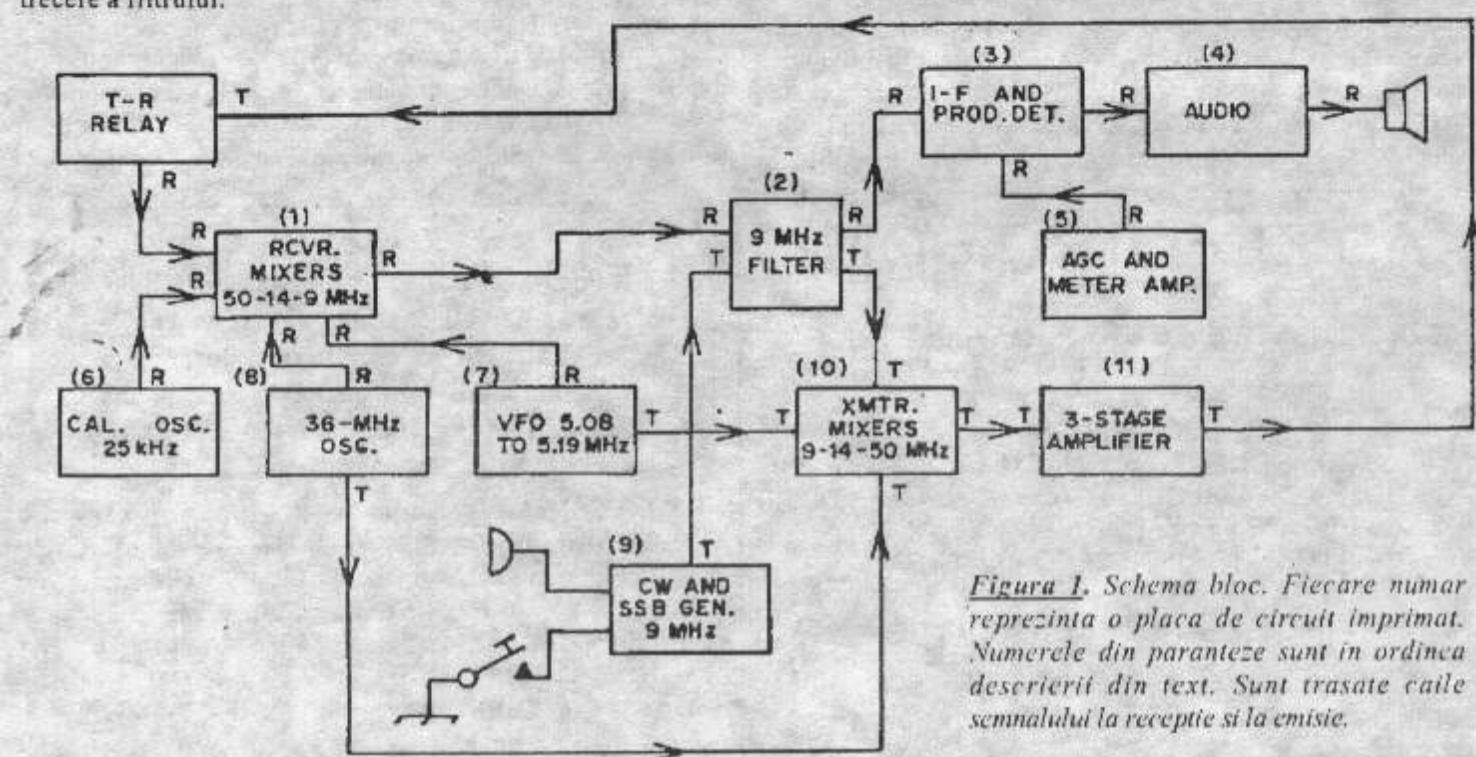


Figura 1. Schema bloc. Fiecare număr reprezintă o placă de circuit imprimat. Numerele din paranteze sunt în ordinea descrierii din text. Sunt trasate căile semnalului la receptie și la emisie.

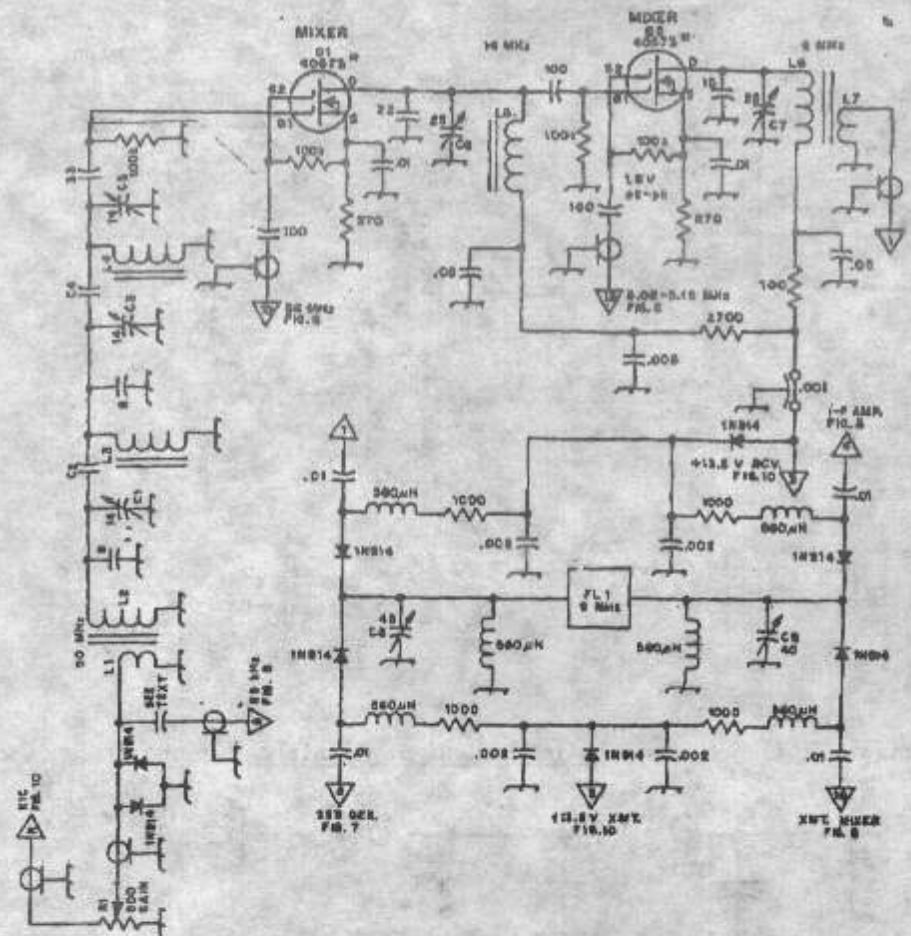
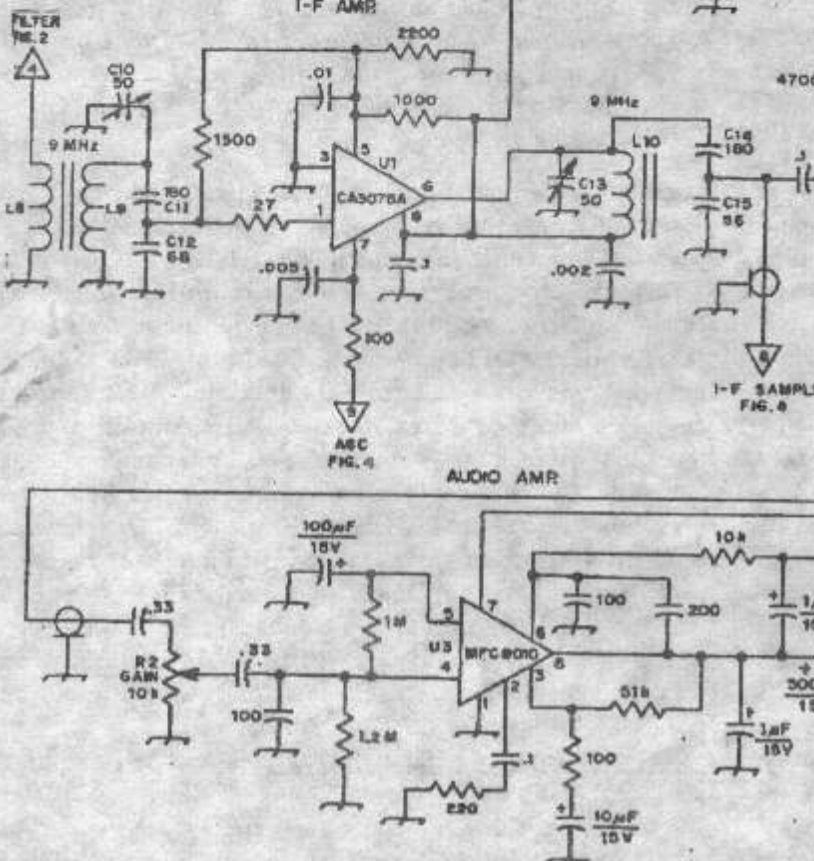


Figura 2. Schema electrică de principiu a partii de intrare a semnalului pe receptie și filtrul pe 9MHz. În text se vor găsi detalii referitoare la componentele ce nu au valori pe schema electrică. C1,C3,C5=1-14pF, trimer subminiatură; C2,C4=2 sărme fi, 0,4mm cu izolare de teflon, răscuțite, lungi de 25,4mm; circa 0,5 pF; C6,C7=5-25pF, trimer ceramic; C8,C9=7-45pF, trimer ceramic; FL1=filtru cu cristale (9MHz); L1=1 spira fi, 0,4mm, cu izolare teflon, pe tor fi 10,5mm; L2=13 spire, fi 0,4mm, cu izolare teflon, pe același tor cu L1; vezi textul pentru metoda de cuplare a calibratorului; L3,L4=12 spire, fi 0,4mm, cu izolare teflon, pe tor fi 10,5mm; L5=36 spire, fi 0,2mm, izolare cu teflon, pe tor de 12,7mm; L6=55 spire, fi 0,2mm, izolare cu teflon, pe tor de 12,7 mm; L7=11 spire la capătul rece al L6; Q1,Q2=40673 (MOSFET cu grila protejată intern)

4. Controlul automat al amplificarii (CAA). Este o varianță a schemei prezentate de W1CER. ~ de utilizare a circuitului integrat CA3028. CAA are aria de acțiune limitată doar asupra lui U1. Performanțele nu-i sunt



spectaculoase, dar e capabil să atenuze semnale locale puternice aparute la intrarea receptorului. Căstigul lui U4 e de circa 40dB. De la pin 6 semnalul e aplicat la un dublu de tensiune, care are la ieșire 2 constante de timp (lenta și rapidă) selectabile cu S1B. Urmează 2 etaje amplificatoare de curent continuu (Q3 și Q4). Din emitorul lui Q4 semnalul merge la pin 7 al U1, iar din colector la S-metru.

5. Calibrator de 25KHz (optional).

Un cristal de 100KHz (Y1-fig. 5) e utilizat într-un oscilator cu JFET. Intervalele de calibrare de 100KHz sunt inadecvat de utilizat la plaja mica de frecvență a acestui transceiver. Frecvența de 100KHz se divide cu 4 în doi bistabili J-K (U5 și U6). Continutul bogat în armonici al

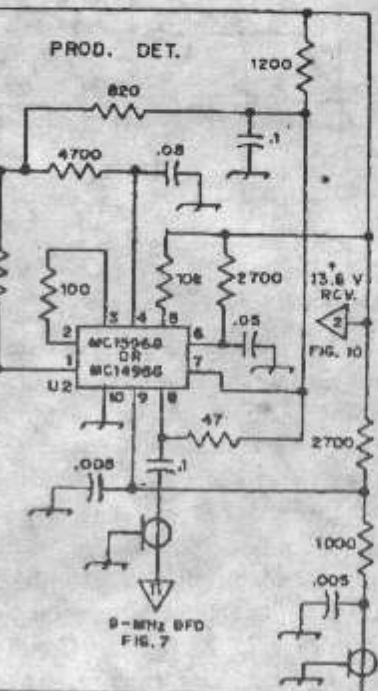


Figura 3. Schema electrică a amplificatorului de frecvență intermedie de 9MHz, detectoarei de produs și amplificatorului de joasă frecvență. În text se vor găsi detalii referitoare la componentele ce nu au valori pe schema electrică. C10,C13=9-50pF, trimer ceramic; L8=17 spire, L9=24 spire, Φ 0,4mm, izolare cu teflon, pe tor Φ 12,7mm; L10=24 spire, Φ 0,4mm, izolare cu teflon, pe tor Φ 10,5 mm; R2=10Kohm, potențiometră; U1=CA3028A; U2=MC1496G sau MC1596G; U3=MFC8010,HEP C6004,TBA810AS.

semnalului de la ieșirea lui U6 se va cupla la intrarea receptorului printr-un cablu coaxial de 50Ω tip RG174/U.

6. VFO-ul de 5MHz

VFO-ul și oscilatorul cu cristal pe 36MHz determină frecvențele de emisie și receptie. A fost adaptată după cea utilizată de W1KLK într-un emitor în banda de 20m.. Oscilatorul Colpitts utilizează un MOSFET (Q5 – figura 6) cu portile legate împreună. Acest lucru va reduce armonicele, prin limitarea transductantei pe vârful de tensiune pozitiva. Urmează 2 tranzistoare (Q6 și Q7) repetor pe emitor care adaptează ieșirea VFO-ului la o impedanță de 50Ω . Energia de 5MHz străbate un filtru trece-jos pentru a elimina ieșirea frecvențelor armonice din separatoare. Semnalul merge la mixerele de receptie și emisie prin cabluri coaxiale tip RG - 174 / U. Stabilizarea tensiunii de alimentare a oscilatorului nu este necesară, dar poate fi făcută prin inserarea unei rezistențe în serie cu o dioda Zener de 9,1V între drena Q5 și masa. Prin căldura degajată de rezistență și dioda, se va crea posibilitatea unei derive importante de frecvență VFO-ului. Pentru a păstra calibrarea, în modul de operare pe banda laterală inferioară, s-a decalat VFO-ul prin introducerea unei capacitați a unei diode de comutare montată în serie cu C19 și C20. Cu valorile din schema, VFO-ul a fost proiectat să funcționeze în portiunea 50,08 – 50,19MHz, dar el poate fi extins, după dorința utilizatorului, prin marirea capacitatii C18. Condensatorul de compensare C21 este ceramic, cu un coeficient negativ de temperatură. Valoarea sa (tip N) poate fi selectată experimental, dacă cei de tip N330 nu furnizează o derivă de frecvență rezonabilă. Se mai poate utiliza o combinație de N750 în paralel cu NPO astă cum a functionat în montajul practic al autorului. Scala mecanica se va confectiona căt mai robust, cu posibilitatea deplasării căt mai fine în frecvență. Cu excepția lui C18 și a condensatorului de compensare C17 toate componentele au fost închise într-o cutie pentru a fi izolate electric și termic. Această cutie a fost amplasată sub oscilatorul de calibrare de 25KHz. Totodată, este important ca toate componentele VFO-ului să fie montate rigid. O grija deosebită se va acorda ansamblului condensator variabil pentru a nu avea surprize neplăcute datorate unei derive de

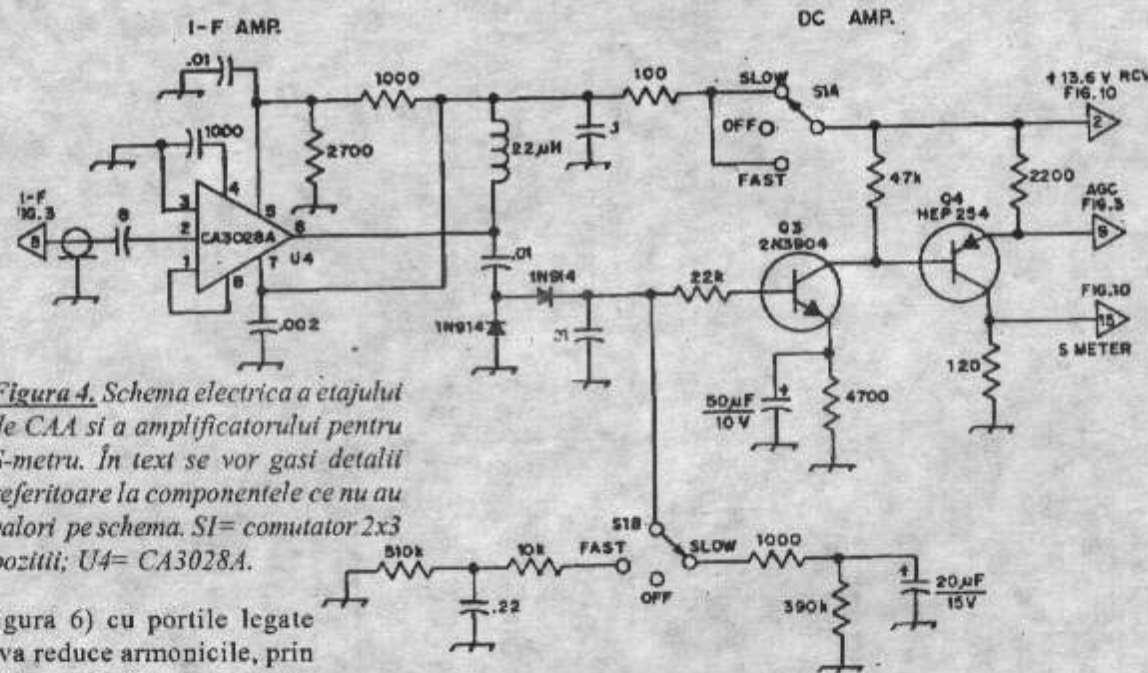


Figura 4. Schema electrică a etajului de CAA și a amplificatorului pentru S-metru. În text se vor găsi detalii referitoare la componentele ce nu au valori pe schema. S1 = comutator 2x3 poziții; U4 = CA3028A.

frecvență.

7. Oscilatorul de 36 MHz

Schema electrică este prezentată în figura 5. Oscilatorul de 36 MHz este alimentat de la ieșirea etajului de CAA (figura 4) și este compus dintr-un tranzistor (Q3), un flip-flop (U5, U6), și un cristal de quart (Y1).

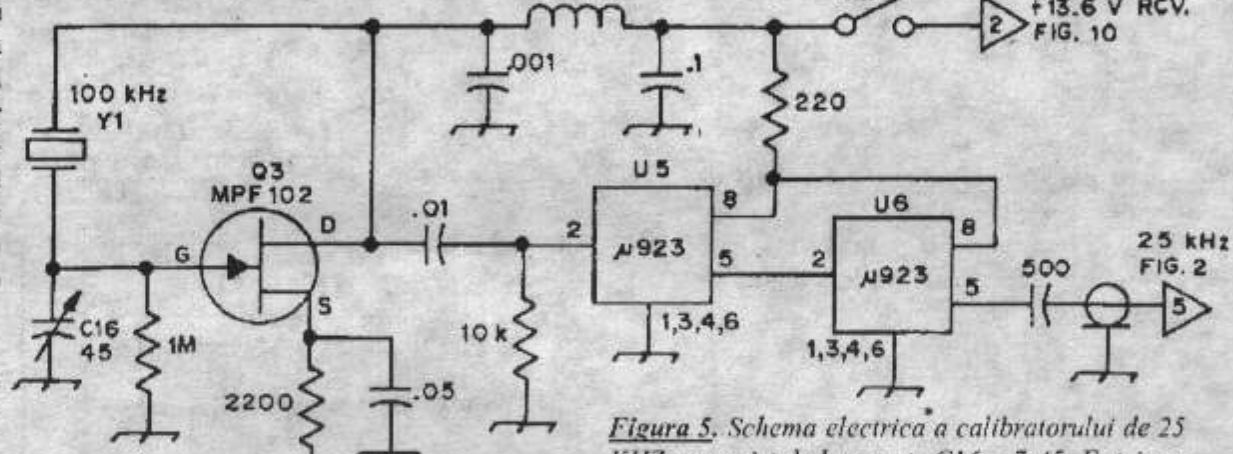
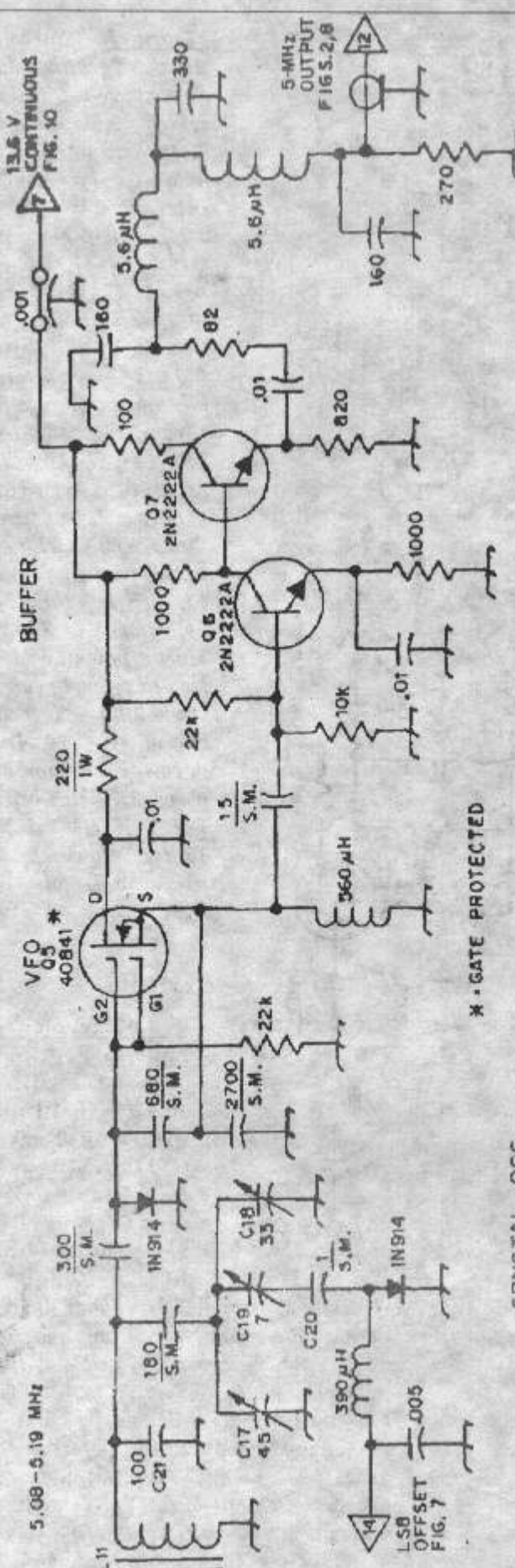


Figura 5. Schema electrică a calibratorului de 25 KHz, cu cristal de quart. C16 = 7,45pF, trimer ceramic; S2 = contactor; U5, U6 = u923 sau similar J-K flip-flop, Y1 = 100KHz, cristal de quart pentru o sarcină de 32pF.

Este prezentată în figura 6. Tranzistorul Q8, cristalul de quart Y2 și piesele adiacente furnizează semnal la mixerele de emisie și receptie. La receptie, în primul mixer (Q1–figura 2), semnalul se mixează cu cel ce sosete din circuitul de intrare al receptorului, rezultând 14MHz. La emisie, ajunge la grila 2 a Q13. La grila 1 a Q13 ajunge semnalul de 14MHz ca al doilea semnal al mixerului de emisie. În drena lui Q13 este furnizat semnal de 50MHz care va ataca etajele de amplificare din figura 9. Tensiunea de colector a Q8 este stabilizată cu o dioda Zener de 9,1V/1W pentru a menține stabilitatea frecvenței și nivelul de ieșire variabil. În L12-C22 se formează frecvența de 36MHz. Prinț-ur un condensator foarte mic (C23 de circa 0,5pF) ajustabil, se furnizează un semnal de 1,5Vvv pentru mixere. Oscilatorul de 36MHz are două circuite acordate slab cuplate (L13 cu L14 și tot același L13 dar de data asta acasă cu L15), ce sunt utilizate să reducă, la ieșire, continutul de armonici.

8. Generatorul de benzi laterale. Este cel mai complex subansamblu din transceiver. Se compune dintr-un oscilator (Q9) cu 3 cristale de quart comutabile cu S3, două etaje (Q10 și Q11) amplificatoare de microfon și un modulator echilibrat



(U7). Cele trei cristale (Y3, Y4 si Y5) sunt disponibile pentru a fi utilizate cu filtrul de 9MHz, pentru a furniza frecvențele de lucru pe benzile laterale superioara, inferioara și de lucru în telegrafie. Modulatorul echilibrat este un integrat de tip MC1596G. Autorul a obținut informații de utilizare de la K7QWR ?. Injectia de semnal din Q9 prin L16-L18 e critica pentru a suprima la maxim frecvența purtătoare. La pinul 8 al

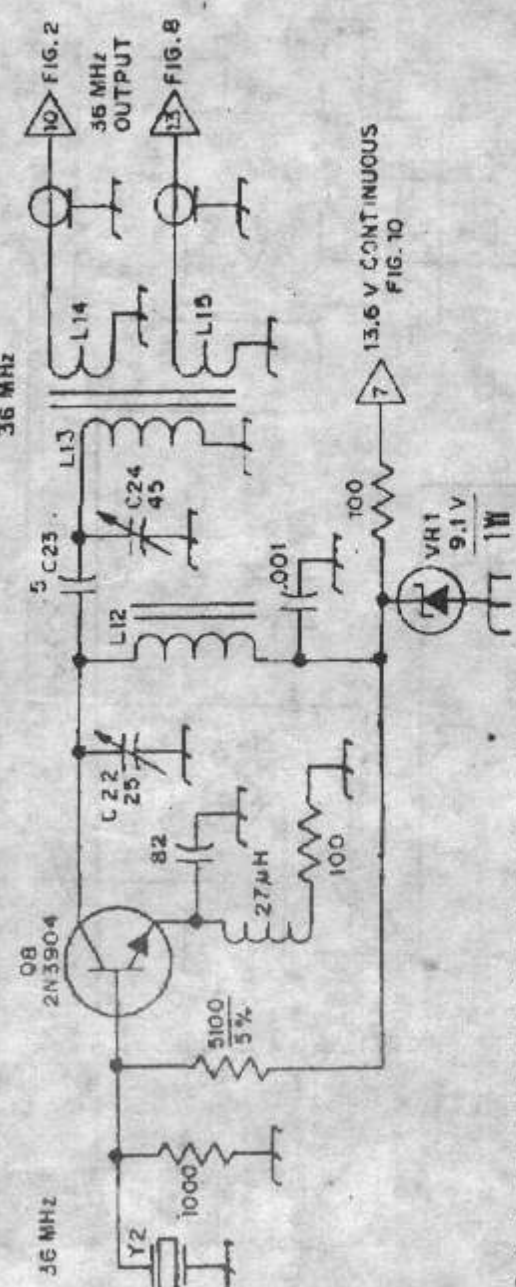


Figura 6. Schema electrică a VFO-ului și a oscilatorului de 36MHz. În text se vor găsi detalii referitoare la componentele ce nu au valori pe schema. C17,C24=7-45pF, trimer ceramic; C18=35pF maxim, semireglabil cu ax; C19=1,5-7pF, trimer ceramic; C20=1pF, mica argintată; C21=100pF, ceramic, disc, coeficient de temperatură negativ (N330), valoarea se va selecta pentru a deriva minima a oscilatorului; C22=5-25pF, trimer ceramic; C23=2 sărme fi 0,51mm, de 25,4mm, cu izolație teflon, rasucite, pentru a obține la mixer nivelul necesar de 1,5Vv; L11=26 spire, fi 0,4mm, izolație cu teflon, pe tor fi 12,7mm; L12,L13=12 spire, fi 0,4mm, cu izolație teflon, pe tor fi 12,7mm; L14,L15=1 spira fiecare, bifilară, insasurate la capatul rece al L13; VRI=PL9VIZ.

U7 nivelul de semnal necesar e de 150mV. Acest nivel poate fi modificat prin înlocuirea condensatorului C29=82pF. Pentru acuratețea și stabilitatea nulului purtătoarei se actionează asupra lui R3 (50Kohm – potentiometru semireglabil multitor). Pe R3 nu vom avea energie de radiofrecvență ci numai un nivel de tensiune continuă. În modul de lucru „telegrafie” suprimarea purtătoarei este dinadins dezechilibrata, pentru a genera o undă purtătoare la ieșirea lui U7. Pentru a realiza acest lucru mai e necesar a se utiliza un cristal de quart (Y5) cu frecvență (9MHz) în banda de trecere a filtrului. Anularea purtătoarei se realizează din C25, C26 și R3 care interacționează între ele. Reglajele se vor repeta până ce se va obține o rejectie maximă a purtătoarei pe ambele benzi laterale (superioara și inferioara). C27 e actionat până ce se obtine o creștere a unei purtătoare. Ieșirea modulatorului echilibrat merge la filtrul cu cristale

de 9MHz, unde banda laterală nedorită și orice urmă de purtătoare sunt suprimate. La emisie, rezistențele de sarcină în paralel pe L20 (470 ohm - figura 7) și L21 (560ohm - figura 8) sunt prezente pentru a adapta impedanța de la ieșirea generatorului de benzi laterale la impedanța de intrare în mixerul de emisie.

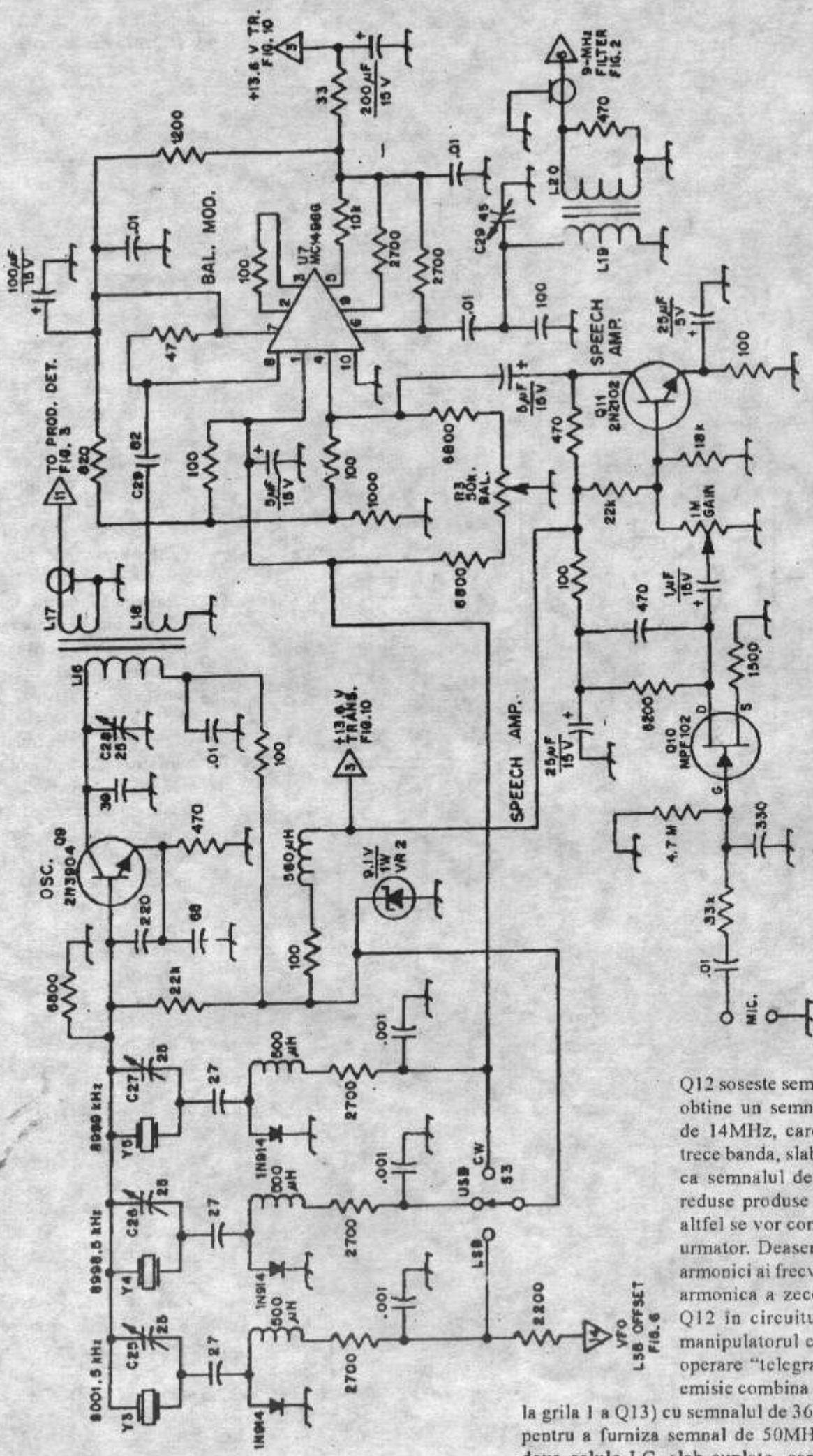


Figura 7. Schema electrica a generatorului de benzii laterale. In text se vor gasi detalii referitoare la componentele ce nu au valorile pe schema. C25 - C28 = 5-25pF, trimer ceramic; C29 = 7-45pF, trimer ceramic; L16 = 32 spire, Φ 0,14mm, izolatie cu teflon, pe tor Φ 12,7mm; L17,L18 = 2 spire fiecare, bifilare, insasurate la capatul rece al L16; L19 = 20 spire, Φ 0,4mm, izolatie cu teflon, pe tor Φ 12,7mm; L20 = 9 spire, Φ 0,32mm, izolatie cu teflon, pe un tor cu Φ 12,7mm; R3 = 50Kohm, potentiometru; R4 = 1 Mohm, potentiometru (regleaza amplificarea semnalului de la microfon); S3 = 1x3 pozitii, comutator cu ploturi; U7 = MC1496G; V R 2 = PL 9 V 1 Z; Y3,Y4,Y5 = cristale de putatoare ale filtrului de 9MHz.

9. Mixerele de emisie. Pe emisie

Q12 soseste semnal de la VFO. În drena se obține un semnal cu frecvența variabilă de 14MHz, care e trecut prin trei filtre trece banda, slab cuplate. Acest filtru face ca semnalul de 14MHz să fie curat, cu reduse produse de mixare parazite, care altfel se vor compune (regasi) în mixerul urmator. Deasemeni se elimină multiplii armonici ai frecvenței VFO-ului (în special armonica a zecea va fi suparatoare). La Q12 în circuitul sursă - masa e plasat manipulatorul ce va actiona în modul de operare "telegrafie". Al doilea mixer de emisie combina semnalul de 14MHz (sosit

la grila 1 a Q13) cu semnalul de 36MHz (de la Q8 - figura 6) pentru a furniza semnal de 50MHz. În drena lui Q13 sunt două celule LC, slab cuplate, care atenuaza semnalul de

Fig. 8

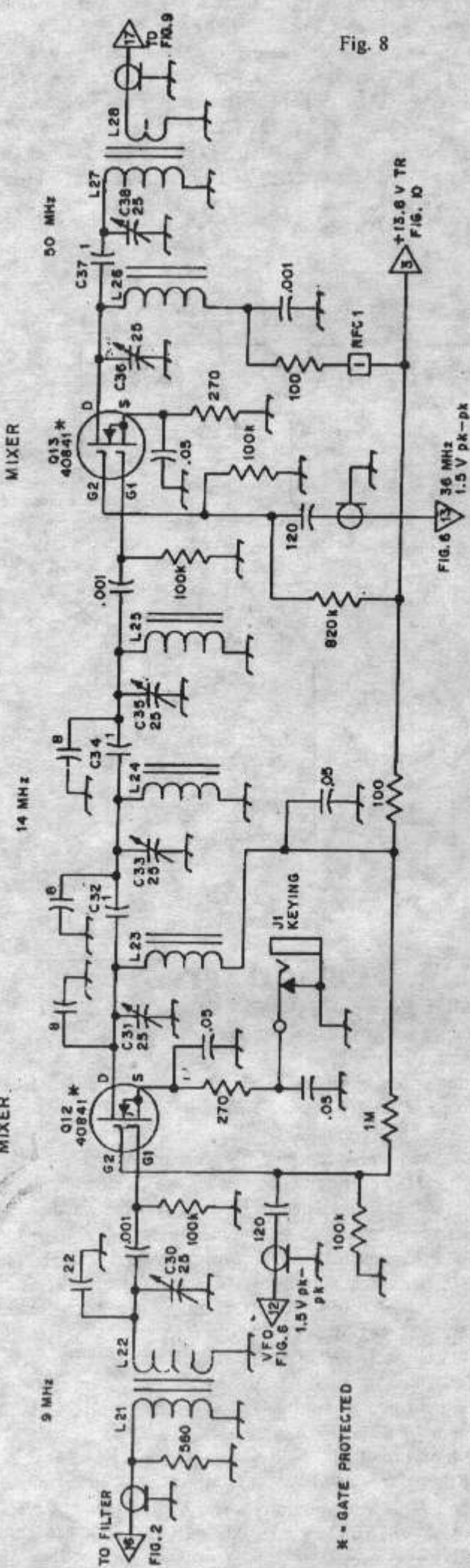


FIG. 8 36 MHz 1.5 Vpk-pk

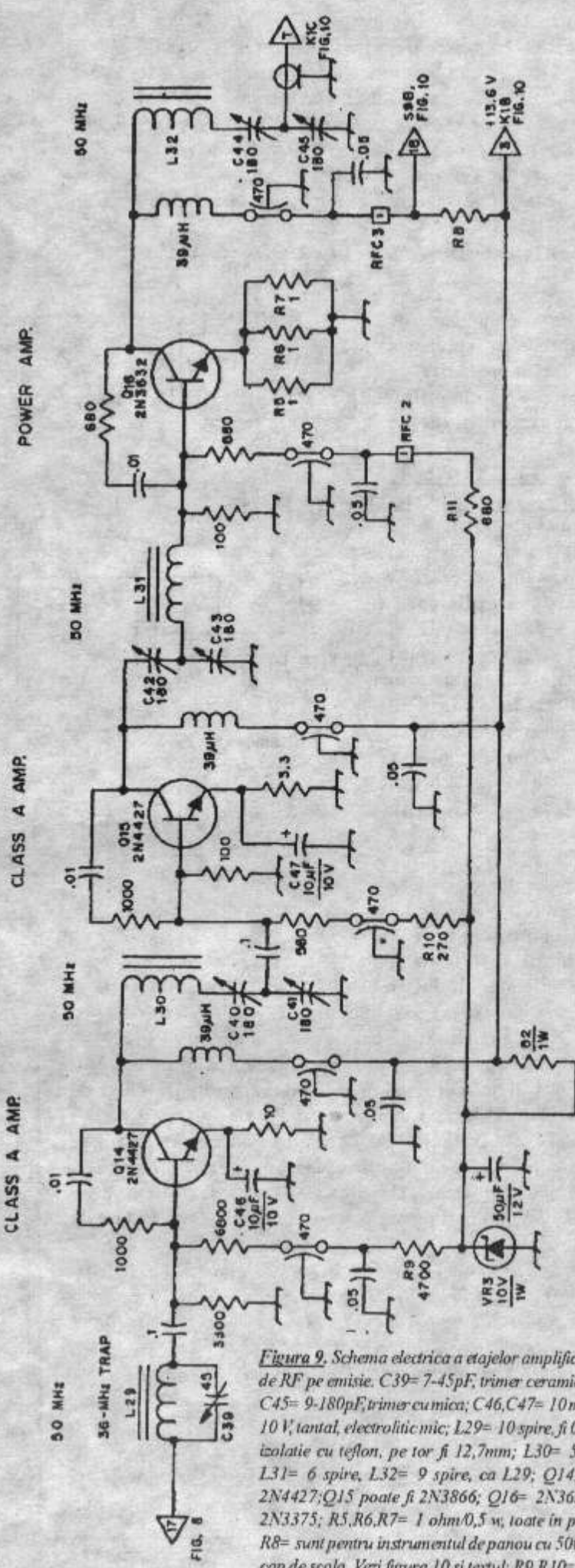


Figura 9. Schema electrică a etajelor amplificatoare de RF pe emisie. C₃₉= 7-45pF, trimer ceramic; C₄₀-C₄₅= 9-180pF, trimer ciumică; C₄₆, C₄₇= 10 microF/10 V, tantal, electrolitic mic; L₂₉= 10 spire, fi 0,4mm, izolatie cu teflon, pe tor fi 12,7mm; L₃₀= 5 spire, L₃₁= 6 spire, L₃₂= 9 spire, ca L₂₉; Q14, Q15= 2N4427; Q15 poate fi 2N3866; Q16= 2N3632 sau 2N3375; R₅, R₆, R₇= 1 ohm/0,5 W, toate în paralel; R₈= sunt pentru instrumentul de panou cu 500mA la cap de scala. Vezi figura 10 și textul; R₉, R₁₀= valori aproximative; ajusteaza valorile pentru Q14= 80mA și Q15= 100mA, sau pentru cea mai buna liniaritate în contextul utilizarii metodei cu două tomuri; RFC2, RFC3= PL10Z.

aproximative; ajusteaza valorile pentru Q14= 80mA și Q15= 100mA, sau pentru cea mai buna liniaritate în contextul utilizarii metodei cu două tomuri; RFC2, RFC3= PL10Z.

Figura 8. Schema electrică a mixerelor. C30,C31,C33,C35,C36,C38= 5-25pF, trimer ceramic; C32,C34,C37= 2 sârme fi 0,51mm, izolatie cu teflon, de 25,4mm, rasucite de trei ori pentru a forma o capacitate de circa 1pF; J1= jack (cu circuit de punere la masa); L21= 10 spire, fi 0,4mm, izolatie cu teflon, pe tor fi 12,7mm; L22= 30 spire, fi 0,4mm, izolatie cu teflon, pe tor fi 12,7mm; L23= 27 spire, fi 0,4mm, izolatie cu teflon, pe tor fi 12,7mm; L24,L25= 30 spire, fi 0,4mm, izolatie cu teflon, pe tor fi 12,7mm; L26,L27= 8 spire, fi 0,4mm, izolatie cu teflon, pe tor fi 12,7mm; L28= 2 spire, pe același tor cu L27; Q12,Q13= 40841 (MOSFET cu grila protejată); RFC1= 4 perle de ferita.

36MHz și armonicele de intrare, cum ar fi prezenta produselor nedorite de mixare. La Q13 în grila 2 e necesar un nivel de 1,5Vvv.

10. Etajele de amplificare pe emisie.

Pentru ca nivelul de ieșire la 50MHz să fie de până la 3W sunt necesare 3 etaje de amplificare. Primele două etaje (Q14 și Q15 – figura 9) sunt echipate cu tranzistorul 2N4427 polarizat în clasa A. În acest regim de lucru e necesar un mic radiator ce va disipa caldura degajată. Reactia negativă colector-bază e utilizată să reducă amplificarea tranzistorului, ceea ce va duce la îmbunatatirea stabilității și liniarității ambelor etaje. Etajul final (Q16) lucrează în clasa B și debitează la ieșire 1,5W în SSB. Rezistențele (R9=4K7 și R10=270) de polarizare a bazelor, la tranzistorii 2N4427, se vor modifica ușor până ce se va obține curentul de colector necesar. Curentul de mers în gol la tranzistorul 2N3632 e de 30mA. Toate cele trei tranzistoare au bazele polarizate de la o tensiune stabilizată de 10V, ceea ce le asigură un regim de operare în regiunea liniară a caracteristicii, cu variația tensiunii de alimentare. Curentul de colector la Q16 e urmarit prin R8 pe un instrument de măsură ce poate citi 500mA la cap de scala.

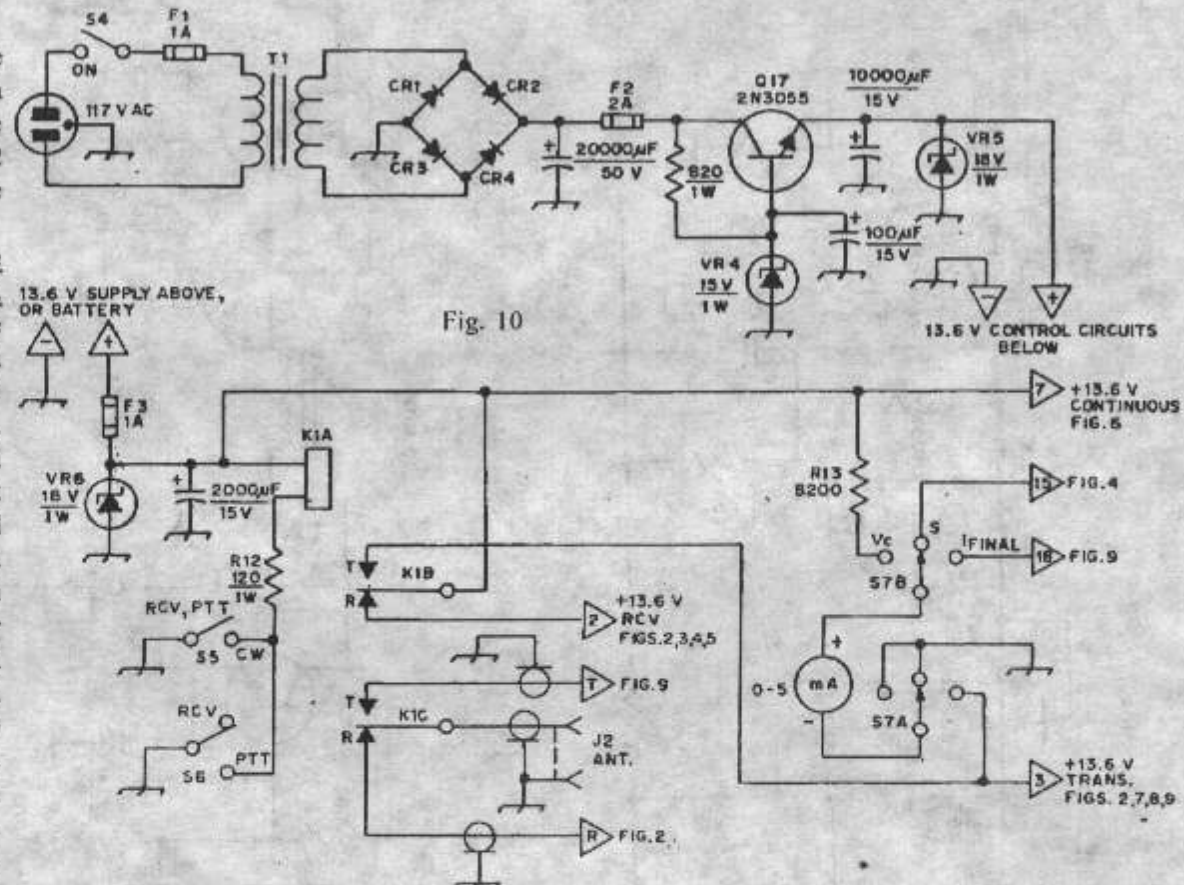
- The Radio Amateur's Handbook 1973 and 1974 Editions, "A Receiving Package for 30 to 144MHz," Chapter 8.
- The Radio Amateur's Handbook „A 20 - Meter Sideband Transmitter." 1973 Edition, pag. 414.
- Hejhall, "Integrated Circuit Balanced Modulator," Ham Radio September, 1970

N.Trad. 2N4427, Si, npn, Pmax. - 1W, Uce - 20V,
Ucb - 40V, Ic - 400mA, F_t - 400MHz, C_c - 4pF.
H_{fe} 10-200 ; echivalent cu 2N3948, KT608A

Traducere și adaptare YO4BII- Victor Ioan

CAUT: Schema electrică osciloscop SERUTE tip. EO174A
YO3AOE-Nelutel 01/230.97.68

Figura 10. Schema electrică a alimentatorului și circuitelor auxiliare de comandă și control. CR1-CR4= 100 V/1 A, diode; F1,F3= 1 A, sigurante; F2= 2 A, siguranta rapidă; J2= SO-239, mușă pentru cablu coaxial; K1A,K1B,K1C= releu miniatură cu 2 perechi de contacte x 2 poziții și bobină de 120 ohm; pentru o rezistență mai mare a bobinelor releelelor se va elimina R12= 120 ohm; S4= întrebuințator retea (220 Vac); S5= întrebuințator; S6= contactor PTT, pe microfon; S7= comutator cu 2 galeti x 3 poziții fiecare; R13= 8K2 sau o valoare adecvată pentru ca pe instrumentul de măsură să se poată citi (30 sau) 50 V la cap de scala; VR5,VR6= PL18Z.



PUBLICITATE

YO6ADM, Stefan din Reghin **OFERĂ** următoarele:

1. Modem industrial AEA S.U.A. Pakratt PK-64 pentru calculatorul Commodore-64.

Funcționează la vitezele de 300 și 1200 Baud în următoarele moduri: PACKET, AMTOR, RTTY, ASCII și MORSE. Are manual de utilizare original.

2. MODEM home-made pentru Packet-radio cu TCM-3105 functionând la alegere cu calculator PC sau Commodore-64.

3. Colectia de reviste și almanah TEHNIUM și Radioamator YO precum și carti, cataloage și scheme în limba română și maghiară.

4. KIT sintetizator pentru banda de 2 metri după o schema aparțină revistei Radiotekhnika (Ungaria) nr. 1-2-3-4 din 1992.

Informații la telefon: 065-520.920 E-mail: yo6adm@netsoft.ro Home-BBS: YO6ADM@YO5KAQ

OFER: Osciloscop dublu spot TESLA BM 566A - 200 MHz. YO9FYP - Chiru Alexandru tel. 210.884

OFER: Transceiver Kenwood TW 4000 A, dual band (144 - 432 MHz); Info: YO9GGP - Romica tel. 044/240.676

VÂND: Linie Kenwood TS 820 cu toate opțiunile (3,5 - 28 MHz); Tuburi 6146, 6146A, 6146W, 6146F; Antena ZAGI cu 4 elemente A4S pentru 7 - 28 Mhz, plus rotor antena YAESU G800S; Receptor R250M; YO5AXB - Mircea tel. 062-460.843 sau 092-946.925

DISPOZITIV DE ACORD

Ing. Gheorghian Romeo YO6CAN
Prof. Gherghian Liliana
Gura Humorului

1. Generalități

Transceiverele industriale moderne de unde scurte dotate cu sinteză de frecvență, pe lângă sistemele obișnuite de reglare a frecvenței, manual prin buton rotativ cu acord proporțional și taste de scanare la diferite viteze, mai sunt prevăzute și cu un sistem care realizează o viteză variabilă și un sens de acord, funcție de unghiul și implicit cuplul, cu care este acționat un alt buton (de obicei concentric cu cel principal), având o poziție centrală de repaus, inactivă, în care este menținut elastic, ce va fi denumit în continuare sistem unghiular progresiv.

Acest ultim sistem, (alături de acordul rotativ proporțional-util mai ales la acordul fin) asigură aparatului o deosebită mane-vrabilitate, încrucișat permite comod și ergonomic survolarea benzilor (în ambele sensuri) cu viteze variabile, dependente de unghiul cu care este ținut butonul, fără a mai fi nevoie de a roti mereu butonul de acord proporțional. În acest fel, benzi întregi pot fi ascultate operativ, variind mereu, după interes, viteză de acord, de la câțiva pași, la zeci de mii de pași pe secundă, doar prin modificarea unghiului butonului față de poziția sa de repaus, sistemul fiind mai bine adaptat reflexelor mâinii decât cel de scanare automată, cu taste (și buton separat de reglare a vitezei) în cazul specific receptiei undelor scurte.

NOTĂ

În poziția de repaos, ambele trăducătoare trebuie să fie obturate.

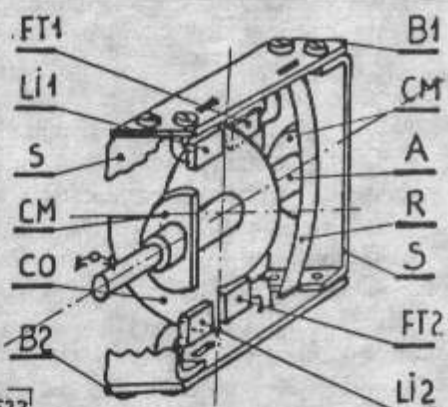


Fig.1

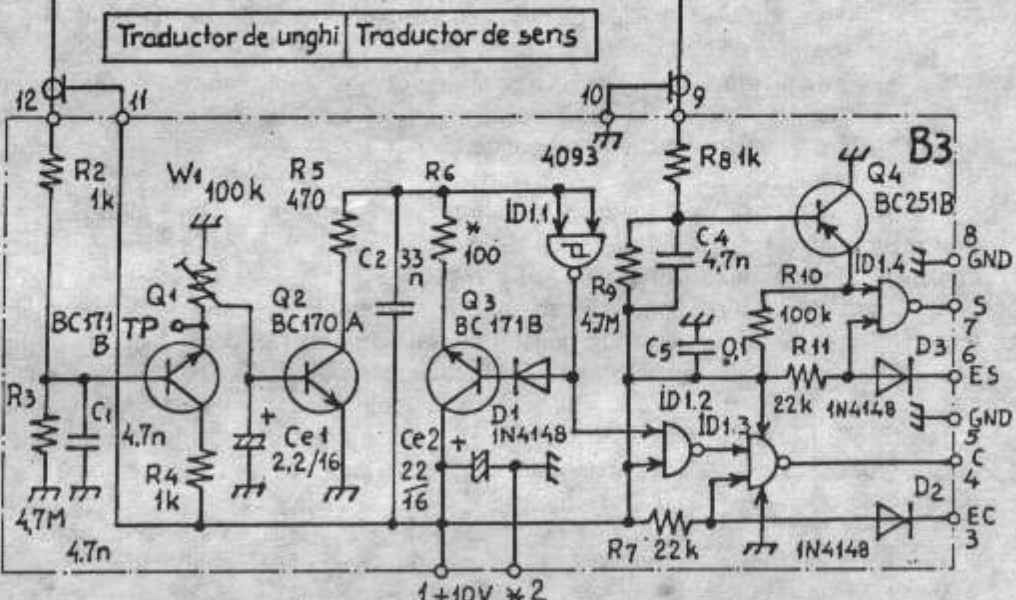
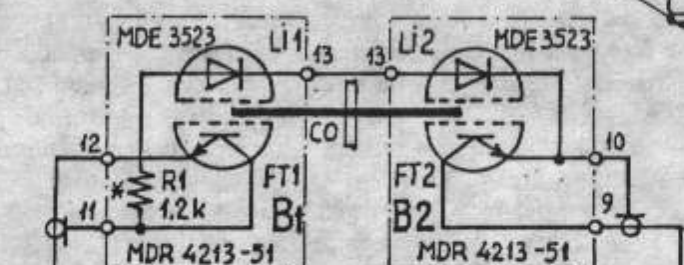


Fig.2

Întrucât sistemul de acord a sintetizoarelor cu taste și cel proporțional, cu trădutor incremental rotativ cu disc cu fante și dispozitive optoelectronice (pentru discriminarea sensului și a unghiului parcurs) sunt tratate în literatură pentru radioamatori, în continuare este prezentat un mod de realizare, în condiții "Home made", a unui dispozitiv de acord unghiular progresiv, care poate lucra în paralel și cu un alt sistem.

2. CARACTERISTICI PRINCIPALE

- ◆ Tensiunea de alimentare: 10 - 12Vcc;
- ◆ Curent absorbit: ≤ 10 mA;
- ◆ Unghi de rotere a axului: aprox. +/ - 5° ... +/ - 30° (stânga - dreapta);
- ◆ Semnale de ieșire: impulsuri pentru incrementare și nivel logic de sens, compatibile CMOS (la aceeași tensiune de alimentare);
- ◆ Frecvența impulsurilor pentru acord: 0,5Hz la primele +/- 5° ... 95kHz la +/- 30° (1 pas /2 secunde ... 95000 pași / secundă);
- ◆ Durata impulsurilor pentru numărare: cca. 3 µs;
- ◆ Are intrări pentru comanda sintetizatorului și prin alte dispozitive de acord (accep-

tând ieșiri CMOS sau de tip open collector).

3. DESCRIEREA DISPOZITIVULUI

Un mod de realizare a părții mecanice este schițat în Fig. 1. Butonul de acord (care poate fi concentric - exterior față de cel pentru acord proporțional, ori sub forma unei taste duble) este fixat pe un ax A, care se poate rota în niște lagărci (care-i limitează și jocul axial) de pe niște suporturi S (din tablă, în formă de "U"), pe care se montează niște plăcuțe de cablaj imprimat B1 și B2, ce conțin câte o pereche led - fototranzistor dreptunghiulare, montate față în față la o distanță de 1...1,5mm, cu axele longitudinale ale fețelor situate diametral opus față de ax. Acesta este menținut elastic într-o poziție de repaos cu ajutorul a două came (mecanice) de formă semicirculară CM, pe care apăsa două arcuri lamelare R (în desen este figurat numai unul), sprijinindu-se în niște orificii ale placilor B1 și B2. Fasciculele luminoase emise de led-uri sunt barate de jumătățile unei came optice CO (din plastic negru-mat sau aluminiu satinat) fixată perpendicular pe ax. Jumătatea de camă destinată acordului (figurată sus) este de formă parabolică (cu axa de simetrie figurată vertical), în poziția de repaos acoperind complet led-ul, iar cea destinată sesizării sensului este de formă circulară, cu o creștere a razei (de aprox. 6mm), la jumătatea acesteia, astfel încât să obtureze complet led-ul aferent în poziția de repaos.

Rotind axul în sens orar, partea parabolică a camei se retrage parțial din fața optocuplului LI 1 - FT 1, astfel încât o parte din fluxul luminos emis de led ajunge la fototranzistor, cu atât mai mult, cu cât unghiul de rotație este mai mare (depinzând și de profilul camei), iar optocuplul LI 2 - FT 2 este complet dezobturat, încă de la un unghi foarte mic de rotație a axului (la care optocuplul rămâne total obturat). Datorită simetriei camei parabolice, rotind axul în sens contrar, efectul asupra optocuplului 1 este similar, însă optocuplul 2 este tot timpul obturat. Profilul camă termină ca la unghiuri de rotație a axului ce depășesc + / - 30° (sau o altă valoare aleasă pentru unghiul maxim), led-ul LI 1 să fie dezobturat în proporție de cca. 50% (peste care nu se mai obține un efect semnificativ). Eliberând axul, acesta revine în poziția de repaos (de nul) urmare acțiunii arcurilor lamelare, situație în care ambele fluxuri luminoase emise de led-uri sunt barate complet.

În funcție de aplicație, există mai multe posibilități de a realiza partea mecanică a dispozitivului; la o reproiectare a acestuia, se recomandă a se avea în vedere următoarele:

- piesele se vor amplasa astfel încât jocurile mecanice să aibă un efect minim asupra gradului de obturare a optocuplului LI 1 - FT 1; acestea trebuie compensate cu arcurile de aducere în poziția de nul a axului;
- în cazul utilizării unui buton de acționare în formă de tastă dublă, direcția de apăsare a arcului, să coincidă cu cea a forței de apăsare pe tastă la efectuarea acordului, astfel încât să nu se manifeste jocul axului în lagăre, relativ la efectul camei optice;
- este favorabil a se prevedea posibilitatea ajustării mecanice a pozițiilor optocuplurilor față de cama optică.

Suprafețele inactive ale componentelor optoelectronice se vor acoperi cu vopsea neagră, iar construcția se va incaseta pentru a nu pătrunde lumină din exterior.

Schema electrică a dispozitivului este prezentată în Fig. 2. După alimentarea led-urilor în infraroșu LI 1 și LI 2 prin rezistență R1, unghiul și sensul de rotație al axului sunt convertite în curenți (de ordinul μ A) în circuitele de alimentare ale fototranzistorilor FT 1 și FT 2.

Tranzistorul Q1 amplifică curentul aferent unghiului, astfel încât pe potențiometrul semivariabil W1, apare o tensiune (ce se poate măsura între punctul de test TP și masă), dependentă de unghiul de rotație al axului, situată între aprox. 0V (la poziția de repaos) și 9,4V (la unghiul maxim și cursorul lui W1 spre masă). O parte din acest semnal atacă (în curent) baza tranzistorului Q2, cu funcția de generator de curent, care face parte dintr-un oscilator comandat în tensiune, împreună cu poarta cu trigger Schmitt ID1.1, de tip 4093, amplificatorul de curent Q3 și condensatorul C3. Când tranzistorul Q2 este blocat și condensatorul C3 descărcat, poarta are ieșirea în 0 logic, iar prin blocarea diodei D1 și a tranzistorului Q3 starea rămâne neschimbată, poarta ID1.2 (legată ca inversor) având ieșirea în 1, permisând unor impulsuri aplicate intrării de comandă externă EC (cosa 3) să fie transmise la ieșirea de impulsuri pentru acord C (cosa 4). În lipsa comenzi externe, ieșirea C rămâne în 0 logic, frecvența sintetizatorului fiind blocată. Dacă dacă Q2 începe să absorba curent (urmării rotirii axului dispozitivului) condensatorul C3 se încarcă într-un timp invers proporțional cu acest curent, ajungând la pragul de basculare al triggerului care și trece ieșirea în 1 logic, determinând, prin deschiderea lui Q3, descărcarea condensatorului C3 și implicit revenirea în 0 logic a ieșirii triggerului, după care ciclul se repetă, generându-se astfel impulsuri cu perioada de repetiție dependentă de unghiul de rotație al axului față de poziția de nul.

Curentul din circuitul fototranzistorului FT2, dependent de sensul de rotație al axului, este amplificat de repetorul Q4, fiind aplicat porții ID1.4 care dă semnalul de sens a numărării impulsurilor. Când axul este în poziția de repaos, FT 2 nu este iluminat, Q4 blocat, iar un semnal exterior de sens se poate aplica întrărui ES (cosa 6), spre a fi transmis ieșirii S (cosa 7); în lipsa acestuia, această ieșire rămâne în 0 logic, dacă axul rămâne în poziția de repaos.

4. REGLAREA DISPOZITIVULUI

4.1 Aparate necesare:

- Voltmetru electronic cu $R_i \geq 10M\Omega$;
- Sursă de tensiune stabilizată de 10V / minimum 50 mA;
- Sursă de tensiune stabilizată reglabilă între 0 și 10V;
- Testor logic;
- Osciloscop.

4.2 Mod de lucru:

- Se conectează voltmetrul electronic între punctul TP și masă, cursorul lui W1 reglindu-se spre capătul rece. Se alimentează montajul și se rotește axul dispozitivului în poziția extremă dreaptă; se schimbă valoarea lui R1 (la valori peste 330Ω) și se adoptă valoarea de la care, în jos, nu se mai obține o creștere semnificativă a

tensiunii. Aceasta trebuie să atingă cca. 9,2 V, la un curent prin led-uri de 2mA (folosind led-uri în spectrul vizibil, normale, acest curent ar trebui să fie de peste 20mA). În continuare se verifică și tensiunea din emitorul lui Q4, care trebuie să fie de cca. 0,8V; în caz că e mai mare, se mai reduce valoarea lui R1.

- ◆ Se conectează testorul logic între ieșirea C (cosa 4) și masă; se eliberează axul dispozitivului astfel ca ledurile să fie complet obturate, iar în dispozitiv să nu pătrundă lunină străină. În această situație la ieșire trebuie să se constate un palier de nivel logic 0. Se aplică în punctul TP o tensiune de 1,5Vcc. față de masă; se reglează W1 astfel încât să se constate apariția unor impulsuri cu perioada de 2...4 secunde. Se conectează în locul testorului sonda osciloscopului, se deconectează sursa de la TP și rotește axul dispozitivului spre dreapta. Pe ecranul osciloscopului trebuie să apară impulsuri dreptunghiulare cu lățimea de cca. 3µs (dependente de R6) și înălțimea de 10V, cu frecvență de repetiție dependentă de unghiul de poziționare a axului, simetric în ambele sensuri, față de poziția de nul (la care nivelele logice la ambele ieșiri trebuie să fie 0). Limita maximă a frecvenței generate, corespunzătoare unghiiurilor extreme de rotire a axului, se poate ajusta din valorile lui R5 și C3, putând fi adusă până la cca. 95kHz, cu datele din schemă.
- ◆ Se conectează testorul la ieșirea S (cosa 7) și trebuie să se constate schimbarea nivelului logic, rotind stânga - dreapta axul dispozitivului, în jurul poziției centrale.

INFO SATELIT

Rubrică realizată de Octavian Codreanu - YO4GRH

Scurt istoric al satelitilor de faza 3

AMSAT- Phase 3A

Istoria satelitilor de faza 3 a inceput din pacate cu stângul. Pe data de 23 mai 1980, Phase 3A a fost lansat în cel de-al doilea zbor al rachetei Ariane 1 (Ariane L-02 23). Lansarea a esuat datorita cedarii unuia din cele 4 motoare ale treptei I, astfel incât satelitul nu a mai ajuns pe orbita. Echipamentul de bord cuprindea un transponder mod B și o baliza pe 145 MHz, cu antene elicoidale pentru VHF și UHF. Greutatea totală era de 92,2 kg.

AMSAT-OSCAR 10 (Phase 3B)

Nume: AMSAT-OSCAR 10 (Phase-IIIB)

Numar de catalog Nasa: 14129

Lansat: 16 iunie 1983

Vehicul de lansare : ARIANE 1-06

Locul lansării: Kourou, Guiana Franceza

Greutate: 90 kg plus combustibil

Orbita: Înalta, eliptica, de transfer geostationar (Molniya),

3997 x 35449 km

Înclinatie: 27°

Perioada: 11 ore, 39 minute

Dimesiuni: 600 x 40 x 200 mm

Moduri: B

Balize:

145,810 MHz (purtătoare nemodulată)

Transpondere lineare: Inversoare (CW, SSB)

Uplink Mod B: 435,030 – 435,180 MHz LSB

Downlink Mod B: 145,825 – 145,975 MHz USB

Particularități:

Orbita Molniya – Timipi lungi de comunicație

Primul satelit de comunicări pentru radioamatori cu sistem de propulsie la bord (nu a funcționat în întregime corect, datorită unei coliziuni cu vehiculul de lansare după separare – de aici a rezultat o orbită nu chiar de tip Molniya, și care a plasat satelitul într-o zonă de mare expunere la radiatiile din centurile Van Allen).

Status: Semi-operational

Al doilea satelit de faza 3 a avut parte de o soartă puțin mai bună, dar nu cu mult. Dupa o lansare reușita, la separarea de vehicul, satelitul s-a lovit de lansator, și ca atare sistemul de propulsie a fost afectat, de unde și imposibilitatea plasării lui AO-10 pe orbita planificată inițial. Dupa ce a funcționat corespunzător timp de peste 3 ani, în decembrie 1986 memoria

computerului de bord a cedat, datorita expunerii prelungite la radiatiile cosmice. Din acel moment, AO-10 nu a mai putut fi controlat, astfel ca pozitia lui în raport cu soarele nu mai poate fi modificată și ca atare bugetul energetic variază periodic, în funcție de orientarea panourilor solare față de soare. Tot de atunci s-a pierdut și controlul asupra antenelor, acestea fiind comutate doar când, datorita nealinierii cu soarele, tensiunea la bord scade sub limitele normale, iar computerul de bord începe să execute instrucțiuni din memoria defectă. Astfel recent, după ce timp de mai mulți ani operase utilizând antenele omnidirectionale, sistemul a comutat pe antenele directive, care, datorita incapacitatii operatorilor de la sol de a controla poziționarea satelitului, de cele mai multe ori sunt îndreptate spre un punct din spațiu și nu spre Pamânt. La ora actuală, bateriile sunt complet epuizate, și ca atare, satelitul operează numai cu ajutorul panourilor solare, și astfel, la orice intrare în umbra Pamântului, sau nealinierie a panourilor cu soarele, AO-10 încețează să mai funcționeze, până la ieșirea din eclipsă. Tot în condiții de tensiune sub limită, au mai fost cazuri când computerul a decuplat/cuplat baliza sau transponderul.

AMSAT-OSCAR 13 (Phase 3C)

Nume: AMSAT-OSCAR 13 (Phase 3C)

Numar de catalog NASA: 19216

Lansat: 15 iunie 1988.

Vehicul de lansare: Ariane-4

Locul lansării: Kourou, Guiana Franceza

Greutate: 90 kg plus 50 kg combustibil

Orbita: Înalta, eliptica, de transfer geostationar (Molniya).

Înclinatie: 57,4 °

Perioada: 11 ore, 27 minute

Dimesiuni: 600 x 40 x 200 mm

Moduri: B, S

Balize:

145,812 MHz 400 bps PSK, 50 baud RTTY, 10 wpm CW

145,985 MHz (întretinere) 400 bps PSK

435,652 MHz 400 bps PSK, 50 baud RTTY, 10 wpm CW

2400,664 MHz (întretinere) 400 bps PSK

Transpondere lineare:

Uplink Mod B: 435,423 – 435,573 MHz LSB

Downlink Mod B: 145,975 – 145,825 MHz USB

Uplink Mod S: 435,602 – 435,638 MHz USB

Downlink Mod S: 2400,711 – 2400,747 MHz USB

Particularități:

Orbita Molniya – Timipi lungi de comunicație

Status: A reintrat în atmosferă pe data de 5 Decembrie 1996

Oscar-13 a fost lansat pe data de 15 Iunie 1988, în primul zbor de test (V-22) al rachetei Ariane 4, împreună cu Panamsat și Meteosat P2. Lansarea a avut loc la ora 11:19 utc, iar la ora 12:39 utc P3C a devenit Oscar -13, în momentul în care a fost ejectat din structura de lansare, iar la ora 14:03 utc a fost activată baliza de telemetrie pe 145 MHz. Oscar-13 a fost plasat initial pe o orbită de transfer cu apogeul la 36077 km, perigeul la 223 km și inclinată de 10° . Într-o serie de arderi ale motorului de la bord, el a fost adus pe o orbită de 36265 km x 2545 km x 57° . Reorientarea satelitului în spațiu se facea cu ajutorul unui sistem de magnetotorsiune, în care niște bobine erau energizate și formau rotorul unui motor, statorul fiind câmpul magnetic terestru. Aceste corecții se efectuau întotdeauna la perigeul orbitei. Pe data de 22 Iulie 1988 transponderul de mod B a fost pornit pentru uz general. (el fusese testat discret pentru câteva minute în ziua precedenta).

Echipamente de bord

Echipament Status Remarcă

2.4 GHz TX	OK	
435 MHz TX	OK	S-a defectat după 5 ani
145 MHz TX	OK	
1.3 GHz RX	OK	Sensibilitate scăzuta
435 MHz RX	OK	
RUDAK	—	Nu a functionat niciodată

Defectiuni la echipamentele de bord:

AO-13 transportă un regenerator digital de packet radio numit RUDAK. El a fost testat cu succes pe un turn de apă, și înainte de lansare, pe AO-13. Dar în spațiu, spre dezamagirea generală, nu a functionat niciodată, și toate testeile rulate la bord nu au putut indica defectul. Receptorul de mod L pe 1296 MHz avea o sensibilitate de 10 ori mai mică decât cea necesară, iar puterea necesară în aceste condiții, de peste 5 KW eirp, a discurajat pe aproape toți operatorii. Dacă sensibilitatea ar fi fost corespunzătoare, 10W într-un Yagi lung ar fi fost suficient, și poate modul L ar fi fost la fel de popular ca modul B, poate chiar mai mult, pentru că ieșirea fiind în banda de 70 cm, era foarte linistită și usor de ascultat. Nici pentru aceasta defectiune nu au fost gasite cauzele. Emetatorul de 435 MHz s-a defectat brusc pe data de 19 Mai 1993, punând astfel punct operarii în mod L, și pierzându-se astfel și cea mai bună baliza de telemetrie disponibilă. Emetatorul funcționa la o temperatură de 41°C , ceea ce ar putea explica defectarea lui.

Echipamentele funktionale

Emetatorul de 145 MHz a fost pornit aproape continuu, cam 60000 de ore, întrerupt numai pentru câteva ore la apogeu, când se foloseau emittatoarele de mod L sau S, cu antenele lor direcționale.

Transponderul de mod S a fost de asemenea un mare succes. A fost construit ca un demonstrator de tehnologie, și ca atare a avut destule limitări și putere scăzuta. El a fost folosit de un mare număr de radioamatori, care și-au facut pregătirea necesară pentru a lucra pe P3D.

Bus-ul.

Bus-ul este ansamblul săsiului, motoarele, computerele de bord și restul echipamentelor necesare pentru a permite funcționarea echipamentelor de comunicație și a altor incarcături utile aflate la bord.

Design-ul termic a fost un succes total. Indiferent de poziția soarelui, nu au existat niciodată puncte fierbinte pe structura, și cu toate că în timpul eclipselor panourile solare au ajuns la temperaturi de -40°C , în interior temperatura a scăzut rar sub zero.

Grupul propulsor, având la bază un motor pe baza de oxizi de azot și hidrazina, ce dezvoltă o tracțiune de 400N, a functionat de asemenea fără probleme în cele două arderi de după lansare.

AO-13 transportă două baterii: cea principală și cea auxiliara. Bateria principală funcționa în continuare fără probleme, și putea susține satelitul printre eclipsa de 2 ore. Au existat câteva motive de îngrijorare în 1993, când s-a crezut că a început să dea semne de obosale; pur și simplu nu voia să se încarce. Până la urma să se realizează că, datorită îmbătrânerii panourilor solare, curba tensiune-curent a acestora se modificase semnificativ, iar regulatorul de bord nu fusese reglat din nou, odată cu trecerea timpului. După ce punctele de control ale regulatorului au fost modificate cu o fractiune de volt, bateria să se încarce fără probleme. Bateria auxiliara, care era în mod normal descarcată, a fost încarcată accidental în 1991. Pe 26 mai 1996 a fost încarcată din nou timp de 24 de ore, ca să se vada ce avea să se întâmple. A stat încarcată numai 7 zile, iar capacitatea parca să se fi redus la 0,1 AH. Pe 19 iunie a fost din nou încarcată, de data asta pentru o săptămână, iar de data astă, a rezistat până la sfârșitul lui septembrie. O reincarcare finală a fost efectuată pe data de 16 noiembrie, pentru orice eventualitate. Cu toate acestea, bateria auxiliara nu a fost niciodată folosită pentru a alimenta satelitul, comutarea între baterii putând provoca variații de tensiune care ar fi putut genera probleme. La bord existau două regulațoare de încarcare, care au fost folosite pe rând. Acestea erau de fapt surse în comutare de 50W, care luau 30-35V din panourile solare, și le converteau la 14,5V cu o eficiență ridicată. Ambele regulațoare au funcționat fără nici o problemă.

Oscar-13 trebuia orientat în spațiu din timp în timp, pentru că panourile solare să fie iluminate corespunzător. Acest lucru se facea cu bobinele de magneto-torsiune, care erau astfel configurate încât formau rotorul unui motor electric, statorul fiind format de câmpul magnetic terestru. Tot sistemul era comandat de computerul de bord, schimbând astfel viteza și axa de rotație a satelitului.

Sistemul de navigație al satelitului era folosit pentru determinarea pozitiei satelitului. Pentru efectuarea măsurătorilor se foloseau senzori de soare și senzori de pamânt. În ultimii ani, scaderea vizibilității senzorilor datorită incetării lentilelor, că și scăderii sensibilității fotodiodelor, a generat destule măsurători neconcluzente, care au cauzat pierderi mari de timp cu interpretarea datelor.

Toate funcțiile satelitului erau controlate de computerul de bord, numit precurtat IHU. Acesta era compus din CPU, memorie, multiplexor de date, decodoul de comenzi, codoul de telemetrie, precum și software-ul propriu-zis. Computerul, construit pe baza procesorului Cosmac 1802, executând circa 100000 de instrucțiuni pe secundă, s-a dovedit să fie foarte stabil. Au fost unele blocări de sistem, când programul să oprească. Două dintre ele au fost erori de operare, când s-a trimis accidental comanda Reset, iar celelalte au avut loc în timpul perioadelor de testare intensivă, și aproape sigur au fost și ele erori de operare. Nici o blocare a sistemului nu poate să fie atribuită cu siguranță radiatiilor, și, mult mai remarcabil, nici una nu a fost cauzată de un software defectuos, ceea ce poate să fie exemplu foarte rar de sistem de operare fără erori de programare. Ignorând două opriri cauzate de erorile de operare, sistemul a rulat fără nici o problemă timp de 7 ani. De-a lungul anilor, satelitul a recepționat 4628 de comenzi, cu o medie de 1,5 comenzi pe zi. În mai 1994, circuitele de detectie și corecțare a erorilor au început să semnalizeze erori, la început 3, mai târziu 12 pe orbită. Stările de comandă nu au putut să realizeze dacă erorile erau reale, sau era o funcționare defectuoasă a circuitului de corecție și control al erorilor. Oricum, sofțul de control nu s-a blocat, asa că defectiunea a fost minoră, probabil o defectiune a circuitelor logice. Sistemul de comandă

si telemetrie s-au dovedit a fi foarte robuste, si ele vor fi folosite ca atare si pe P3D.

Incepul sfarsitului.

Datorita atractiei diferențiale a soarelui si a lunii, excentricitatea orbitei lui Oscar-13 a inceput sa creasca la inceputul anului 1994, reducandu-se astfel inaltimea la perigeu. La sfarsitul anului 1996, frecarea atmosferica a inceput sa-i scada energia cinetica, iar la inceputul lui decembrie 1996, satelitul a reintrat in atmosfera, dupa ce se defectase cu doua saptamani inainte, datorita incalzirii excesive. Incalzirea atmosferica a fost sesizata pentru prima data pe 7 octombrie, cand telemetria a aratat la perigeu o incalzire brusca cu 5°C la unul dintre panourile solare. A fost pentru prima data cand fenomenul de incalzire la perigeu datorata frecarii atmosferice a fost sesizat la un satelit de radioamatori. Pe la data de 21 noiembrie, la fiecare trecere la perigeu temperatura depasea limita de 79°C a senzorilor.

Ultimile orbite

La perigeul 6478/79, pe data de 23 noiembrie 1996, la ora 11:40 UTC, panoul solar nr. 3 a inceput sa mai functioneze, datorita incalzirii excesive. La perigeul 6479/80, 23 noiembrie 1996, la ora 20:09 UTC, panourile solare nr. 1,2,4,6 au inceput si ele sa mai functioneze, lasand numai panoul nr. 5 operational. La ora 23:14 UTC, transponderele au fost operte, orbita continuand numai cu baliza de telemetrie. AO-13 a supravietuit perigeului 6480/81, 24 noiembrie 1996, 04:323 UTC, altitudine la perigeu 107 km. Voltajul bateriei era de 11,8V, mult mai scazut decat cel normal de 14,5V. Computerul de bord si sistemele aditionale, stabilizate la 10V, au continuat sa functioneze. Orbita 6481 a continuat sa fie monitorizata, dar un singur panou solar nu a mai fost suficient sa tina sistemul in functiune, iar sistemul a inceput sa mai transmita pe data de 24 noiembrie 1996, la ora 5:38 UTC.

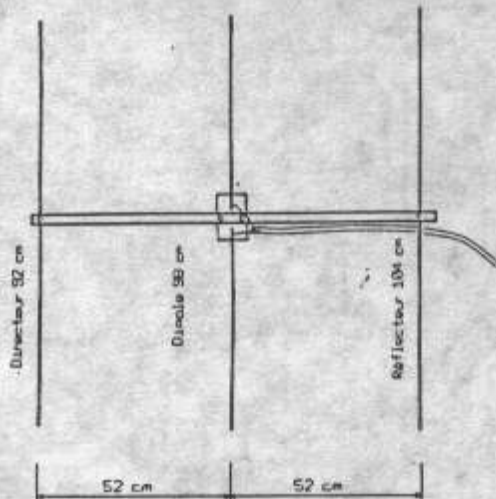
Reintrarea in atmosfera

Reintrarea a avut loc pe data de 5 decembrie 1996, intre orele 08:54-09:00 UTC, deasupra SUA, din zona Denver, Colorado pana in zona Marilor Lacuri.

ANTENA pentru 2m

Descriem o antena Yagi simplă cu 3 elemente destinată traficului pe repetoare în banda de 2m.

Calculul elementelor se face astfel: $\lambda = 300 / 145 \text{ MHz} = 2,068 \text{ m}$. Lungimea dipol = $0,95 \times \lambda / 2 = 0,98 \text{ m}$. Lungime reflector = $1,06 \times \text{lungime dipol} = 1,04 \text{ m}$. Lungime director = $0,94 \times \text{Lungime dipol} = 0,92 \text{ m}$. Pentru o bună directivitate elementele se vor plasa la $0,25\lambda$ de dipol, adică la 0,52 m. Elementele se realizează din ţeavă de Cu sau Al cu diametrul de 6-8mm.



Stiri

A 40-a aniversare a primului satelit meteorologic.

Data de 1 aprilie 2000 a marcat 40 de ani de la lansarea primului satelit meteorologic, numit TIROS, abreviere de la Television Infrared Observation Satellite. Satelitul, cu o orbita polară, a fost lansat de la Cape Canaveral pe data de 1 aprilie 1960, și a demonstrat avantajul observării straturilor de nori de la mare altitudine. TIROS a arătat de asemenea norii grupați în benzi și aglomerări neasteptate, și a deschis o nouă eră în meteorologie.

MIR este din nou locuită

Cosmonautii Sergei Zalotin și Alexandr Kaleri au ajuns pe MIR după lansarea de pe cosmodromul Baikonur din 4 aprilie 2000. Activitățile de radioamatorism de pe MIR au fost reluate, deocamdată limitat. S-au receptionat fotografii transmise în SSTV, și au avut loc câteva QSO-uri pe frecvența de 145,985 MHz, în orele de dimineață.

Modulul Interim al ISS se apropie de finalizare

Oficiali NASA relatează că modulul va fi gata să fie lansat în cursul anului, dacă lansarea modulului rusesc de serviciu Zveda va fi din nou amânată. La ora actuală, lansarea modulului Zveda, amânată de peste 2 ani, e programată în luna iulie. Modulul, care va transporta 5,5 tone de combustibil, este proiectat să tina celelalte 2 module ale stației pe orbită, dacă rușii nu respectă programul de lansare al modulului Zveda. Dupa ce va trece teste de structură, modulul Interim va fi pregătit pentru transportul la Centrul Spatial Kennedy, pentru o posibila lansare în luna decembrie. Dacă va fi lansat în decembrie, modulul nu va suplini modulul Zveda, pentru că nu are zone locuibile, dar va tine stația pe orbită, asteptând fie lansarea modulului Zveda, fie a altui înlocuitor. Dacă Zveda va fi lansat în iulie, modulul american va fi lansat oricum anul viitor.

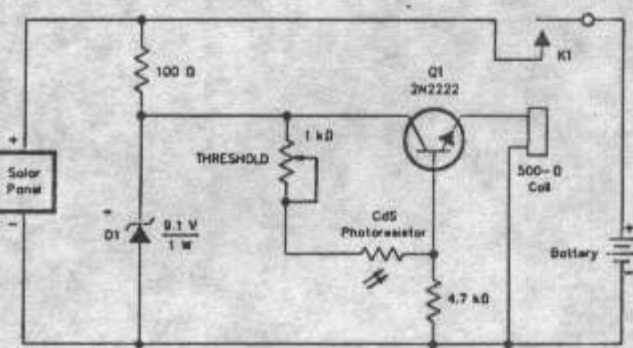
QRM între KO-25 și UO-14

Satelitii KO-25 și UO-14 au din nou orbite aproape identice, și, întrucât au frecvențe de uplink aproape identice (145,980/145,975 MHz), sunt de așteptat interferențe la uplink între cei doi sateliți, până când se vor distanța pe orbită.

COMUTATOR PENTRU PANOURI SOLARE

Panourile solare se pot conecta la o baterie tampon prin intermediul unor diode care să se blocheze atunci când lumina solară scade, dar acest procedeu datorită căderilor de tensiune pe aceste diode, conduce la scăderea randamentului instalației.

O metodă mai simplă este ceea redată în figură, unde bateria este conectată la panoul solar prin intermediul contactelor asigurate de un releu, care la rândul său este comandat de tranzistorul Q1. Cât timp lumina este puternică fotorezistența CdS are o valoare redusă și tranzistorul este saturat. Pragul de comutare se reglează prin semireglabilul de 1K. Valoarea acestuia depinde de tipul fotorezistenței utilizate.



RECEPTOR MF pentru banda de 2m

Utilizarea circuitului MC 3362 permite realizarea simplă a unui receptor performant, cu dubla schimbare de frecvență, destinat celor ce folosesc emisiuni cu modulație de frecvență în banda de 2m.

Schela bloc a circuitului MC 3362 se prezintă în Fig.1 și

Fig.2.

Dintre parametrii acestui circuit mentionam

- functionare până la 200 MHz cu oscilator intern și până la 450 MHz cu oscilator exterior.
- Alimentare cu o singură tensiune (2 - 7 V).
- Consum redus (tipic 3 mA pentru tensiunea de alimentare de 2 V).

- Ambele oscilatoare interne au și ieșiri ce permit masurarea directă a frecvențelor generate.

- Amplificatoare FI cu limitatoare și etaj de detectie în cuadratura.
- Circuit de detectie a purtătoarei ce poate fi folosit și ca S-metru (RSSI - received Signal Strength Indicator).

- Comparatoare ce poate fi folosit ca detector FSK.

Schela de principiu se prezintă în Fig.3.

Semnalele de la antena trec prin FTB și ajung la ARF-ul realizat cu BF 981, care are drept sarcină un alt FTB. Se asigura astfel o buna atenuare a frecvențelor nedorite.

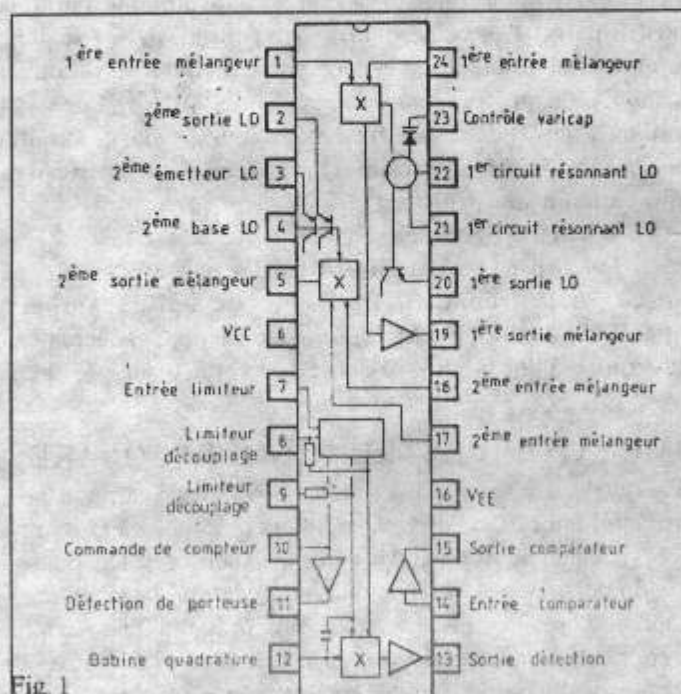


Fig.1

Oscilatorul local este realizat cu L6-C18, frecvența acestuia modificându-se grosier din P4 și fin din P3. Capetele de banda se stabilesc prin încercări ajustând valorile semireglabilelor P2 și P5 care stabilesc tensiunile din divizor. Filtrul de 10,7 MHz folosit în montajele originale este ceramic, iar valorile impedanțelor de intrare ieșire sunt de cca 330 ohmi. Se poate utiliza însă și filtre cu cristale de quart. ZEPE - Bulgaria, dar în acest caz se vor face câteva modificări, adică se mai introduce un etaj amplificator după filtru pentru compensarea atenuării de inserție.

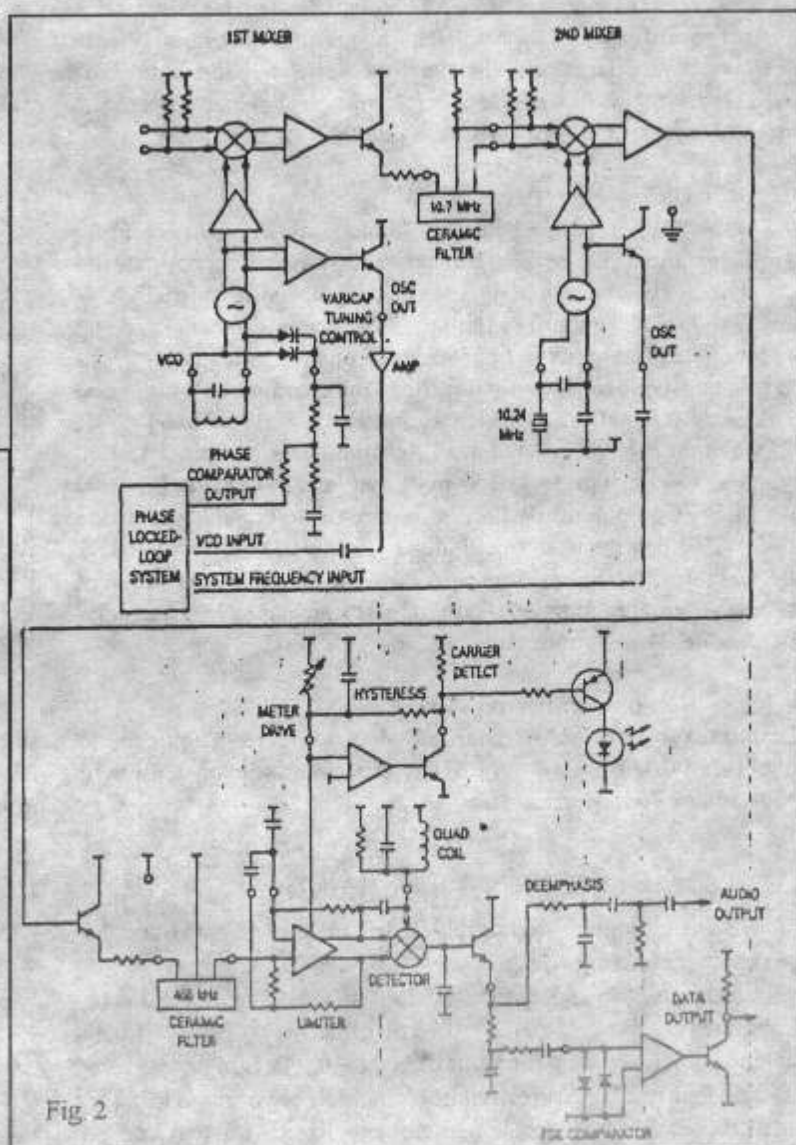
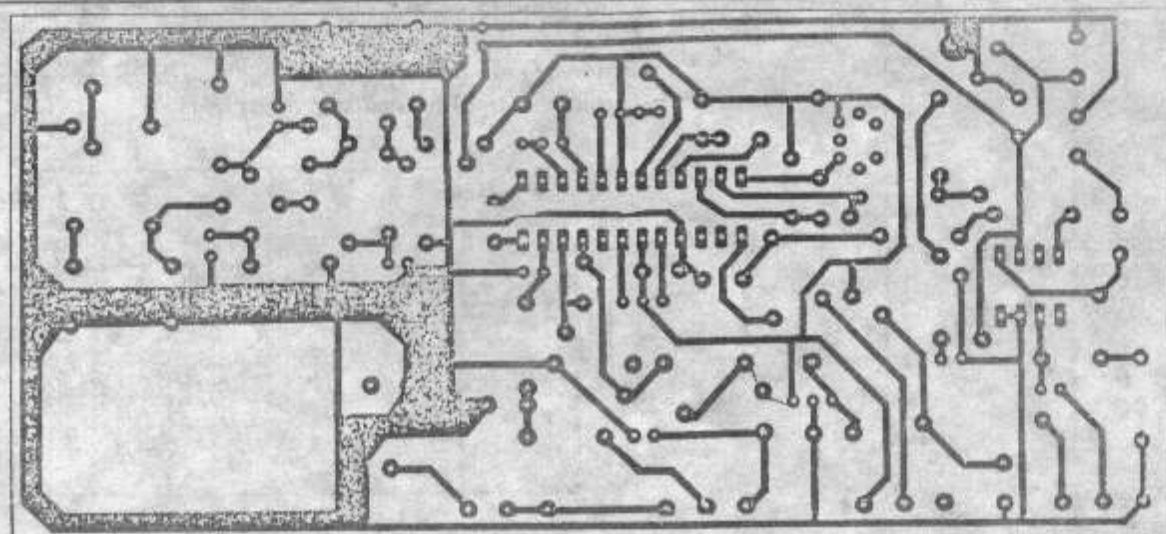


Fig.2



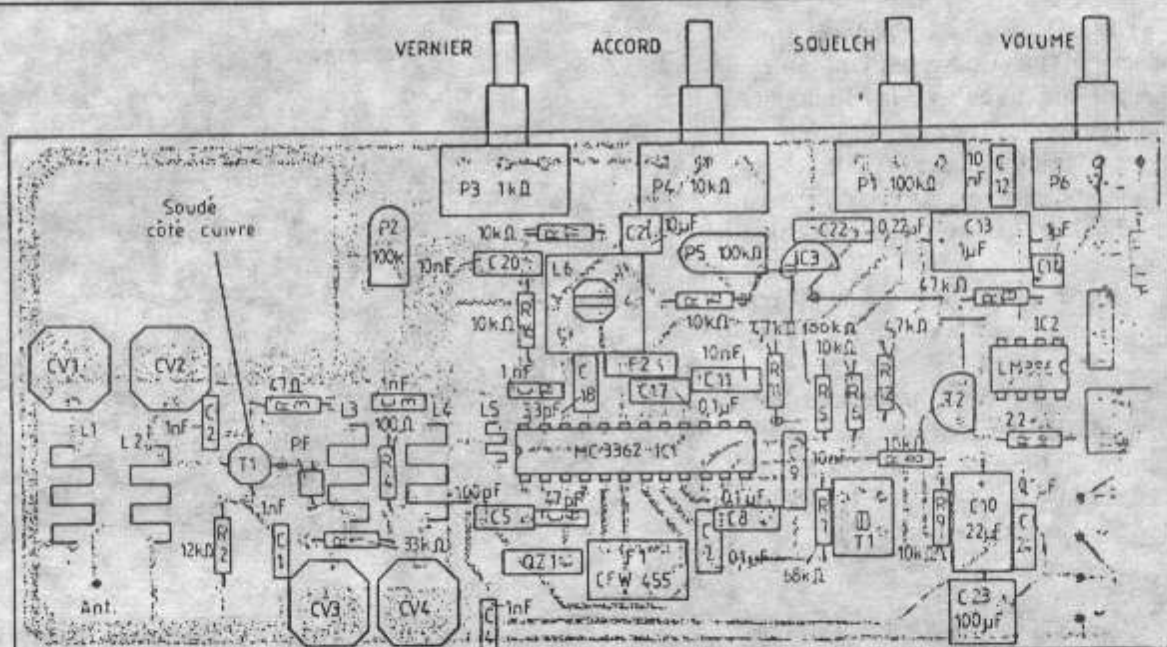
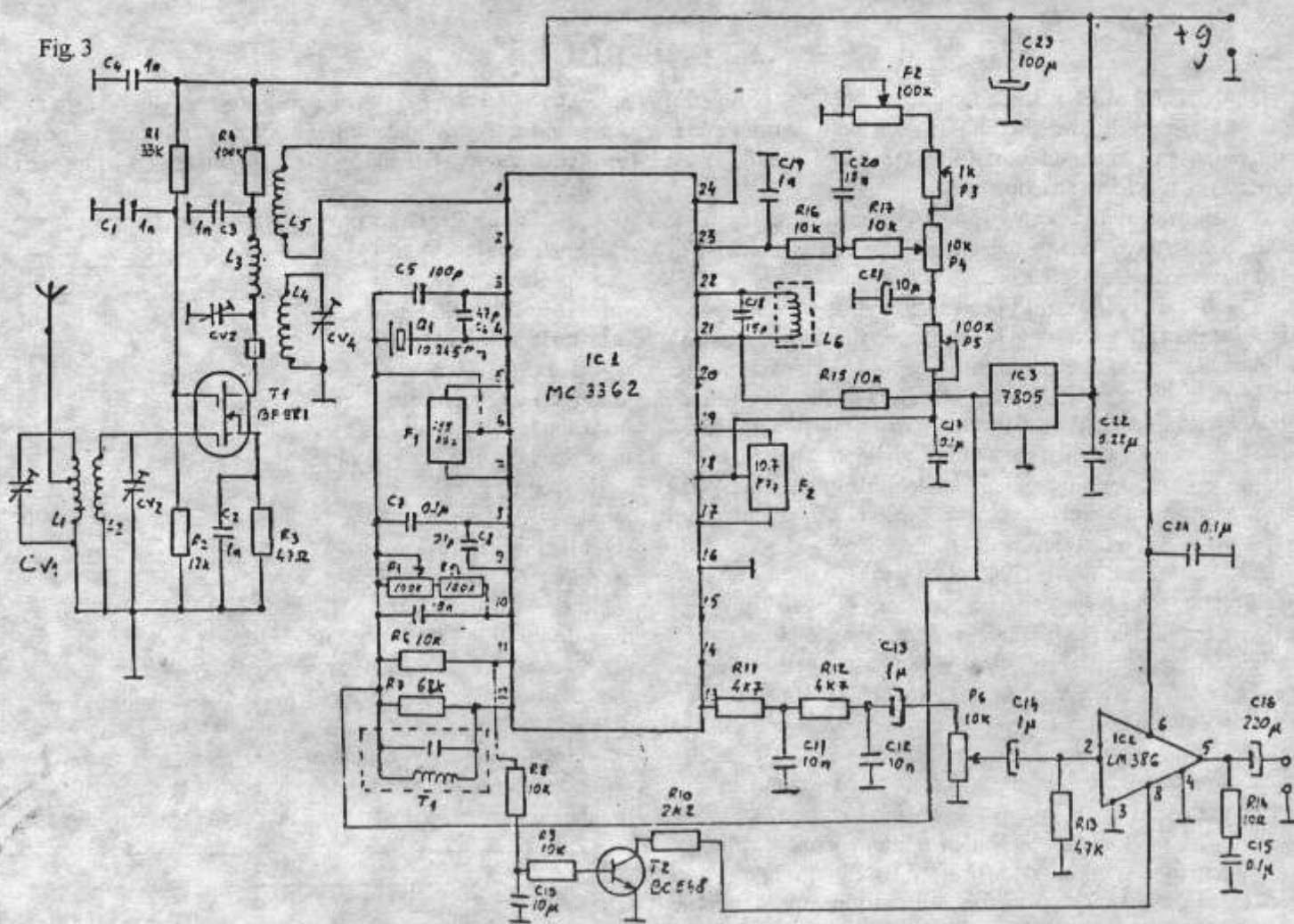


Fig. 5



Dupa amplificare seminalele de 10,7 MHz ajung la al doilea mixer, unde prin amestecare cu 10,245 MHz rezulta a doua frecventa intermediara de 455 kHz, care este filtrata si aplicata limitatorului si detectorului.

Semnalele de JF preluate de la pinul 13 trec printr-un FTJ tip RC si sunt apoi amplificate cu LM 386. Functia de Squelch este asigurata prin T2.

Cablagul imprimat (145 x 67 mm) se arata in Fig. 4. S-a folosit steclotextolit dublu placat, fata cu componente fiind folosita drept plan de masa si fiind sanfrenata in jurul gaurilor de trecere a

picioarelor componentelor cu vîrful unui burghiu de 4 mm.

Grosimea placii de steclotextolit este de 1,6 mm.

Dispunerea componentelor se arata in Fig. 5. ARF se va ecrana folosind o cutiuta din tabla compartimentata si prevazuta cu orificii pentru reglarea trimerilor.

Vederea montajului (fara ecran) se arata in Fig. 6. Datorita amplificarilor mari ale circuitului integrat pot apare autooscilatii. De aceea se vor folosi componente de calitate si cu terminale scurte.

Auditia se face intr-un difuzor de 8 ohmi.

Bobine

L1 - L2 - L3 - L4 au câte 5 spire, bobinate în aer ($F = 6$ mm), conductor 0,7 mm Cu Ag, pas 1 mm.

S-au realizat variante cu priza la L1 (la spira 1), dar și variante în care antena este cuplată prinț-un link de 0,7 spire, introdus între spirele 1 și 2 de la L1.

L5 - 2 spire același conductor și diametru ca L4, fiind de fapt bobinată printre spirele acestuia (spirele 1 - 2 și 2-3).

L6 - 3,5 spire conductor CuAg 0,7 mm cu pas 0,5 mm bobinată pe carcasa de 4mm cu miez violet - pentru UUS.

T1 - transformator de FI pentru receptoare de UM.

F1 - CFW 455. Evident că se poate folosi și o sinteză externă, semnalele fiind aplicate la pinii 21 - 22, iar pinul 23 se va decupla la masa cu 10 nF. Rezistența R15 și divizorul potențiometric se elimină.

Bibliografie:

Le Haut Parleur nr 1806

AN 980 Application Note Motorola

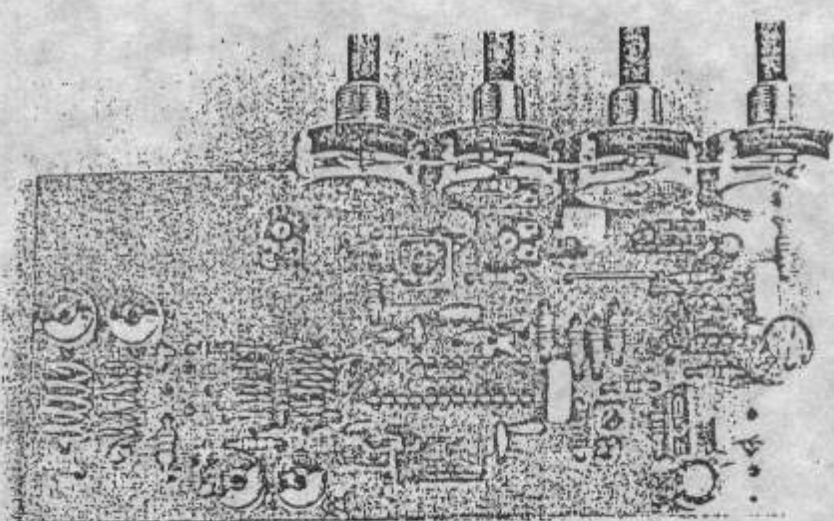


Fig. 6

YO3GXC - Doru

ANTENE BUCLĂ

Există multe antene de formă unei bucle cu perimetru cca. $\lambda\lambda$. Cu forme de triunghi (numite delta loop), patrat cu două laturi paralele cu pământul (numite quad) și patrat cu o diagonală verticală (numite diamond loop).

Antenele buclă pot avea și laturi inegale. Triunghiul poate fi isoscel sau chiar cu laturile inegale; bucla poate avea mai mult de 4 laturi sau poate fi un cerc.

Bucla cu perimetrul λ poate fi element activ (vibrator) sau pasiv. Pentru a alimenta bucla se întrerupe oriunde și se excita în tensiune sau curent. Ca element pasiv bucla este închisă și curentul din ea depinde de inducția produsă de altă buclă sau alt tip de vibrator și impedanța proprie. Pentru a explica funcționarea buclei ea trebuie considerată ca o combinație de dipoli. Modelul buclei patrate să considerăm mai întâi modelul pentru bucla patrată activă (excitată). Modelul începe cu doi dipoli în $\lambda/2$, excitați, așași în spațiu liber (vezi fig. 1).

Dacă dipoli sunt excitați (în xx și yy) cu tensiuni egale și în fază, curentii din ei vor fi egali iar tensiunile la capetele lor vor fi egale. De acea dipolii pot fi frânji la $\lambda/8$ de capete și rabatați după linii întrerupte, formând un patrat. Tensiunile la capete fiind egale, acestea se pot uni, fără a se produce modificări ale curentilor. Deoarece la ambi dipoli există aceeași relație între tensiunea la capete și curentul din centru, conectarea împreună a capelor asigură curenti egali la centrul dipolilor chiar dacă tensiunile aplicate în xx și yy nu sunt egale.

Mai mult decât atât, putem elimina excitarea din yy, scurcircuitând yy și excitând doar în xx, curentii în dipoli vor fi egali. Dipolul xx va excita dipolul yy prin tensiunea de la capetele

sale. Dar observăm că pentru a avea aceeași curenti prin dipoli suma tensiunilor aplicate inițial la xx și yy trebuie să fie aceeași. Scurcircuitarea va fi dublă față de cazul când xx și yy sunt excitați separat.

Figura 2 arată bucla patrată excitată. În centrul laturii de jos precum și direcțiile și mărimele relative ale curentilor. Observați că în laturile orizontale curentii curg în aceeași direcție (și au valori mari) ceea ce asigură radiația câmpului (electromagnetic) la distanțe mari. Deoarece ele sunt mai scurte decât dipolii inițiali în $\lambda/2$ și e nevoie de curenti mai mari pentru a produce același câmp, rezistența de radiație va scădea. În plus directivitatea și câstigul acestor laturi sunt mai mici la dipoli în $\lambda/2$ inițiali. Ambele efecte vor fi analizate pe scurt. Laturile verticale ale patratului sunt cu totul diferite. Observăm că prin ele trec curenti egali dar de sens contrar, și câmpurile radiate se anulează reciproc la distanțe mari. Cu alte cuvinte laturile

Fig. 1

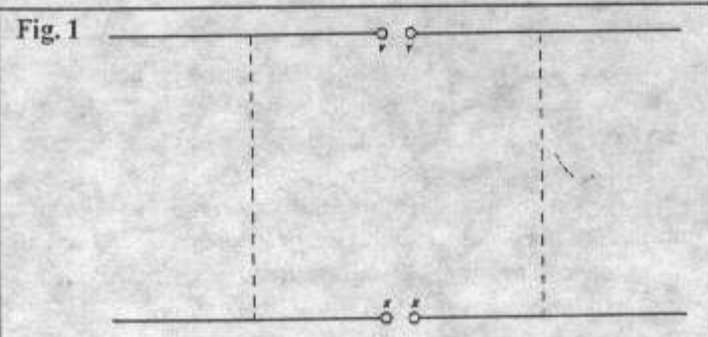
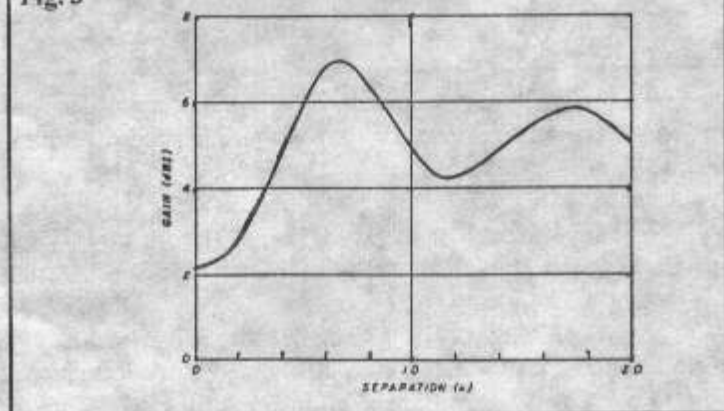


Fig. 3



Tab. 1

Distanță (λ)	Câștig (dB)
0	2,15
0,125	2,43
0,25	3,24
0,375	4,51
0,5	5,98
0,625	6,94
0,75	6,76
0,875	5,83
1	4,93
1,25	4,37
1,5	5,28
1,75	5,84
2	5,1

Tab. 2

Lungimea (λ)	R [Ω]	Câștigul (dB)
0,05	2	1,77
0,1	7,6	1,79
0,15	16,3	1,82
0,2	27	1,87
0,25	38,5	1,92
0,3	49,8	1,98
0,35	59,6	2,04
0,4	67,0	2,09
0,45	71,6	2,13
0,5	73,1	2,15

verticale nu radiază. Ele lucrează doar ca elemente de prelungire ale laturilor orizontale, sau ca sarcini terminale capacitive. De aceea proprietățile de radiație ale pătratului sunt identice cu cele ale laturilor orizontale. Ele vor produce desigur doar o radiație cu polarizare orizontală.

Să privim iar fig. 1. Cei doi dipoli distanțați la $\lambda/4$ dau un câștig mai mare decât un singur dipol. Acest câștig însumat se poate calcula ușor pe baza impedanțelor proprii și mutuale. Rezultatul se dă în tabelul 1 și în fig. 3 unde câștigul total este în funcție de distanța dintre dipoli. Observăm că mărirea câștigului are un maxim pentru distanță de cca $5\lambda/8$ între dipoli, care este distanța optimă, dar numai pentru acest caz.

Bucla pătrată este similară cu doi dipoli așați la distanță $\lambda/4$, cu două diferențe importante. Dipolii scurtați au impedanțe mai mici, iar diagrama în plan vertical se largeste ceea ce reduce puțin câștigul.

Rezistența de radiație și câștigul dipolului scurtat se dau în tabelul 2.

Rezistența de radiație a buclei pătrate este $120,4\Omega$. Diagrama de radiație în plan orizontal este mai îngustă decât dipolul unic.

Alte antene buclă

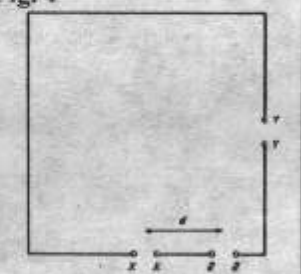
În primul rând să determinăm performanțele buclei pătrate alimentată în alt loc decât centrul laturii orizontale.

În figura 4 antena buclă pătrată are trei puncte de alimentare. S-a arătat că aplicând excitarea în xx (cu yy și zz scurtcircuitate), antena va produce la distanță un câmp polarizat orizontal și câștigul ei este $2,99\text{dB}$. Similar dacă excitarea în xx (cu yy și zz scurtcircuitate), antena va produce la distanță un câmp polarizat orizontal și câștigul ei este $2,99\text{dB}$. Similar dacă excitarea se aplică la yy (cu xx și zz în scurt), antena va produce la distanță un câmp polarizat vertical, câștigul fiind iarăși $2,99\text{dB}$.

Excitând antena în zz (cu xx și yy în scurt) câmpul radiat va avea o componentă orizontală (mai mare) și o componentă verticală (mai mică), perpendiculară între ele, care dau o rezultantă (inclinată la unghi mai mic de 45°). Dacă zz se află în colțul din dreapta, polarizarea undei are 45°). Câștigul antenei și impedanța sunt total independente de poziția punctului de excitare. Doar polarizarea variază. Excitând în xx polarizarea este orizontală, în yy este verticală, iar deplasând punctele zz, polarizarea are diferite valori de inclinare.

Aceste concluzii se aplică tuturor antenelor buclă cu perimetru λ și un număr oarecare de laturi egale între ele. Antena quad cu două laturi orizontale și quadul așezat cu o diagonală verticală, numit quad diamond, au exact aceeași impedanță și același câștig.

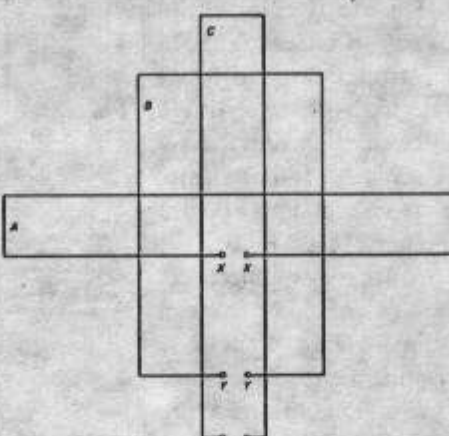
Fig. 4



Să revenim la quad-ul din fig. 2. S-a arătat că el are câștigul cu $0,84\text{dB}$ mai mare decât dipolul liniar în $\lambda/2$ (care are $2,15\text{dB}$).

În fig. 5 bucla este deformată de la forma de pătrat la dreptunghi cu diferite raporturi între latura orizontală și cea verticală: Dreptunghiul A este o buclă dipol îndoit (yagi-uda); B este mai înalt și mai îngust decât un quad, iar C este foarte înalt, dar foarte îngust. Toate au perimetru λ . În tabelul 3 se dă câștigul și impedanța buclelor dreptunghiulare în funcție de lățime și înălțime

Fig. 5



exprimate în λ .

Lățimea (λ)	Inălțimea (λ)	Câștigul (dB)	Z (Ω)
0,05	0,45	4,93	3,8
0,1	0,40	4,38	16,7
0,15	0,35	3,86	40,8
0,20	0,30	3,39	76,0
0,25	0,25	2,99	120,5
0,30	0,20	2,67	169,8
0,35	0,15	2,43	217,7
0,40	0,10	2,27	257,5
0,45	0,05	2,18	283,6
0,5	0,00	2,15	292,5

Dipolul îndoit este cazul limită, are câștigul $2,15\text{dB}$ și impedanța $292,5\Omega$, exact de 4 ori mai mare față de dipolul liniar în $\lambda/2$ (care are același câștig $2,15\text{dB}$). Deoarece efectul reactanțelor la bucle este dublu, factorul Q la dipolul îndoit va fi jumătate Q-ului dipolului liniar în $\lambda/2$, ceea ce înseamnă o bandă de trecere (la dipolul îndoit) de 2 ori mai largă. Reducând lățimea buclei (vezi tabelul de mai sus), câștigul crește iar impedanța scade. Din păcate în același timp crește Q-ul și se îngustează banda detrecere.

Să examinăm acum bucle de alte forme. Dacă sunt figuri echilaterale, câștigul și impedanța sunt aceleași, oriunde am aplica excitarea. Câștigul acestor bucle diferă puțin între ele și este proporțional cu aria închisă de buclă. În tabelul 5 se dă parametri cătorva antene buclă cu laturi egale. Este evident că antena în formă de triunghi are câștig mai mic cu $0,3\text{dB}$ față de quad sau diamond și că cel mai mare câștig îl are cercul. Câștigul antenei cerc este cca 1,13 mai mare decât câștigul dipolului liniar în $\lambda/2$ (care are $2,15\text{dB}$).

(Antenele buclă montate orizontal au impedanță cu atât mai mică față de valorile din tabel cu căt sunt mai apropiate de pământ și alte construcții).

Tab. 4 - Bucle echilaterale

Tipul	laturi	Câștigul (dB)	Z (Ω)
Triunghi	3	2,70	104,7
Pătrat	4	2,99	120,5
Pentagon	5	3,10	126,4
Hexagon	6	3,16	129,3
Octogon	8	3,22	132,0
Cerc		3,28	135,3

Lesovici Dumitru - YO4BBH

YO4BBH cumpără documentație referitoare la teoria și practica antenelor. Tel. 040-519749 sau 040-519460

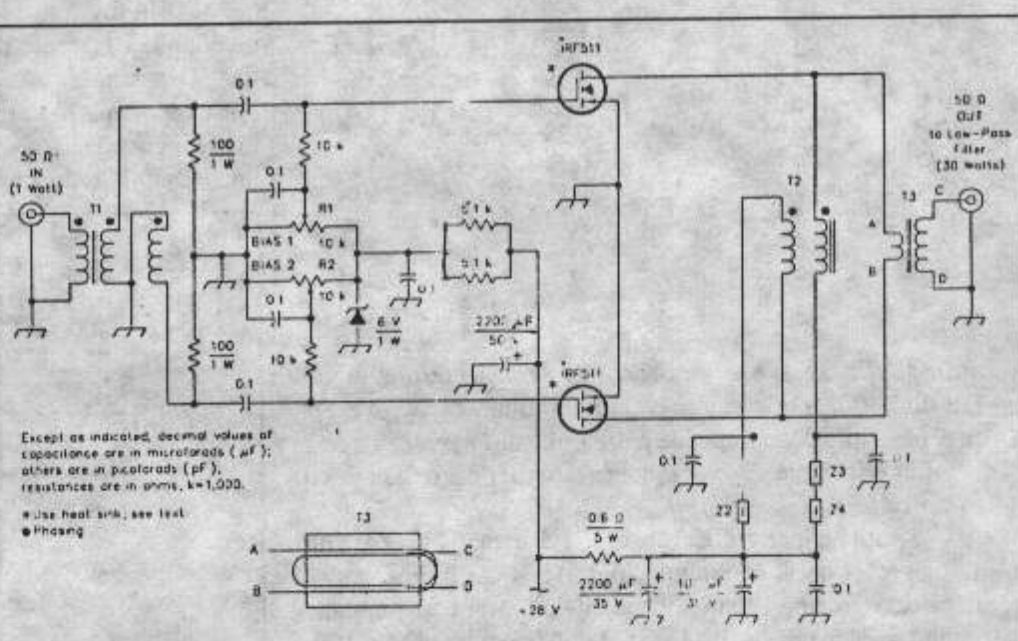
AMPLIFICATOR DE PUTERE

Schema este clasică și descrie un etaj de putere, realizat cu tranzistoarele MOSFET tip IRF 511. Cu o excitație de 1W se poate obține la ieșire în banda de 80m) o putere de cca 30W. Pentru a se asigura răcirea, tranzistoarele se vor monta pe un radiator, care poate fi chiar șasiul montajului, dacă se asigură izolare electrică. Întrucât tensiunile de deschidere ale tranzistoarelor diferă mult de la exemplar la exemplar s-a ales circuite separate de polarizare, ceea ce permite un reglaj ușor pentru lucru în regim liniar (clasă B sau AB).

Pentru aceasta se conectează la ieșire o sarcină de 50 ohmi, iar în circuitul de alimentare al drenelor se introduce un ampermetru. Se reglează R1 și R2 până la lioita în care apare curent de drenă. Dacă se preferă clasa AB atunci se fixează cu R1 să zicem 10 mA, iar cu R2 se caută dublarea acestuia (de ex. 20 mA). Autorul - WJ1Z recomandă că tensiunea de polarizare a grilelor să nu depășească 3,5 V. S-a lăsat excelent cu o tensiune de cca 2,5 V. Stabilitatea este bună. Impedanța de intrare este cca 200 ohmi.

Amplificatorul se poate folosi și la frecvențe mai mari dar randamentul scade mult. De ex. la 14 MHz s-au obținut la ieșire numai 10W.

T1 - 12 spire trifilar CuEm 0,4 mm, pe un tor de ferită tip



FT-50-43 (Amidon) sau F-50-43 (Palomar);

T2 - 12 spire bifilar CuEm 0,64 mm, pe două toruri alăturate tip FT - 50 - 43.

T3 - realizat ca în figură folosind conductor izolat cu plastic (diametru = 1 mm) pe un miez tip BN - 43 - 7051 (Amidon). Primarul (AB) conține 2 spire, iar secundarul (CD) 3 spire.

Z1 - Z4 sunt perle de ferită ce ajută la decuplarea alimentării de 28V. Se pot folosi perle tip FB-43-801 sau FB-8-43 de la Amidion respectiv Palomar.

PROIECTAREA CIRCUITELOR OSCILANTE ACORDABILE

Numărul de subgame

Cu un condensator variabil, raportul de acoperire al gamei de frecvență ($k = f_{\max}/f_{\min}$) este maximum 3. În cazul când $f_{\max} \gg f_{\min}$ și $k > 3$, se procedează la o împărțire în subgame de acord, schimbând (comutând) bobina de acord. Numărul de subgame necesar se calculează cu relația :

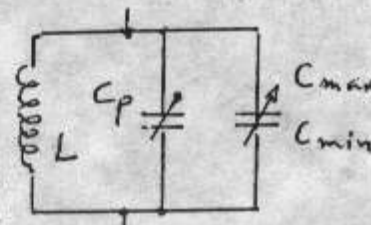
$$n = \log(f_{\max}/f_{\min})/\log(f_M/f_m)$$



Condensatorul de padding

Este un condensator cu capacitatea fixă sau semireglabilă (trimer) care se conectează în paralel cu condensatorul variabil pentru a folosi exact tot unghiul de rotație al acestuia, în scopul acordului pe o anumită frecvență. Valoarea maximă a capacitatii acestuia (C_p) se deduce din relația :

$$K = \frac{f_M}{f_m} = \sqrt{\frac{C_{\max} + C_p}{C_{\min} + C_p}}$$



În tabelul 1 se dau câteva exemple pentru reținerea opriințelor de mărime :

f	<1500 kHz	1,5 - 6 MHz	6 - 30 MHz	>30 MHz
k	<3,2	<2,7	*	<2,2
C_{\max}	<550	<250	<120	<50
C_{\min}	12-50	8-12	6-10	3-7
C_p	25-450	12-25	8-15	5-10

Circuite oscilante cu monoreglaj

În cadrul unui radioreceptor superheterodină circuitul oscilant de intrare trebuie să fie acordat pe frecvența semnalului recepțional (f_s), simultan cu circuitul oscilant al heterodinei pe frecvență, astfel încât în permanentă :

$$f_h - f_s = f_i \text{ aproximativ constantă}$$

Această aliniere nu este posibilă în toată gama, ci exact numai în 2-3 puncte. În rest, se urmărește ca erorile de aliniere să fie minime. În Tabelul 2 s-au calculat frecvențele capete de scală pentru heterodină în cazul unei frecvențe intermedii $f_i = 465$ kHz.

Tabel 2

	Circuit de intrare			Circuitul heterodinei		
	L	M	S	L	M	S
f_{\max}	415	1600	12100	880	2065	12565
f_{\min}	150	520	3950	615	985	4415
k	2,77	3,08	3,07	1,43	2,1	2,84

Calculul inductanței

Inductanța L a unui circuit oscilant acordabil se calculează la frecvența minimă a gamei de acoperit, cu relația:

$$L = 1/[(2\pi f_m)^2 (C_{\max} + C_{\min})]$$

În Tabelul 3 se prezintă valorile necesare pentru L , cunoscând C_{\max} și C_{\min} (deci și C_p), pentru diferite subgame de acord a frecvenței.

Tabel 3

Banda de frecvențe	C[pF]	L[μH]
	min	max
1,75 - 3,9	20	100 83
1,75 - 4,8	20	150 55
1,75 - 6,2	20	250 33
3,5 - 5,5	20	50 41
3,5 - 7,8	20	100 20,3
3,5 - 9,6	20	150 14
3,5 - 11	20	200 10,3
7 - 11	20	50 10,2
7 - 15,6	20	100 5,2
7 - 19	20	150 3,4
7-22	20	200 2,6
14-22	20	50 2,6
14 - 31	20	100 1,3
14 - 38	20	150 0,86
14 - 44	20	200 0,65
28 - 45	20	50 0,65
28 - 63	20	100 0,32
28 - 77	20	150 0,22
50 - 61	10	15 0,7
50 - 79	10	25 0,4
50 - 80	20	50 0,2
150 - 185	5	7,5 1,15
150 - 212	5	10 0,12
YO3FGL		

<http://www.qsl.net/yo3kaa/yocall.htm> este call book-ul YO unde se pot gasi adresele radioamatorilor din Romania alaturi de adresa se pot prezenta si imaginea fiecarui radioamator. In acest scop se doresc sa se primeasca imagini ale Dvs. sub forma fizica (fotografie) trimisa la YO3FWC via YO3KAA/CP 22-50/Bucuresti 22 sau sub forma de fisier jpg scanat la maxim 30-40 kb. prin internet la yo3fwc@qsl.net

Se recomanda sa se noteze indicativ celei care trimitte ori pe spatele fotografiei, fie atasat la imaginea scanata.

Se solicita deasemenea ca cei care obtin autorizatii noi sau isi schimba adresa sa le comunice la yo3fwc@qsl.net sau la YO3JW la fs@fs.ro pentru mentionarea listei la zi.

73 Pit YO3JW

DXCC NEWS

RELEASE April 10, 2000

The ARRL DX Advisory Committee (DXAC) has voted unanimously to add The Chesterfield Islands of New Caledonia to the DXCC List. For DXCC credit, contacts made on or after March 23, 2000 will be accepted. Cards for this new entity may be submitted after October 1, 2000.

CLIPPERTON

Teritoriu în Pacificul Central - 1,6 km² (7,2 km² împreună cu laguna)

Este un atol aflat la 10 grade 17' lat. N si 109 grade 13' long. V, la 1125 km V de ţărmul Mexicului și la 2300 km de Guatemala. Climă tropicală, cu temperaturi medii anuale ridicate (22-30 grade C). Precipitații abundente adesea însoțite de tornade. Insula descoperită la începutul secolului 18 de către piratul englez John Clipperton, a fost anexată Franței în 1858. SUA protestează. Mexicul susține că insula a fost descoperită inițial de navigatorii spanioli, că numele său este Passion Is. și prin urmare ocupă insula în 1897. Disputa dintre Mexic și Franța continuă până în 1920. Vaticanul este chemat să arbitreze conflictul. Este delegat regele Victor Emanuel II să rezolve situația. După un an de dezbateri insula este acordată Franței în 1930 și va fi atașată administrativ în 1931 de Polinezia Franceză.

Președintele SUA Franklin D. Roosevelt vizitează insula de două ori în timpul războiului. De fapt aici americanii au instalat o stație meteorologică strict secretă. Insula era denumită - Island X. Roosevelt credea că insula are o mare valoare strategică și autorizează construirea unor baze militare și a unui aeroport. Când francezii află aceasta devin foarte ... furioși. În 1968 NASA investește 2 milioane de \$ în realizarea de amenajări pe insulă, dar apoi abandonează proiectele.

"Clipperton is no picnic". Sub acest titlu revista americană CQ publică în iunie 1954 un articol semnal de W6CAE despre dificultățile organizării unei expediții în Clipperton.

Prima expediție în această insulă a avut loc între 23 și 26 aprilie 1954 și a fost organizată de Bob - VP2VI/W0DX (ex. W0NWX), împreună cu Leo - W0NUC și Gene - W0VDQ. S-a pornit din Alcapulco la sfârșitul lunii martie, dar tentativa de a atinge insula eşuează, datorită unei erori de sextant. După câteva zile de căutări nava revine la Alcapulco. Unii radioamatori francezi anunță QSO-uri cu expediția de ... 1 aprilie. Hh! Inițial s-a ajuns la insulă pe 10 aprilie. Se pornește o furtună care-i deplasează cca 50 mile spre NW. Timp de 8 zile urmează o luptă penibilă și infructuoasă împotriva vântului și curenților. FO8AJ-MM a fost activ dar nu de pe ... Clipperton. Un petrolier mexican îi remordează și astfel ajunge pe insulă pe 22 aprilie. În 23 aprilie primul QSO se face cu W6DI în fonie pe 20m. Se fac QSO-uri și în CW, dar pe 24 se defectează generatorul, care va fi înlocuit cu cel de pe vas. Au fost realizate 1108 QSO-uri din W, 3 stații africane, nici un asiatic și numai un european (OK1MB). S-a utilizat aparatură Hallicrafters.

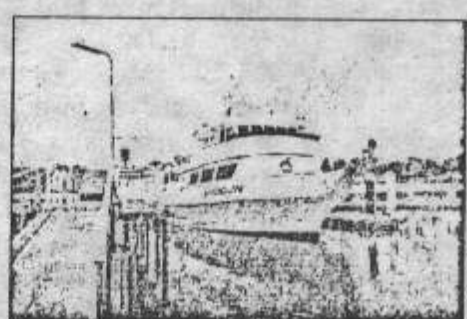
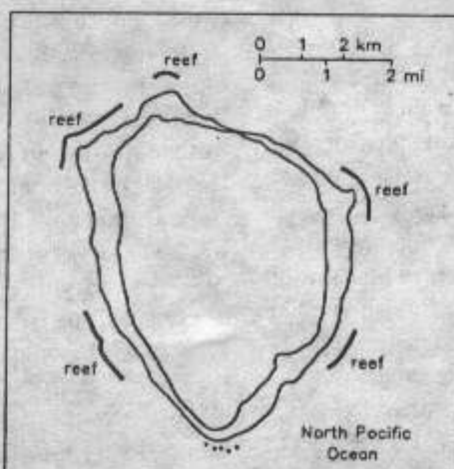
Dannz - VP2VB atinge insula în 1956 ca FO8AN.

A doua expediție realizată de San Diego DX Club între 9 și 23 august 1958, în cadrul "Anului Geofizic Internațional". W6ZVQ a obținut autorizația de a debarma și de a lucra de pe insulă. Echipa compusă din 11 bărbați și o femeie, între care 3 operatori radio, a plecat din San Diego la bordul lui Spencer F. Baird la 1 august. S-a ajuns la Clipperton pe 7 august. Condițiile meteo fac imposibilă începerea traficului cu FO8AT. Echipamentul era compus dintr-un mic KWM (Collins) și 2 antene. FO8AT a lucrat numai în 14 și 21 MHz. Pile-up îngrozitor, după cum va scrie F3NB în Radio REF, care a fost primul și se pare singurul francez ce a lucrat expediția.

Vor mai trece 20 de ani până la expediția FO0XA - FO0XH din 20 - 28 martie 1978. Expediția prezinta atât interes științific cât și ... politic. Revendicată de diferite țări, Clipperton este totuși teritoriu ... francez din 1931.

Echipa din 1978 a fost compusă din F5II, F6AOI, F6AQO, F6ARC, F6BBJ, F9IE, F9JS, HB9AHL, WA4WME, N6IC, W6HVN, W6QKI, W6SO și WA9INK. S-a plecat tot din San Diego cu 2 tone de echipamente (8 transceiver Atlas 350XL și 3 amplificatoare MLA 2500 Dentron). Costul - cca 350.000 franci. S-au făcut 29.069 QSO-uri. În log s-au regăsit și 178 francezi în CW și 616 în SSB.

S-a lucrat și pe OSCAR 7 și OSCAR 8. La întoarcere s-a înființat în Franța "Clipperton DX Club".



The Shogun is scheduled to leave San Diego for Clipperton on February 23 and return March 15.



In aprilie 1985 o echipă internațională (F6GXB, DJ9YB, FOSGW, FOSHL, F9LX, W6OAT, W6RGG, KK6X, N7NG, W8TN, N6NJ, K3NA, WA7NIN, JG3LYG, XE1YYA) lucrează cu indicativul FO0XX și realizează 31.000 QSO-uri.

YO7KQE

La Motru s-a deschis oficial radioclubul YO7KQE, radioclub înființat prin strădania lui Nelu -YO7LKT care beneficiind de sprijinul extraordinar acordat de Dr. Enescu Alexandru - patron al firmei de TV Cablu din Motru, care a înțeles și apreciat pasiunea radioamatorilor din localitate și le-a pus la dispoziție pe lîngă un spațiu corespunzător și o importantă sumă de bani (cca 50 milioane) cu care s-au cumpărat stații de US și UUS (FT 707, ALINCO dual band, Transceiver CB), Calculator 686, reflectometru YAESU, analizor de spectru, etc. S-au montat o serie de antene (dipol 40m, dipol 80m, YAGI pentru 2 m și 70 cm plus un GP pentru 28 MHz).

Sprînceanul s-a primit și din partea CJR Gorj, FRR precum și din partea lui Dorel - YO7BUT și Virgil - YO7APA, care au acceptat să facă parte din conducerea radioclubului. După obținerea rapidă a autorizației de la IGC Timișoara (18 ianuarie 2000) s-a început traficul în benzile de UUS și US, s-a tipărit un QSL reprezentativ, precum și s-a lucrat în majoritatea competițiilor din ultima perioadă. S-a lucrat chiar și în SSTV. Printre operatori găsim și pe Beny - YO7LAJ. Planuri de viitor. Atragerea de noi membri (deja radioclubul are 14 membri - majoritatea radioamatori receptori), organizarea unei sesiuni de examene, abordarea comunicațiilor digitale precum și participarea în competiții.

În ziua de 8 aprilie la Motru a avut loc o întâlnire radioamatoricească, având drept scop deschiderea oficială a acestui radioclub. Au participat atât radioamatori din Gorj inclusiv conducerea C.J. Radioamatorism, precum și radioamatori din Mehedinți și București. După "clasicele" cuvântări de prezentare și salut (Nelu - YO7LKT, Enescu Alexandru, Vasile - YO3APG, Sorin - YO7CKQ, Marian - YO7CEG) au "răsunat" dopurile de la sticlele de șampanie și s-a trecut la ... discuții. Pentru a-și aminti momentul participanților li s-a acordat diplome. Fiind într-un studiu TV, evident că nu au lipsit ... camerele de luate vederi. Chiar și presa locală - ziarul ORA a descris evenimentul. Când treceți prin Motru ascultați frecvența 145.500 și să căutați chiar în centru adresa: SC TVAXTON, unde la etajul 1 se află și radioclubul YO7KQE.

In anul următor (mai 1986) un grup de americani (W6RGG, W6OAT, W6SYN, AI6V și N7NG), sponsorizați fiind de NCDXF, ZASME și Clipperon Dx Club, revin pe insulă și după multe peripeții provocate de dificultățile de acostare, vor lucra 4 zile jumătate, folosind tot indicativul FO0XX realizând cca 16.000 QSO-uri cu stații din 112 țări, inclusiv în 144 și 1,8 MHz. S-au folosit printre altele stații FT-One și antene Cushcraft.

In septembrie 1986 3 francezi participând la o expediție științifică au lucrat de pe insulă 45 de ore, realizând 3653 QSO-uri și folosind indicativul FO0XA.

Intre 6 și 15 martie 1992, din nou insula este vizitată de radioamatori (F1MBO-G0LMX, N0AFW, WA2FIJ, N7QQ, KA7CQQ, N9NS, WA6FGV, ON6TT și PA3DUU) care vor lucra cu indicativul FO0CI (Clipperon Island). Se lucrează și în benzile WARC, în RTTZ, precum și în FM folosind modul B de pe sateliți Oscar 10 și Oscar 13. Licență și autorizația de debarcare au fost date de dl. Pierre Simon de la PTT. În cele 10 zile de trafic s-au realizat peste 48.000 QSO-uri.

Anul acesta John - N7CQQ a organizat o nouă expediție. S-a lucrat în toate benzile de frecvență, în toate modurile de lucru, inclusiv pe sateliți. Din echipă (HB9AHL, JK7TKE, K4UEE, N6MY, N9NS, N9TK, ON4WW, VE5RA, 9VIYC) unii cunoșteau insula de la expediții anterioare. S-a plecat din San Diego la 23 februarie cu nava Shogun a cărei închiriere a costat cca 75.000\$. Informații amănunte se pot citi la <http://www.qsl.net/clipperton2000/>.

YO3APG

DIPLOMA "RADIOCLUBUL JUDEȚEAN HUNEDOARA - 40 DE ANI"

Se instituie pentru legături radio cu stații din județul Hunedoara în perioada 01.04 -30.06.2000, în următoarele clase:

- clasa I-a - 15 puncte;
- clasa a II-a - 12 puncte;
- clasa a III-a - 9 puncte;

Stațiiile YQ0KAR și YO2KAR dău 3 puncte, restul stațiilor 1 punct. Nu există restricții de mod de lucru sau banda (inclusiv repetătoare). Cererile se trimit pana la 31.07.2000 pe adresa Adrian Voica, YO2BPZ str. Biscaria 110 Simeria, sau str. Bejan 66/82 Deva, jud. Hunedoara. Nu sunt necesare QSL-urile. Costul unei diplome este 5000 lei + 5000 lei taxe postale sau timbre (o singura dată, dacă se solicită mai multe diplome la aceeași adresa).

Diplomele se expediază pana la 15.08.2000.

RADIOCLUBUL JUDEȚEAN BIHOR

3700-Oradea str. Aurel Lazăr nr. 1 sau C.P. 182 tel. 094-807239
 - secție de performanță a CLUBULUI SPORTIV CRISUL
 - număr membri cotizați în 1999 = 55
 - cotizația în 1999 : -62400 pt. salariați; 31200 pt. elevi, studenți, pensionari, șomeri.
 - cotizația în 2000 : echivalent 4 EURO pt. salariați; echivalent 2 EURO pt. elevi, studenți, pensionari, șomeri.
 - venituri proprii realizate în 1999 : 1.528.800
 - subvenții - buget în 1999 = 4.000.000 lei
 - în 1999 s-a organizat a-X-a ediție a Târgului de primăvară; Cupa României la Radiogoniometrie împreună cu FRR.
 - în 2000 se va organiza :
 - Târgul de primăvară în 13 martie 2000
 - Cupa Bihorului la RGA 3,5 MHz
 - Componența Comisiei Județene:
 Președinte: Bejușea Stefan YO5OBR 092/888173 059/133785
 Secretar: Nistor Vasile YO5BBL 094/807239 059/161258
 Membri: Cristea Ioan YO5BIM 092/343477 059/434377

QSL INFO

Edited by IIJQJ & IKIADH

CALL	via	CALL	via	CALL	via	CALL	via	CALL	via	CALL	via	CALL	via
3B8MM	DL6UAA	ED5MU	EA5VM	PT2ZDR	F8LPX	A61AP	IK7JTF	L46HI	LU3HAT	VK1TX	K1WY		
3D2RK	W7TSQ	EK6TA	DJ0MCZ	PT500A	PT7AZ	A71/9K2AJ	IK7JTF	L46KK	K7LU	VK8AN/6	VK4AAR		
3D2SQ	W7TSQ	EM10UCC	UY5ZZ	PT500DF	PR7SD	AH6JN/4	K4AMI	L47DIR	LU4AA	VK9LEH	AA4EH		
3DA0/ZS6HAM	ZS6KTT	EM1KGG	UT7UA	PT500I	PP5VB	AH6PW/KH0	JNIHOW	L47DW	LU7DW	VK9LEH	VK2INI		
3DA0/ZS6WPX	ZS6KTT	EM1KY	UT7UA	PT500PS	PY7OJ	AN1FBU	EA1FBU	L47EC	LU7EC	VP6BR	OH2BR		
3V8ST	DL1BDF	ET3BT	K1WY	PT500Z	PY1NEZ	AP2KSD	IK7JTF	L47EE	LU7EB	VP8DBL	G3WOS		
3W6DK	N00DK	EW3LB	W3HNK	PU5OO	PY1MVR	AP2MAM	IK7JTF	L55DX	LW5DX	WH7P/KH0	JP1IOF		
3XY1B0	F5XX	EX3A	EZ8CW	PW500A	PT2BW	AP50KSD	IK7JTF	L56EQG	LW6EQG	XROZY	OM2SA		
3Z0MM	SP3KFH	EY8TM	F6FNU	PW500B	PP5IZ	AX1TX	K1WY	L59DAH	LW9DAH	XT/F5JRY	F5JRY		
3Z3LPR	SP3LPR	EZ8CQ	I2JSB	PW5C	PP5WB	AX2000	VK2PS	LU1ZA	LU2CN	YB0AZ	W7TSQ		
3Z9XCN	SP9XCN	F6KOH/p	F6JUI	PY500B	PP1CZ	AY0N/X	LU2NI	LX/DF6VI	DL7VRO	YB3ASQ	W7TSQ		
4K9W	DL6KVA	FK8FU	NA5U	R1ANA	RUIZC	AY1ARU	LU4AA	LZ0A	LZ1KDP	YB3ASQ/9	W7TSQ		
4L0CR	IK7JTF	FK8GJ	F6CXJ	RIAND	DL5EBE	BQ9P	KU9C	LZ90SO	LZ2VP	VB3OSE	W7TSQ		
4L1UN	IK7JTF	FO0CLA	F6CTL	RIANF	RK1PWA	BV4FH	K1WY	MM0BPP/p	MM0BPP	YB9BON	W7TSQ		
4L4AJ	IK7JTF	FO0HWU	F6HWU	RIANJ	RUI2C	BV4VE	BV4KR	NOEP/KH2	JA2EKP	YC5XIP/5	IIWFF		
4L4MM	ON4CFI	FO0TOH	JA1OEM	RIANP	NT2X	BV5BG	IK7JTF	OD5NA	IK3ZAW	Y19OM	OM6TX		
4N1DX	K1WY	FR5DC	F5PED	R1ANZ	RUIZC	CE0CR	OH2BOZ	OD5PI	IK7JTF	Y06AVB	K1WY		
4N1YL	K1WY	GB5RO	GM4DZX	R3K	RV3DR	CN8NK	EA5XX	OH0EA	OH2KMG	YS1DRF	F8LPX		
4S7NZG	W9DXA	GD3LSF	K1WY	RH1A	RUIAE	CN8SN	IK7JTF	OL5TEN	OK1JN	Z33Z	Z31RB		
4S7OF	K0JN	G10PCU	K1WY	RH1B	RZ1AWO	CNSVK	IK7JTF	ON4CAT	K1WY	Z36A	DJ0LZ		
4W/J1JJJ	pirate	GI3MUS	K1WY	RHIC	RV1AQ	CO8TW	EA3FQV	ON9CAT	K1WY	ZD7VC	K1WY		
4W/N5KO	OH2BN	GI6YM	K1WY	RHIF	RV1AC	CQ5BWW	CT1BWW	OX3LG	OZ1ACB	ZK2XO	DL8NBE		
4W/VK2QF	VK2QF	GM0RLZ/ZC4	GM0RLZ	RH1H	RV1CC	CQSS	CT1REP	P29CC	K1WY	ZL3KJM	K1WY		
4W/W3UR	OH2BN	GM3VLB/p	GM3VLB	RH1J	RA1ACJ	CU1/DL6NBR	DL6NBR	P49MR	VE3MR	ZL4IR	W8WC		
4W6VK2QF	VK2QF	GM4PMK	G4PMK	RM0M	UA0MF	CU8/DF5WA	DF5WA	PJ9/HB9BCK	HB9BCK	ZS31ER	ZS1FJ		
4W6EB	CT1EEB	GU3SQX	G3SQX	RU0AK	K1WY	CU8F	CT1EFL	PP1500RR	PPIRR	ZV1IR	PY1AA		
4W6GH	CT1EGH	GX6UT	G6UT	S05R	EA2JG	D2BB	W3HNK	PP500A	PY2KQ	ZV500A	PY1MA		
4W6UN	VK3OT	H44PT	G8BCG	S0EJ	EA2GJ	DL8DZL/p	DL8DZL	PQ500B	PY2KTT	ZW1MB	PY1AA		
4X/DF2CK/m	DF2CK	HB0CZS	K1WY	S21J	K1WY	DU1/DL2GAC	DL2GAC	PQ500BA	PS7ZZ	ZW500BR	PR7AYE		
4X0T	4Z5FI	HCPA3GIO	PA3GIO	S21YJ	SM4AJO	DU2/DL2GAC	DL2GAC	PR500W	PY1NEW	ZW500T	PS7ZZ		
5A21PA	K1WY	HC8K	HC5K	S52Z	S52ZZZ	DX4RIG	DU1KGJ	PS500BR	PS7AB	ZW8CI	PS8DX		
5A30	K1WY	HF0POL	SP3WVL	S79QK	HB9CQK	E21CJN	W3PP	PS5B	PP5WB	ZX3D	PY3BZA		
5B4/YL2RR	YL2RR	HH2SJR	EA5DLC	S175A	SM0BYD	E4/XE1CI	XE1CI	PT0F	W0RTT	ZY500BR	PR7QJ		
5H9IR	ZS6EZ	HI3/YT1CS	YZ1GD	SV5/SM0DJZ	SM0DJZ	ED2FSP	EA2CAR	PT1Z	PY1NEZ	ZZ500BR	PR7AR		
5N0W	OK1KN	HK3TAS	HK3SGP	SV9/OH4FR	DJ8FR								
5N39EAM	IK7JTF	HL200O	HL5AP	SY1D	SVIDNW								
5N99EAM	IK7JTF	HS0/OK1CZ	OK1CZ	T88CL	JA8CCL								
5N9EAM	IK7JTF	HVOA	IK0FVC	T88JU	JA1RJU								
5N9EAM/8	IK7JTF	HZ1CCA	IK7JTF	T99NN	DLSNAV								
5N9RGP	IK7JTF	HZ1RT(nll 3/99)	IK7JTF	T99RM	DL2JRM								
5N9RGP/8	IK7JTF	IK4VET/4	IK4VET	TF7GX	K1WY								
5R8ET	K1WY	IK7JWX/p	IK7JWX	TF7RX	K1WY								
5R8GN	FA1AWH	IROMA	I0MWI	TF8GX	K1WY								
5V7MN	DF8AN	IROMM	I0YKN	TF8RX	K1WY								
5X1GS	WB2YQH	IR9ME	IT9DTU	TG9NX	N4FKZ								
5Z4IC	MW0AIE	IV3SKB/p	IV3SKB	TK7I	FSJYD								
6V6U	K3IPK	J28NH/p	F5IPW	TR8CA	F6CBC								
701II	DJ3XD	J3/AA1ON	AA1ON	TR8DR	F8LPX								
701YGF	DK9KX	J45T	SV5TH	TT8AM	IK7JTF								
7Q7TB	G3TBK	JT1FCR	GM4DMA	TT8JLB	F5BAR								
7X2TLT	7X2ARA	JW7QIA	LA7QID	TU2WL	IN3ASW								
8J1RL	JG3PLH	JY8TT	N2AU	TX0DX	OH2BN								
8P6ET	WA4JUK	KC4AAA	K1IED	UA0ACG	K1WY								
8Q7LA	OM3LA	KG4VL	N5VL	UA0AOZ	K1WY								
9A3FT/p	9A3FT	KH0/IE1SYN	JE1SYN	UA0CW	W3HNC								
9E1C	IV3OWC	KH0/JL1WPQ	JL1WPQ	UA0DC	K1WY								
9G1MR	IK3HHX	KH8/NS0LS	NSJA	UA0IA/0	US7IIA								
9G5MD	G3OCA	KW1JY	K1WY	UA0QMU	UA4RC								
9J2DR	F8LPX	KW1WY	K1WY	UA0ZBK	K1WY								
9K2AI	IK7JTF	L41DAF	LW7EOT	UE1ZNF	UA1ZJW								
9K2AI/p	IK7JTF	L41ECZ	LU4ECZ	UE4CFA	RK4CR								
9K9A	IK7JTF	L41FNH	LU1FNH	V21CW	N4GM								
9M2TO	JA0DMV	L41HK	LU3HAT	V31MD	KB6NAN								
9N7RB	W4FOA	L42NI	LU2NI	V31OM	DJ6SI								
9V1GA	JA4BJO	L42ODR	LU2ODR	V31RU	N4MO								
9Y4DL2RVS	DL2YY	L43HIP	LU3HIP	V63NL	KD6WW								
A35MQ	DLSNBE	L45ER	LU5ER	V73NN	KD6WW								
A35RK	W7TSQ	L45FT	LUSFT	V81AN	VB6VK								
A61AJ	W3UR	L46FGZ	LU6FGZ	VK0ERZ	VK2FUN								

ADRESE

7N1KAE	Hiroyuki Yamada, 2-9-209 Chigusasai, Inage-Ku, Chiba-City 263-0013, Japan
3B8CF	Jacky Mandary, 6 Shastri Road, Candos, Quatre Bornes, Mauritius Island
3D2TC	Craig Thompson, P O Box 273, Suva, Fiji Islands, South Pacific
AA4EH	Ed Hula, 1776 Peachtree Street, Suite 410-N, Atlanta, Georgia 30309, USA
BD7YC	Dick Hisan, Box 59, 16 Datung Avenue, 570102 Hauku, Human, People's Republic of China
CA8VOW	Luis Calisto, P.O. Box 889, Punta Arenas, Chile
CT1EEB	Jose de Sa, P.O. Box 79, 3860 Estarreja, Portugal
CT1EGH	Antonio Alberto Lopes Pereira, R Guerra Junqueiro, 25-A, Vale de Milha, Corroios 2855, Portugal
DJ3XD	August Unterwallney, Am Kummerberg 30, 30900 Wedemark 2, Germany
DK9XX	Hans Hannappel, Eschenbruchstr. 1, 51069 Cologne, Germany
DL5EBE	Dominik Weiel, Johannes-Meyer-Str. 13, D-49808 Lingen, Germ.
EASKW	Jose Maria Martinez Juan, Poeta Zorrilla 52-1-IZQ, 03600 Elda, Spain
F5KAC	P.O. Box 5, F-45270 Laden, France
F8LPX	Richard Dandine, 10 rue de Chignies, 80340 Foucaucourt-en-Santerre, France
FK8KAB	A.R.A.N.C., P.O. Box 3956, 98846 Noumea Cedex, Nouvelle Caledonie
G3OCA	Ken Frankcom, 1 Chesterton Road, Spondon, Derby DE21 7EN, England
HS0ZBS	Kurt Brauer, P.O. Box 75, Phnom-Sarakham, Chachoengsao, Thailand
I0MWI	Stefano Cipriani, Via Taranto 60, 00055 Ladispoli - RM, Italy
I0YKN	Nuccio Meoli, Via della stazione snc, 04010 Cori - LT, Italy
IK4RQJ	Augusto Baldoni, Via G. Notari 109, 41100 Modena - MO, Italy
IK4VET	Andrea Amati, Via Parigi 39/B, 41012 Carpi - MO, Italy
IV3HAX	Mauro Lizz, P.O. Box 1, 33034 Fagagna - UD, Italy
JE6EMW	Shigefumi Kiyoshi, 150 Sesui, Setouchi-sho, Oshima-gu, Kagoshima 894-1521, Japan

RCS s-a mutat!!!

- Stații profesionale de emisie recepție Yaesu, Motorola;
- Echipamente de date Digital Wireless, Kantronics, Data Radio (Johnson Telemetry);
- Sisteme de antene de la Maxrad, Telex, Yagi și multe altele!

➤ Căteva echipamente Second Hand pt radio amatori:

➤ FT 470	Dual Band	\$269
➤ TS-120S	HF 100W	\$495
➤ IC-02AT	2m, portable	\$100
➤ FT-203	2m, portable	\$100
➤ FT-290II	2m All Mode	\$659



FT-290II



Oferta specială:
Dummy Load 1.5KW
->59\$<-

Yaesu
FT811

Pentru echipamentele second hand, vă oferim garanție 30 de zile!
Pentru cele noi garanția este de un an!

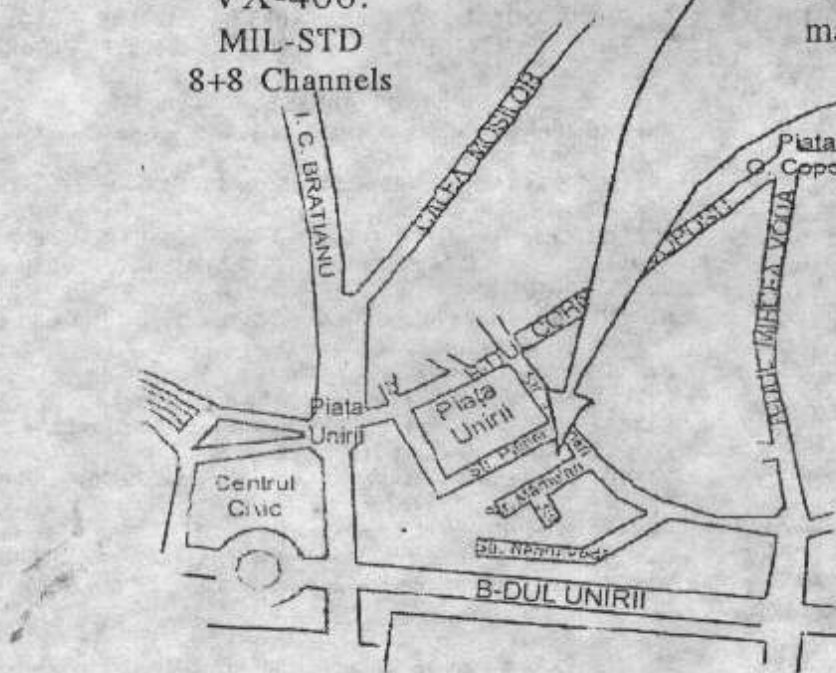
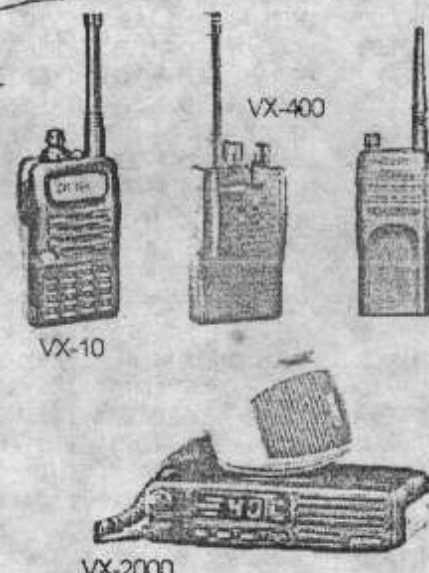
Căutați-ne pe internet la WWW.RCSCO.COM

Vă invitam la sediul nostru
să a vedea și testa
noul model
de la Yaesu,
VX-400!
MIL-STD
8+8 Channels

NOU!

Sau vizitați-ne în
strada Mămulari Nr.
11 în spatele
magazinului Unirea!

Motorola
GP320



In ziua de 3 iunie 2000, FRR în colaborare cu Asociația Radioamatorilor Feroviari din România, organizează la Complexul Astoria de la Snagov, Simpozionul Național de Comunicații Digitale - 2000.

Astfel, începând cu ora 10.30 se vor expune diferite materiale cu caracter teoretic și practic, se vor face demonstrații, schimburi de programe, documentație, aparatură și componente.

Toți participanții sunt invitați apoi la petrecerea unor momente de odihnă în cadrul așa numitului "Field Day". Plaja, lacul, piscina, pădurea și ... terasa restaurantului, sperăm să ne satisfacă toate exigențele. Se înțelege că la această ... "întâlnire" sunt așteptați și alții membri de familie (copii, soții, părinți etc).

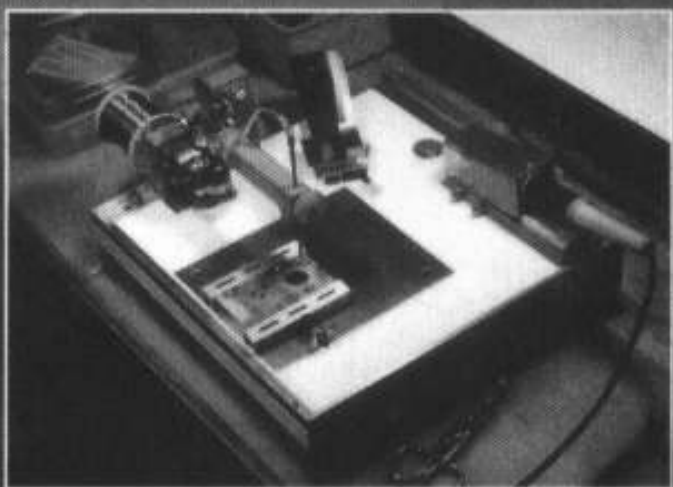
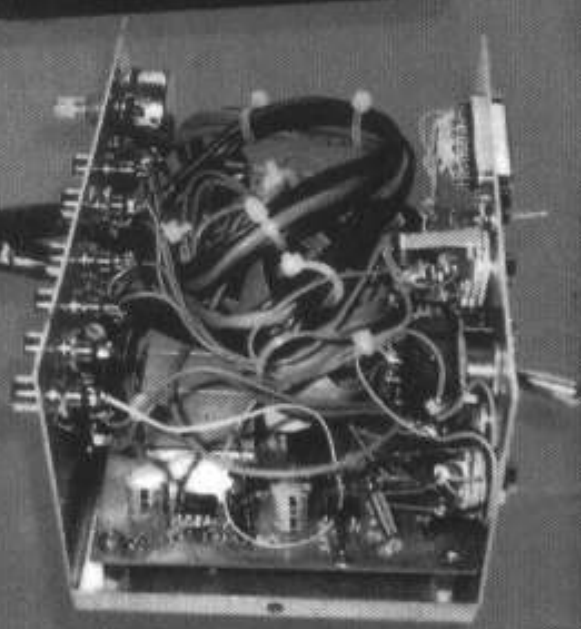
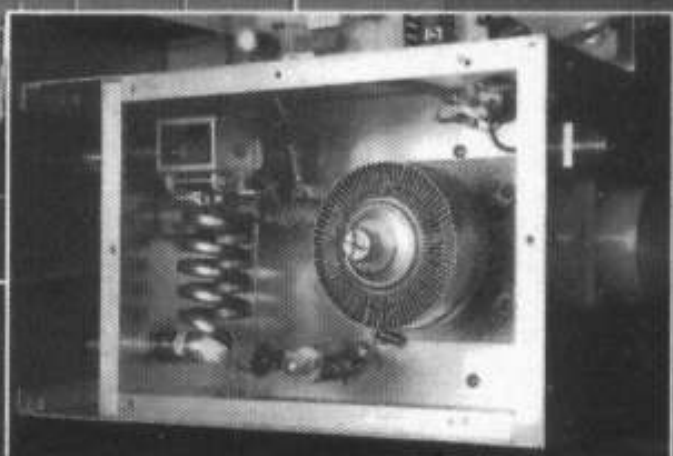
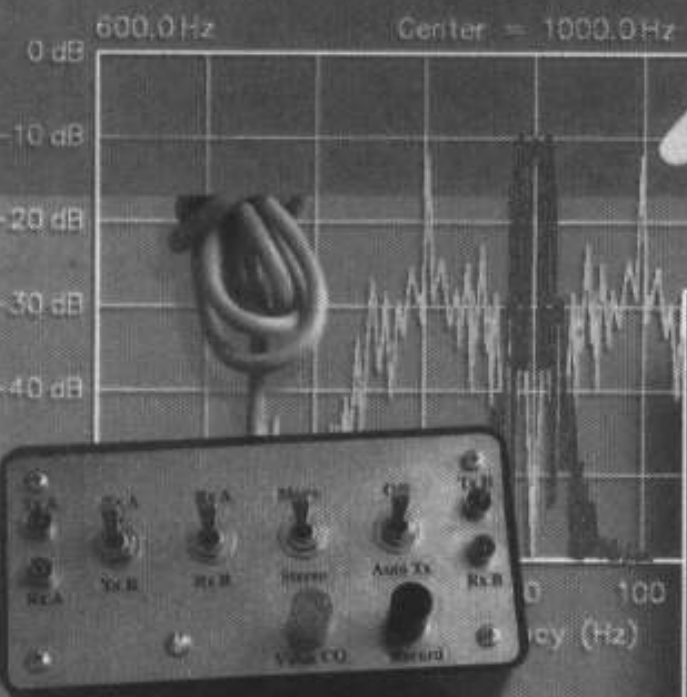
THE ARRL HANDBOOK

FOR RADIO AMATEURS

*The Standard in Applied Electronics
and Communications*



2000



PUBLISHED BY:

ARRL

*The national association for
AMATEUR RADIO*

Radio Communications & Supply SRL

Magazin: Str. Mamulari nr.11, Langa magazinul Unirea, Bucuresti,

Tel/Fax: (01) 315.09.39 Mobil: 094.366.147, 094.806.902

Web: www.rcsco.com E-Mail: office@rcsco.com

RCS

conex club

O NOUĂ PASIUNE!

REVISTĂ DE
ELECTRONICĂ
PRACTICĂ
PENTRU TOȚI



TEHNICĂ MODERNĂ
AUDIO HI-FI
AUTOMATIZĂRI
LABORATOR

RADIOAMATORISM-
SERVICE TV
OFERTE
AMC

Revistă lunară editată de



conex
electronic

Str. Malca Domnului, sect. 2, București

Tel.: 242 2206, Fax: 242 0970

Disponibilă la centrele de difuzare a pressei sau la magazinul firmei